- Note CEA-N-2485 -

Centre d'Etudes Nucléaires de Saclay
Institut de Recherche Technologique et de Développement Industriel
Division d'Etude et de Développement des Réacteurs
Département des Etudes Mécaniques et Thermiques

# LES TABLES DE PROBABILITE APPLICATION AU TRAITEMENT DES SECTIONS EFFICACES POUR LA NEUTRONIQUE

Première partie : DANS L'HYPOTHESE STATISTIQUE

par

Pierre RIBON, Jean-Marie MAILLARD

#### - Note CEA-N-2485 -

#### **DESCRIPTION-MATIERE** (mots clefs extraits du thesaurus SIDON/INIS)

en	frai	nçais
----	------	-------

SECTIONS EFFICACES TOTALES

FLUCTUATIONS

**REACTIONS PAR NEUTRONS** 

METHODE DES MOMENTS

PRECISION

PROBABILITE

QUADRATURES

#### en anglais

TOTAL CROSS SECTIONS

FLECTUATIONS

**NEUTRON REACTIONS** 

MOMENTS METHOD

ACCURACY

PROBABILITY

QUADRATURES

#### AVIS IMPORTANT:

Corriger au crayon tendre sans appuyer et, dans la mesure du possible, en dehors du cadre noir.

NOTE CEA-N-2485 - P. RIBON, J.M. MAILLARD

LES TABLES DE PROBABILITE. APPLICATION AU TRAITEMENT DES SECTIONS EFFICACES POUR LA NEUTRONIQUE. 1ère partie : Dans l'hypothèse statistique.

Sommaire - L'idée de décrire les fluctuations des sections efficaces par des jeux de valeurs discrètes, appelés "tables de probabilité", a été proposée vers 1970. Nous proposons de décrire les tables de probabilités en égalant les moments de la distribution des sections efficaces à ceux de la table de probabilité. Cette définition introduit les polynômes orthogonaux et la quadrature de GAUSS par l'intermédiaire des approximants de PADE. Cette base mathématique s'applique très bien à la section efficace totale. Des difficultés apparaissent quand les sections partielles sont prises en compte, difficultés liées à l'ambiguité de la définition d'approximants de PADE à plusieurs variables. Néanmoins, nous proposons des solutions et des choix qui semblent satisfaisants. Des comparaisons sont faites avec d'autres définitions des tables de probabilité, et le calcul de mélanges de noyaux est examiné.

1986 84 p.

Commissariat à l'Energie Atomique - France

NOTE CEA-N-2485 - P. RIBON, J.M. MAILLARD

PROBABILITY TABLES. APPLICATION TO CROSS SECTION PROCESSING FOR NEUTRONIC. First part: With the statistical hypothesis.

Summary - The idea of describing neutron cross-section fluctuations by sets of discrete values, called "probability tables", was formulated some 15 years ago. We propose to define the probability tables from moments by equating the moments of the actual cross-section distribution in a given energy range to the moments of the table. This definition introduces PADE approximants, orthogonal polynomials and GAUSS quadrature. This mathematical basis applies very well to the total cross-section. Some difficulties appear when partial cross-section are taken into account, linked to the ambiguity of the definition of multivariate PADE approximants. Nevertheless, we propose solutions and choices with appear to be satisfactory. Comparisons are made with other definitions of probability tables and the calculation of mixtures of nuclei is considered.

1986

84 p.

Commissariat à l'Energie Atomique - France

#### - Note CEA-N-2485 -

Centre d'Etudes Nucléaires de Saclay
Institut de Recherche Technologique et de Développement Industriel
Division d'Etude et de Développement des Réacteurs
Département des Etudes Mécaniques et Thermiques

# LES TABLES DE PROBABILITE APPLICATION AU TRAITEMENT DES SECTIONS EFFICACES POUR LA NEUTRONIQUE

Première partie : DANS L'HYPOTHESE STATISTIQUE

par

Pierre RIBON, Jean-Marie MAILLARD

#### LES TABLES DE PROBABILITE

#### APPLICATION AU TRAITEMENT DES SECTIONS EFFICACES POUR LA NEUTRONIQUE

Première partie : dans l'hypothèse statistique

P. RIBON et J.M. MAILLARD

#### RESUME :

L'idée de décrire les fluctuations des sections efficaces par des "tables de probabilité" a été introduite indépendamment par les Américains, dans les années 1970 et, peu avant, par des Soviêtiques sous le nom de "mêthode des sous-groupes". Nous rappelons l'évolution des 2 approches et leurs différences : essentiellement l'aspect "tables de probabilité" concerne surtout l'établissement de ces tables, alors que la "mêthode des sous-groupes" traite principalement de leur utilisation en neutronique analytique, problème que nous considérons par ailleurs.

Nous généralisons cette approche en définissant une table de probabilité d'ordre N pour la <u>section efficace totale</u> par une mêthode de moments (égalité de 2N moments, positifs et négatifs, de la distribution de  $\sigma$ (E) et de la table de probabilité). Ce faisant, nous nous basons sur la théorie mathématique bien établie des <u>polynômes orthogonaux</u> et de la <u>quadrature de GAUSS</u>.

Pour la section efficace totale le seul problème est de dêterminer les moments à prendre en compte: nous recommandons de prendre les moments d'ordre n = 1 - N à n = N, êtant entendu qu'il est toujours possible à l'utilisateur de rêduire l'ordre de la table en la spêcialisant à son problème.

Le problème n'est pas aussi simple quand on veut introduire les sections efficaces partielles : cela est lië au fait que les approximants de PADE à plusieurs variables ne peuvent pas être définis sans ambiguité. Néanmoins, nous proposons de définir la table de probabilité des partielles à partir des intégrales de  $\sigma_{\mathbf{X}}(\mathbf{E}) \star \sigma_{\mathbf{t}}^{\mathbf{m}}(\mathbf{E})$ , où  $\sigma_{\mathbf{x}}(\mathbf{E})$  (une certaine section partielle) intervient toujours de façon linéaire. Il faut, là aussi, dêterminer le domaine de variation de m afin d'obtenir la cohérence interne des tables, et la précision requise. Nous recommandons  $\mathbf{m} = -\mathbf{N}/2$  à  $(\mathbf{N}-1)/2$ .

Mais on ne peut être assuré que les valeurs de  $\sigma_{xi}$  seront toujours sur le support de  $\sigma_{x}(E)$ : nous obtenons effectivement des exemples contraires, qui ne paraissent pas être rédhibitoires.

Les tables de probabilité définies à partir des moments des sections efficaces constituent une donnée fondamentale, propice à tout calcul. Nous les appliquons, par exemple, au calcul des sections effectives : on peut obtenir une précision aussi bonne que l'on veut (selon l'ordre de la table) mais inférieure (à ordre égal) à celle donnée par ce que l'on appelle improprement la méthode des sous-groupes : cela est normal car les tables de probabilité sont, dans ce cas, ajustées sur les données à décrire.

Nous appliquons les tables de probabilité (moments) au calcul de mêlanges de noyaux : nous montrons que ce mélange est calculé correctement, y compris pour des tables de probabilité décrivant les moments négatifs (i.e. les creux de sections efficaces). Nous montrons aussi comment on peut rêunir des groupes adjacents en énergie.

En conclusion, la méthode des tables de probabilité basées sur les moments est une méthode d'intégration qui doit trouver son accomplissement en neutronique par la méthode des sous-groupes.

#### Mots-clés

SECTIONS EFFICACES EFFECTIVES - TABLES DE PROBABILITE - QUADRATURE DE GAUSS

PROBABILITY TABLES. APPLICATION TO CROSS SECTIONS PROCESSING FOR NEUTRONIC.

First part: With the statistical hypothesis.

#### ABSTRACT

The idea of describing cross section fluctuations by "probability tables" was introduced independently in the 1970's by the Americans and, somewhat earlier, by Soviet authors under the name "sub-group method". The present paper recalls the evolution of the two approaches and their differences: essentially the emphasis of the American works mainly concerns the establishment of these tables, while the "sub-group method" deals chiefly with their use in analytic neutronics, a problem that will be we considered in another article.

We generalize this approach by defining a probability table of order N for the total cross section by a moments method (equality of 2 N moments, positive and negative, of the distribution of  $\sigma(E)$  and of the probability table). In so doing, we base ourselves on the well-established mathematical theory of orthogonal polynomials and of Gauss quadrature.

For the total cross section, the only problem is to determine which moments sould be taken into account: we recommend taking moments with order ranging from n = 1 - N to n = N, although it is always possible for a user to reduce the order of the table so as to adapt it to his specific application.

The problem is not so simple when we want to introduce the <u>partial cross sections</u>: this is linked to the fact that the multivariate PADE approximant cannot be unambiguously defined. Nevertheless, we propose to define the probability table for partial cross sections from integrals of:  $\sigma_{\mathbf{X}}(\mathbf{E}) * \sigma_{\mathbf{t}}^{\mathbf{m}}(\mathbf{E})$ , where  $\sigma_{\mathbf{X}}(\mathbf{E})$  (a given partial cross section) <u>always</u> appears LINEARLY. Here again it is necessary to determine an appropriate range of m in order to obtain the internal consistency of the tables, and the required accuracy. We recommend  $\mathbf{m} = -N/2$  to (N-1)/2.

But one cannot be certain that the values of  $\sigma_{\rm X\, I}$  will always be in the range covered by  $\sigma_{\rm X}(E)$ : values outside this range are sometimes obtained, but their effect is not critical.

The probability tables defined from the moments of neutron cross sections are basic data, suitable for any calculation. For instance, we can apply them to the computation of effective cross sections: the accuracy can be as good as required according to the order of the table, but for a given order it will be lower that the accuracy obtained by the improperly named "sub-group method"; this is not surprising since the probability tables are then, in fact, adjusted to the data to be described.

We apply the (moment) probability tables to calculate the mixture of nuclei: it can be calculated correctly, including the case of probability tables describing negative moments (i.e. dips in cross sections). We show how neutron energy groups can be merged in a simple way.

In conclusion, the method of probability tables based upon moments is an integration method which is complemented in neutronics problems by the sub-group method.

## TABLE DES MATIERES

	<u> Pe</u>	ages
INTRODUC	CTION	1
ı – Li	ES TABLES DE PROBABILITE	2
I	.1 - Le principe	2
I	.2 - Evolutions de l'Ecole Américaine	4
I	.3 - L'Ecole Soviêtique	6
I	.4 - L'approche française	7
II - C	ALCUL ET PROPRIETES DES TABLES DE PROBABILITE A 1 VARIABLE	8
I	I.1 - Résolution du système d'équations	8
Ţ	I.2 - Propriétés élémentaires	11
I	I.3 - La théorie mathématique des polynômes orthogonaux	
	et de la quadrature de GAUSS	13
I	I.4 - La cohérence des moments	15
III - L	A METHODE EQUIPROBABLE DES MOMENTS OU METHODE DE TCHEBYCHEV	16
IA - F	ES EXEMPLES DE CULLEN	20
I	V.1 - Le premier exemple	20
I	V.2 - Le second exemple	22
V - С	CHOIX DE LA TABLE DE PROBABILITE A 1 VARIABLE	22
vi - r	ES TABLES DE PROBABILITE A PLUSIEURS VARIABLES	25
V	'I.1 - Les approximants de PADE à 2 variables	30
V	1.2 - Les tables de probabilité de sections efficaces partielles	32
V	71.3 - Ordre 1 pour les sections partielles	34
V	'I.4 - Définition des tables de probabilité de sections partielles	35
V	7I.5 - Cohérence interne des tables de probabilité	35
VII - C	CHOIX DES TABLES DE PROBABILITE DES SECTIONS PARTIELLES	38
V	VII.1 - Précision	38
V	7ΙΙ.2 - Valeurs de σ <sub>xi</sub> nêgatives	46
v	VII.3 - Cas des tables $\delta$ n = 2	51

			Pages
VIII	_	LES TABLES DE PROBABILITE : DONNEES FONDAMENTALES OU	
		METHODE PHENOMENOLOGIQUE D'INTERPOLATION ?	52
IX	_	COMPOSITION DES SECTIONS EFFICACES	57
		IX.1 - Cas des moments positifs	57
		IX.2 - Cas des moments négatifs	58
		IX.3 - Conditions de la vérification numérique de la	
		composition des moments	59
		IX.4 - Le modèle analytique	61
		IX.5 - Conclusion	68
x	_	REUNION DE DOMAINES D'ENERGIE ADJACENTS	68
		CONCLUSION	69
		REFERENCES	70

ANNEXE - L'extension aux cas non statistiques

# LES TABLES DE PROBABILITE APPLICATION AU TRAITEMENT DES SECTIONS EFFICACES POUR LA NEUTRONIQUE

Première partie : dans l'hypothèse statistique

#### P. RIBON ET J.M. MAILLARD

La représentation des sections efficaces par des "tables de probabilité" pour les besoins des calculs neutroniques fut avancée pour la première fois par les physiciens soviêtiques d'Obninsk sous le nom de "mêthode des sous-groupes" [Nicolaev et al, Ni 69, Ni 70]\*; indépendamment, un ou deux ans après, Levitt proposa la même idée sous le nom de "tables de probabilité" [Le 70, Le 72]. Quelques êtudes soviêtiques suivirent, nous en connaissons mal les développements rêcents; nous connaissons mieux les travaux de Levitt et Cullen et leurs collaborateurs [Ot 72, Cu 74, Cu 77, Cu 80; aussi Mu 81].

Fondamentalement, les idées américaines et soviétiques sont les mêmes : les premiers insistent davantage sur l'établissement des tables, alors que les seconds proposent l'abandon du concept de "section effective" en neutronique pour utiliser directement les tables de probabilité (chaque groupe se trouve ainsi divisé en sous-groupes, rêgis par les mêmes équations neutroniques que les groupes, à très peu près).

La communauté scientifique internationale accorda un intérêt d'estime à ces idées, mais ne les utilisa que très partiellement : sans doute les neutroniciens ont-ils êté effrayés par l'idée d'augmenter le nombre de groupes dans leurs calculs (d'un facteur 2 à 3), et ont-ils préféré garder le concept de "section effective", malgré ses ambiguités.

Au contraire, nous avons voulu approfondir et gênêraliser ces concepts, en essayant d'y apporter plus de rigueur.

Nous parlerons de "tables de probabilitê" chaque fois qu'il s'agira de l'établissement de ces tables et de leurs propriétés. Leur application à la neutronique sera qualifiée de "mêthode des sous-groupes".

<sup>\*</sup> Nota : cf des travaux antérieurs [Ni 63].

Ce rapport traite du premier point dans les cas "statistiques", i.e.:

- lorsque les structures des sections efficaces sont inconnues, et doivent donc être traitées par un modèle statistique;
- ou lorsque ces structures, connues, sont suffisamment nombreuses et complexes sur le domaine d'énergie considéré pour être traitées "statistiquement".

Les quelques applications neutroniques que nous ferons seront toutes traitées dans l'approximation "résonance êtroite".

#### I - LES TABLES DE PROBABILITE :

I.l - <u>Le principe</u> : Le domaine de variation de  $\sigma$  est partagé en N intervalles : 4 sur la figure 1. A chacun de ces intervalles on associe un couple de valeurs  $p_i$ ,  $\sigma_i$  :  $p_i$  représentera la probabilité de présence de  $\sigma(E)$  entre  $S_{i-1}$  et  $S_i$ ,  $\sigma_i$  sera une valeur caractéristique de l'intervalle.

En termes mathématiques, p; sera donnée par :

$$(1) \qquad p_{\mathbf{i}} = \frac{\int_{E_{\mathbf{S}}}^{E_{\mathbf{i}}} \delta(\sigma(\mathbf{E}), \mathbf{i}) d\mathbf{E}}{E_{\mathbf{sup.}} - E_{\mathbf{inf.}}}$$

$$\text{avec}: \qquad \begin{cases} \delta(\sigma(\mathbf{E}), \mathbf{i}) = 1 & \text{si } S_{\mathbf{i}-1} \leqslant \sigma(\mathbf{E}) < S_{\mathbf{i}} \\ = 0 & \text{sinon} \end{cases}$$

$$\text{ce qui entraîne}: \sum_{\mathbf{i}} p_{\mathbf{i}} = 1$$

Plusieurs définitions sont possibles pour  $\sigma_i$  : notamment valeur médiane de l'intervalle ( $S_{i-1}$ ,  $S_i$ ), ou valeur moyenne définie par :

(2) 
$$p_{i} = \frac{\int_{E_{s}}^{E_{i}} \sigma(E) \delta(\sigma(E), i) dE}{E_{sup.} - E_{inf.}}$$

Il est évident que la table  $(p_i, \sigma_i)$ , i = 1 à N, caractérisera le comportement de  $\sigma$  (E) dans le domaine  $(E_{min.}, E_{max.})$ , et ce d'autant mieux

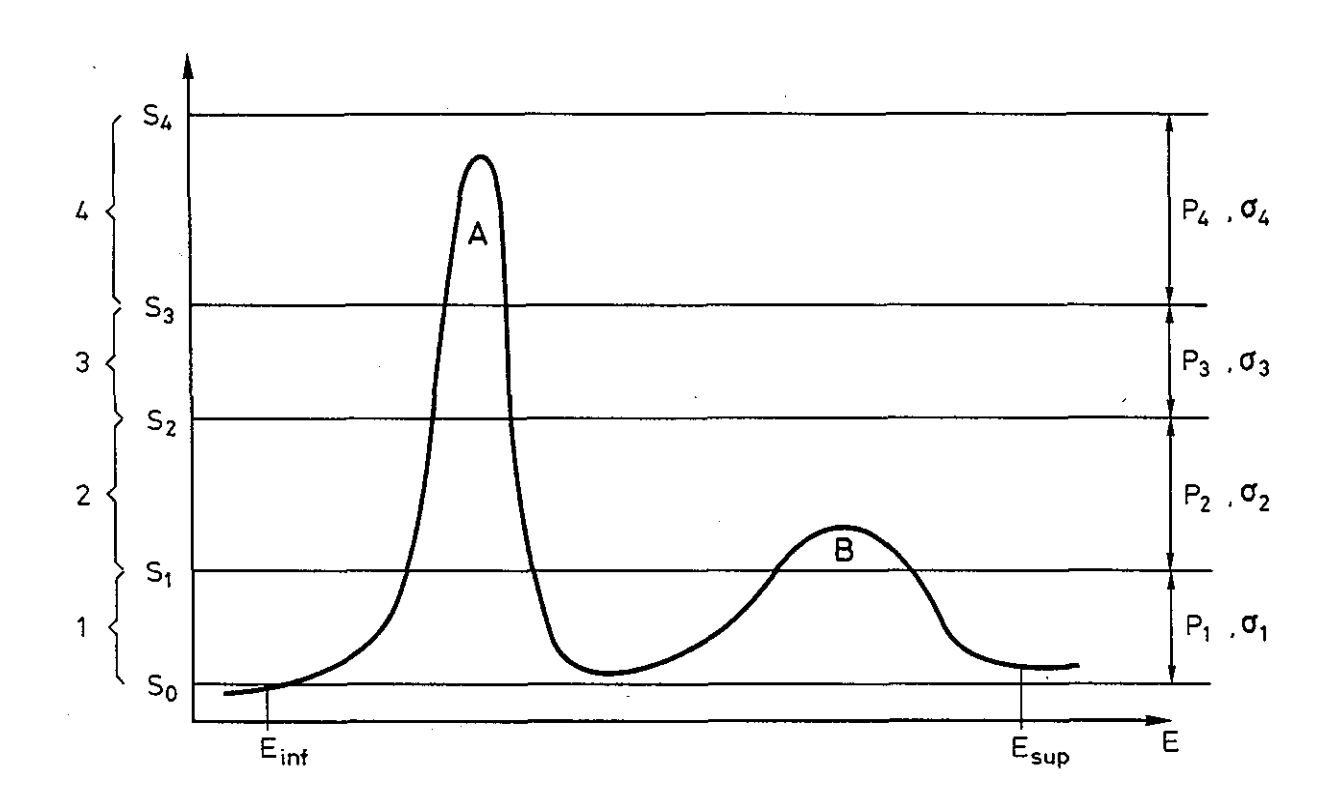
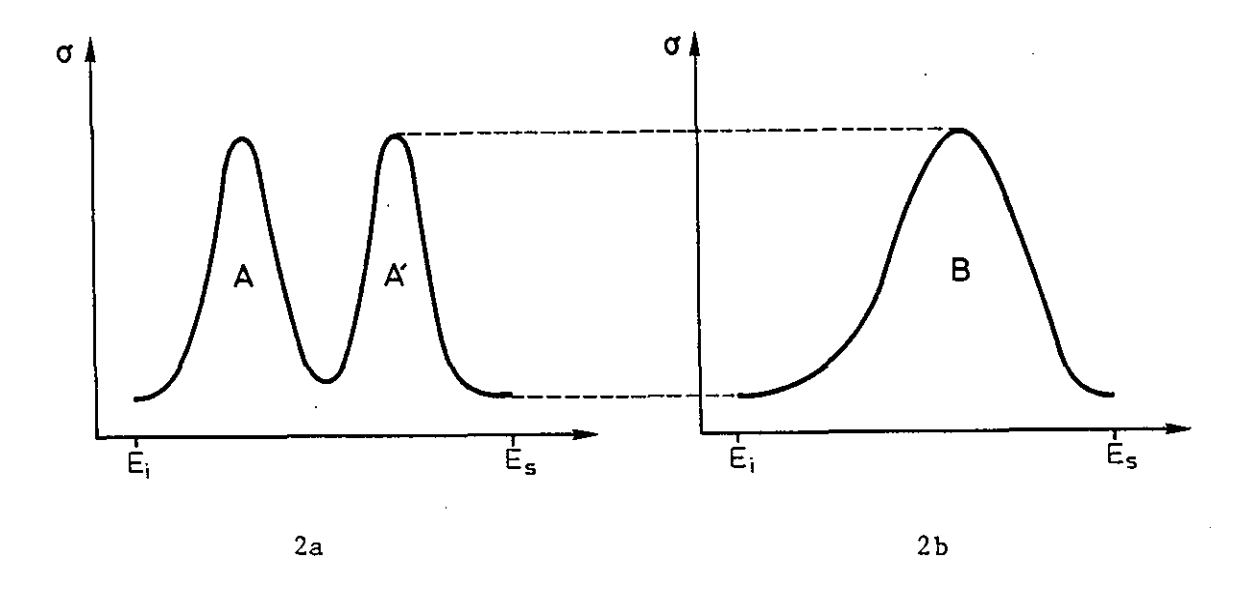


Figure 1 : Représentation de la discrétisation de deux résonances sur 1'intervalle ( $E_{inf}$ ,  $E_{sup}$ ). La table ne changera pas si A et B sont permutées.



Figures 2 : Les deux résonances A et A' sont identiques. La résonance B, de largeur double (et de même forme que A et A'), donnera la même table de probabilité que l'ensemble A-A'.

que N sera grand. Il est aussi évident que l'information en ênergie sera perdue : la table sera la même si les 2 résonances A et B de la figure l sont permutées. Qui plus est, les structures décrites par les figures 2a et 2b auront la même table de probabilité. D'où 2 conséquences :

- une table de probabilité ainsi définie implique l'hypothèse statistique, i.e. que le résultat cherché est peu sensible à une permutation des résonances dans l'intervalle (E<sub>inf.</sub>, E<sub>sup.</sub>); il n'en dépend que par les conséquences sur le recouvrement;
- une telle table de probabilité est toujours associée à l'hypothèse "résonance êtroite".

#### Ces conclusions resteront vraies dans tout ce qui suit.

La figure 3 représente la figure originale de Levitt : il prêvoyait des tables d'ordre élevé (22 d'après la figure), les bornes des bandes étant en progression géométrique.

- I.2 Evolution de l'Ecole Américaine : Cette évolution est marquée par plusieurs articles de Levitt et Cullen. Nous citerons :
- en 1973-74, la conception de "tables multibandes êquiprobables" par Cullen [Cu 74] (voir § IV) ; ces tables sont établies à partir des données décrivant la variation de  $\sigma$  effectif en fonction de la dilution. Mais les probabilités sont égales ou multiples d'une valeur de base (exemple d'une table de 4 pour le 239 Pu :  $p_1 = p_2 = 1/3$  ;  $p_3 = p_4 = 1/6$ ).
- en 1980 Cullen et Pomraning imposent la conservation de "moyennes" (voir § IV.2) : ils définissent une table de 2 par 4 moyennes :

(3) 
$$\begin{cases}
- \text{ normalisation } (p_1+p_2 = 1) \\
- \int \sigma(E) & dE \\
- \int \frac{1}{\sigma(E)} dE \\
- \int \frac{1}{(\sigma(E))^2} dE
\end{cases}$$

Les poids ne sont alors plus égaux.

Tout en remarquant qu'il s'agit d'un "problème de moments classiques", ces auteurs ne vont pas au delà de la table de 2, gardant un système à probabilités définies à priori pour les ordres supérieurs.

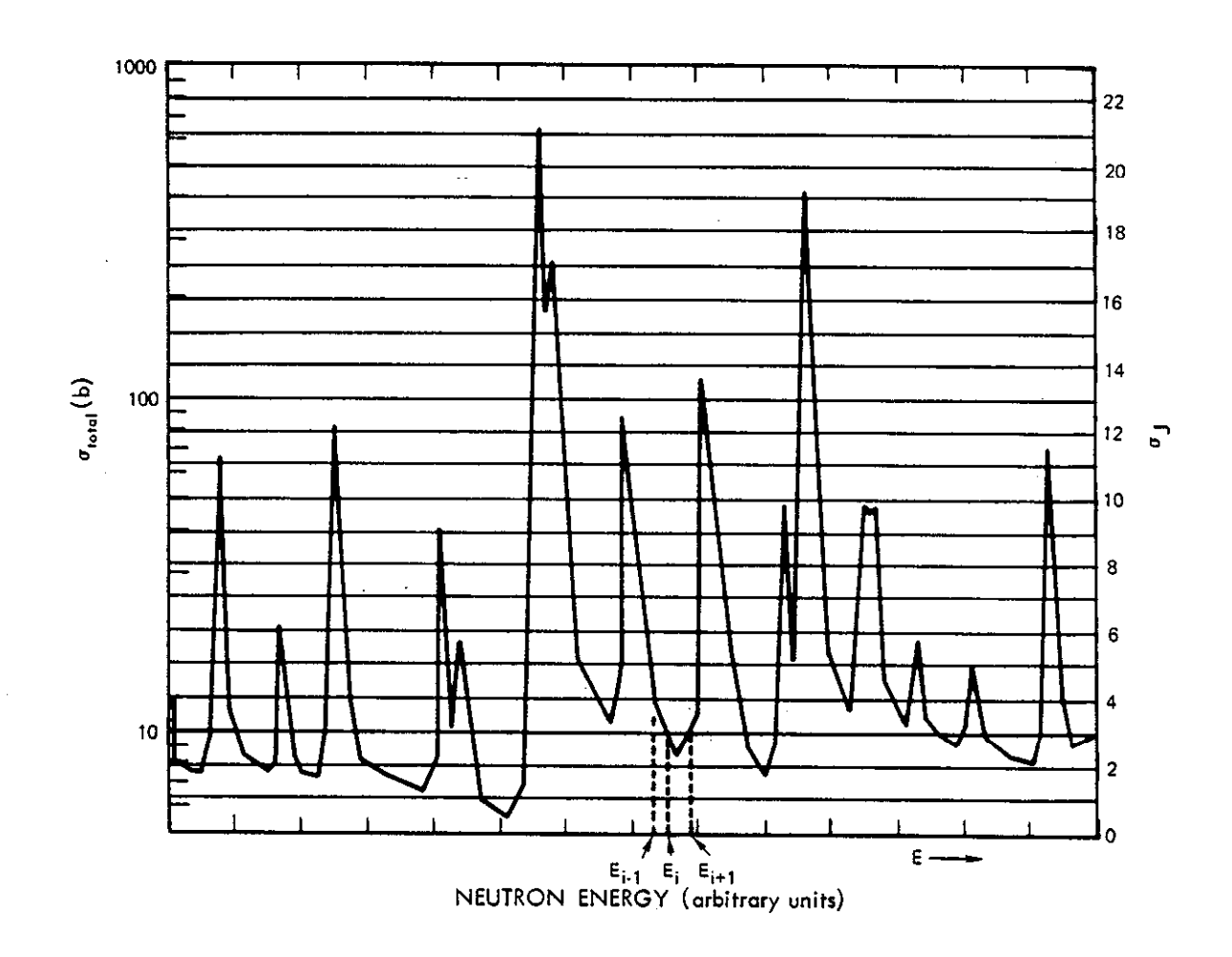


Figure 3 : Figure originale de L. LEVITT [Le 72]

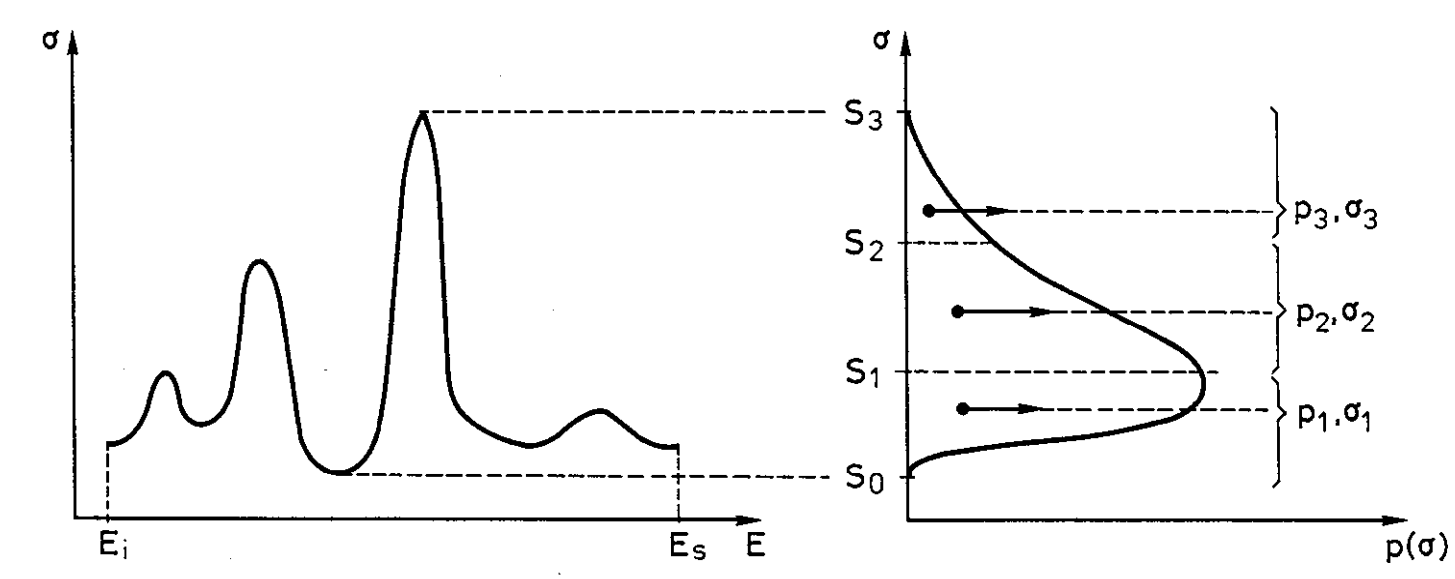


Figure 4 : La moyenne de  $\sigma^n(E)$  sur  $(E_i, E_s)$  (intégrale de RIEMANN) est êgale à l'intégrale de  $\sigma^n p(\sigma)$  (intégrale de LEBESGUE) ; mais l'information en ênergie est perdue. Il est toujours possible de définir des seuils  $S_1, S_2, \ldots$  tels que les zones ainsi définies soient de surfaces êgales à  $p_1, p_2, \ldots$  et comprennent chacune une valeur de  $\sigma_i$  (cf. II.3).

I.3 - <u>L'Ecole Soviêtique</u>: Dès leur première proposition, les soviêtiques ont accepté d'avoir à calculer aussi bien les  $p_i$  que  $les\sigma_i$ . Pour cela, ils partent des valeurs de la section effective, définies pour J valeurs de la dilution  $\sigma_{di}$ :

(4) 
$$\sigma_{\text{eff,x}} (\sigma_{\text{dj}}) = \frac{\int_{\Delta_E} \frac{\sigma_{\text{x}}(E)}{\sigma_{\text{t}} (E) + \sigma_{\text{dj}}} dE}{\int_{\Delta_E} \frac{1}{\sigma_{\text{t}} (E) + \sigma_{\text{dj}}} dE}$$

x symbolisant une section partielle particulière.

En terme de T.P. cette relation s'écrit :

(5) 
$$\sigma_{\text{eff,x}} (\sigma_{\text{dj}}) = \frac{\sum_{i} \frac{p_{i} \sigma_{xi}}{\sigma_{ti} + \sigma_{\text{dj}}}}{\sum_{i} \frac{p_{i}}{\sigma_{ti} + \sigma_{\text{dj}}}}$$

La somme des sections partielles étant égale à la section totale :

(6) 
$$\sigma_{\text{eff,t}} (\sigma_{\text{dj}}) = \frac{\sum_{i} \frac{p_{i} \sigma_{\text{ti}} + \sigma_{\text{dj}}}{\sigma_{\text{ti}} + \sigma_{\text{dj}}}}{\sum_{i} \frac{p_{i}}{\sigma_{\text{ti}} + \sigma_{\text{dj}}}}$$

Le système 6 forme un ensemble de J équations à 2\*N inconnues (i = 1 à N,  $J \ge 2*N$ ) qui peut être résolu par une méthode itérative si J = 2N, ou par moindres carrês si  $J \ge 2N$ .

C'est cette méthode qui est utilisée par plusieurs équipes de physiciens de réacteur européens, à Cadarache notamment, [Go 71, Kh 72], sous le nom de "méthode de sous-groupes" : les J équations sont résolues par moindres carrés, d'où les  $(p_i, \sigma_{ti})$ ; les systèmes (5) sont linéaires, d'où les  $\sigma_{xi}$ . Ces expressions permettent ensuite de calculer  $\sigma_{eff}$  pour tout  $\sigma_{d}$ .

Ainsi que l'ont souligné les soviétiques, l'ordre N nécessaire ne dépasse jamais 5.

### I.4 - L'approche française : nous avons généralisé le problème aux moments

On sait qu'une distribution de probabilité p(x) peut être définie de façon unique par la suite infinie - si elle existe - de ses moments :

(7) 
$$\mathcal{M}_n = \int\limits_{D} x^n p(x) dx \qquad (*)$$

En particulier, une table de probabilité d'ordre N est définie par 2N valeurs de ses moments :

(8) 
$$M_{n} = \sum_{i=1}^{N} p_{i} x_{i}^{n}$$

Cette table de probabilité est la somme de N fonctions de DIRAC  $\delta$  (x-x<sub>i</sub>) affectées des poids p<sub>i</sub>.

Choix fondamental: nous convenons de définir une table de probabilité d'ordre N, devant décrire une distribution p (x), en stipulant qu'elle décrit exactement 2N moments de p (x):

(9) 
$$M_n = M_n$$
 pour 2N valeur de n

A priori, rien n'impose que les 2N valeurs de n forment une suite continue régulière ( $\delta n_j = n_{j+1} - n_j = \text{constante}$ ); nous ferons ce choix, qui sera justifié en II. On aura, pour  $\delta n = 1$ :

I peut être négatif si les moments correspondants sont définis.

<sup>\*</sup> Nota: Toute suite infinie de moments  $M_n$ , croissant moins vite que (2n)! et satisfaisant les conditions de Hankel (cf.§ II.4) définissent de façon unique une distribution de probabilité p(x).

Cas des sections efficaces totales : la section efficace  $\sigma_{t}$  (E) sur l'intervalle (E<sub>i</sub>, E<sub>s</sub>) peut être décrite par une distribution p ( $\sigma$ ) - en perdant, bien sûr, l'information en énergie. (Fig. 4). Cela revient à dire que l'on remplace une intégrale de Riemann (sur E) par une intégrale au sens de Lebesgue (sur p ( $\sigma$ )) :

(11) 
$$\mathcal{M}_{n} = \frac{1}{\Delta E} \int_{\Delta E} \sigma_{t}^{n}(E) dE = \int_{0}^{\infty} \sigma_{t}^{n} p(\sigma_{t}) d\sigma_{t}$$

Etant donné que ot ne peut être ni infini ni nul, le sera défini quel que soit n, positif ou négatif.

Sauf stipulation contraire explicite, tout ce qui suit concerne les tables de probabilité établies par la méthode des moments.

#### II - CALCUL ET PROPRIETES DES TABLES DE PROBABILITE

# II.1 - Résolution du système d'équations 10, définissant la table de probabilité

Considérons l'équation génératrice des moments :

(12) 
$$\int_{D} \frac{p(x) x^{I}}{1 - zx} dx = \int_{D} p(x) x^{I} (1 + zx + z^{2}x^{2} + ...) dx$$

(D : domaine de p(x)).

II.1.1 - Calculs pour I = 0 : dans un but de clarté, nous exposerons d'abord les calculs pour I = 0 : le jeu d'indices qu'impose I  $\neq$  0 est alors supprimé, et les expressions sont plus faciles à lire. On a :

(13) 
$$\begin{cases} F(z) = \int_{D} \frac{p(x)}{1-zx} dx \\ = \int_{D} p(x) (1 + z^{1}x^{1} + z^{2}x^{2} + \dots) dx \\ = \mathcal{M}_{0} + z \mathcal{M}_{1} + z^{2} \mathcal{M}_{2} + \dots + z^{2N-1} \mathcal{M}_{2N-1} + \mathcal{R}(z^{2N}) \end{cases}$$

Les 2N premiers termes de F (z) peuvent s'écrire sous la forme d'un approximant de PADE :

90:10118

$$F(z) = \frac{a_0 + a_1 z + a_2 z^2 + \dots + a_{N-1} z^{N-1}}{1 + b_1 z + b_2 z^2 + \dots + b_N z^N} + \mathcal{R}(z^{2N})$$

$$= \frac{P_{n-1}(z)}{Q_n(z)} + \mathcal{R}(z^{2N})$$

Les coefficients  $a_i$ ,  $b_i$  seront donnés par la résolution du système de 2N équations :

La résolution du système linéaire des N dernières équations donnera les N valeurs de  $\mathbf{b_i}$  qui, reportées dans le système des N premières équations, permettra le calcul des N valeurs de  $\mathbf{a_i}$ . On peut calculer les racines  $\mathbf{z_i}$  de  $\mathbf{Q_n}$  (z) (que nous supposerons toutes simples (\*)), et décomposer la fraction  $\mathbf{P_{N-1}(z)/Q_N(z)}$  en pôles simples :

(16) 
$$\begin{cases} F(z) = \frac{P_{N-1}(z)}{Q_{N}(z)} + \mathcal{R}'(z^{2N}) \\ = \frac{P_{N-1}(z)}{\prod_{i=1}^{N} \left(1 - \frac{z}{z_{i}}\right)} + \mathcal{R}'(z^{2N}) \\ = \sum_{i=1}^{N} \frac{w_{i}}{1 - \frac{z}{z_{i}}} + \mathcal{R}'(z^{2N}) \end{cases}$$

\* Nota : toutes les racines sont simples si p (x), ou une partie de p (x), est une fonction continue. On obtiendrait des racines multiples si on voulait décrire une somme de J fonctions de DIRAC par une table de probabilité d'ordre N > J.

Nous choisissons la table de probabilité  $(p_i, x_i)$  telle qu'elle décrive exactement les 2N moments considérés :

(17) 
$$M_n = \sum_{i} p_i x_i^n = M_n$$
  $0 \le n \le 2N-1$ 

On peut donc écrire :

(18) 
$$\begin{cases} F(z) = \sum_{i} p_{i} + z \sum_{i} p_{i} x_{i} + --- + z^{2N-1} \sum_{i} p_{i} x_{i}^{2N-1} + R(z^{2N}) \\ = \sum_{i} p_{i} (1 + z x_{i} + z^{2}x_{i}^{2} + z^{2N-1} x_{i}^{2N-1}) + R(z^{2N}) \\ = \sum_{i} \frac{p_{i}}{1 - zx_{i}} + R'(z^{2N}) \end{cases}$$

Par identification de 16 et 18 (au reste près), on obtient :

(19) 
$$\begin{cases} p_{i} = w_{i} \\ x_{i} = \frac{1}{z_{i}} \end{cases}$$

II.1.2 - Cas général (I  $\neq$  0) : les équations 14 et 16 deviennent :

$$\begin{cases}
F(z) = M_{I} + z M_{I+1} + ---- + z^{2N-1} M_{I+2N-1} + \mathcal{R}(z^{I+2N}) \\
= \frac{P_{N-1}(z)}{Q_{N}(z)} + \mathcal{R}(z^{2N})
\end{cases}$$

$$= \sum_{i=1}^{N} \frac{w_{i}}{1 - \frac{z}{z_{i}}} + \mathcal{R}'(z^{2N})$$

alors que les équations 18 s'écrivent :

$$\begin{cases}
F(z) = \sum_{i} p_{i} x_{i}^{T} + z \sum_{i} p_{i} x_{i}^{T+1} + ---- + z^{2N-1} \sum_{i} p_{i} x_{i}^{T+2N-1} + R(z^{2N}) \\
= \sum_{i} p_{i} x_{i}^{T} (1 + zx_{i} + z^{2} x_{i}^{2} + z^{2N-1} x_{i}^{2N-1}) + R(z^{2N}) \\
= \sum_{i} \frac{p_{i} x_{i}^{T}}{1 - z_{i} x_{i}} + R'(z^{2N})
\end{cases}$$

Par identification on obtiendra:

(22) 
$$\begin{cases} p_{i} = w_{i}/x_{i}^{T} \\ x_{i} = 1/z_{i} \end{cases}$$

Remarque : On peut toujours effectuer un changement de la fonction poids :

(23) 
$$q(x) = p(x) x^{I}$$

On est alors ramenê au cas I = 0. Toutes les propriétés mathématiques applicables à la suite positive des moments (n = 0,1,...) est applicable aux moments de la fonction poids q(x).

Moments à prendre en compte : La mêthode de solution du système d'équations 10 suppose une suite tronquée mais continue des moments, définie par les équations 13 (si I = 0) ou 20 (cas général) : ce qui justifie que le choix exposé en I.4.

II.2 - Propriétés élémentaires. Cette mêthode de résolution du système
10 permet de montrer immédiatement 2 propriétés simples :

II.2.1 - l'orthogonalité des dénominateurs Q. On peut calculer :

$$\int_{D} = \int_{D} p(x) x^{n} Q_{N}(x) dx$$

$$= \int_{D} p(x) x^{n} \sum_{i=0}^{N} b_{i} x^{i} dx$$

$$= \sum_{i=0}^{N} b_{i} \int_{D} p(x) x^{n+i} dx$$

$$= \sum_{i=0}^{N} b_{i} \mathcal{M}_{n+i}$$

Si I = 0, d'après les êquations 15.b,  $\int_n$  = 0 pour tout n < N : donc  $x^n$  est orthogonal à  $Q_N$  avec la fonction poids p (x) ; en particulier :

(25) 
$$\int_{D} p(x) Q_{M}(x) Q_{N}(x) dx = \delta_{NM} N$$

 $\mathcal{N}_N$  désignant une norme. Dans le cas général (I = 0), la condition d'orthogonalité de  $x^n$  et  $Q_N$  est vérifiée pour I  $\leq$  n  $\leq$  I + N, et 25 devient :

(26) 
$$\begin{cases} \int_{D} p(x) Q_{J,M}(x) Q_{I,N}(x) dx = 0 \\ pour \begin{cases} I \leq J \\ J+M \leq I+N \end{cases} \end{cases}$$

II.2.2 - <u>les tables de probabilité en tant que méthode d'intégration</u>. Soit à calculer l'intégrale:

(27) 
$$\mathscr{J} = \int_{\mathbb{D}} p(x) f(x) dx$$

sur un domaine D. S'il existe un développement formel de f (x) sur D, on peut écrire :

(28) 
$$\begin{cases} \mathcal{J} = \int_{D} p(x) \sum_{j=0}^{\infty} \mathcal{Y}_{j} x^{j} dx \\ = \sum_{j=0}^{\infty} \mathcal{Y}_{j} \int_{D} p(x) x^{j} dx \\ = \sum_{j=0}^{\infty} \mathcal{Y}_{j} \mathcal{M}_{j} \end{aligned}$$

Si on établit une table de probabilité d'après les 2N premiers moments :

Si  $x_i \in D$ , le même développement formel que précédemment permet d'écrire :

(30) 
$$\mathcal{J} = \sum_{i=1}^{N} p_i \quad f(x_i) + \mathcal{R}'(x^{2N})$$

90 10082

L'erreur est due à la troncature d'un développement dont la valeur est estimée par un approximant de PADE.

En fait cette méthode d'intégration n'est autre que la mêthode de quadrature de Gauss-Jacobi [Sz 59] que nous voulons utiliser :

- en prenant en compte les moments négatifs (lorsqu'ils existent), ce qui revient à changer p(x) en  $q(x) = p(x)/x^{I}$  (cf. page 11),
- en acceptant que p(x) puisse être négatif, ce qui impose des restrictions insuffisamment connues.

### II.3 - <u>La théorie mathématique des polynômes orthogonaux et de la</u> quadrature de GAUSS

Le traitement du transport implique le calcul d'intégrales ; en introduisant les tables de probabilité, Soviétiques et Américains ont mis en oeuvre une méthode approchée, plus ou moins empirique, de calcul de ces intégrales. En définissant les T.P. par les moments, nous nous basons sur une théorie mathématique bien définie, celle reliant les polynômes orthogonaux, les approximants de PADE et la quadrature de GAUSS [Sz 59, Ak 65, Ba 65, Ba 75, Ba 80, Br 80, Dr 83]. Nous en donnons quelques propriétés cidessous.

Soit la suite des moments positifs de p(x), et les T.P. définies par (7-10).

Cohérence des moments : ce point est traité en II.4.

 $\underline{\text{Domaine des } x_i} : \text{la th\'eorie des polynômes orthogonaux [Sz 59]} \\ \text{\'etablit que :}$ 

- les racines  $x_1$  de  $Q_N$  (i = 1 à N) sont toutes rêelles et comprises dans le support D de p (x) ;
- chacune des N racines de  ${\rm Q}_{\rm N}$  est à l'intérieur de chacun des N intervalles d'éfinis par les N+1 racines de  ${\rm Q}_{\rm N+1}$  .

Positivité des  $p_i$ : lorsque p (x) est positif (condition qui ne sera pas toujours observée dans nos applications), les  $p_i$  sont positifs [Sz 59]; ils sont parfois appelés "nombres de Christoffel".

Séparation des "bandes" : (théorème de séparation de Tchebychev-Markov - Stieltjes [Sz 59]). Nous avons la suite des probabilités  $p_1$ ,  $p_2$ ,...  $p_N$ . Il existe des nombres  $y_i$  tels que :

(31) 
$$\int_{A}^{y_{1}} p(x) dx = p_{1}$$

$$\int_{y_{1}}^{y_{2}} p(x) dx = p_{2}$$

$$\int_{y_{N-1}}^{B} p(x) dx = p_{N}$$

A et B désignant les bornes du domaine D. Cette suite de nombres  $y_1$ ,  $y_2$ ,...  $y_{N-1}$  est unique si p (x) > 0 sur D . On a alors :

(32) 
$$A < x_1 < y_1 < x_2 < y_2 \dots x_{N-1} < y_{N-1} < x_N < B$$

 $\underline{Application} : \text{Reprenons 1'image "physique" de Levitt. On peut découper p (x) en N bandes d'abscisses y_1, y_2, ... y_{N-1} ; chaque bande sera caractérisée par un poids : }$ 

$$(33) p_{i} = \int_{y_{i-1}}^{y_{i}} p(x) dx$$

et par une abscisse  $x_i$  comprise entre  $y_{i-1}$  et  $y_i$ : les tables de probabilités ainsi définies seront donc très "physiques" (fig. 4).

Séparation des "bandes" d'ordre N et d'ordre N+1 (théorème de séparation de Stieltjes [Sz 59]); soit, pour N, la suite des y<sub>i</sub>, définis cidessus; nous les indicerons N:

$$y_{1,N}, y_{2,N}, y_{3,N}, --- y_{N,N}$$

Pour la table d'ordre N + 1, nous aurons la suite :

$$y_{1,N+1}, y_{2,N+1}, ---- y_{N+1,N+1}$$

Les  $y_{i,N}$  et les  $y_{j,N+1}$  sont alternés comme les  $x_{i,N}$  et les  $x_{j,N+1}$ , i,e :

(34) 
$$y_{1,N+1} < y_{1,N} < y_{2,N+1} < y_{2,N} < \cdots < y_{N,N+1} < y_{N,N} < y_{N+1,N+1}$$

Convergences de la quadrature : il y a convergence pour p(x) > 0 si l'intégrale existe [Sz 59, 15-2-3] ; la quadrature est stable (Br 80). De plus, on "peut montrer que la formule de quadrature de GAUSS est optimale dans un certain sens" (Br 80, p. 63).

#### II.4 - Cohêrence des moments.

Il est toujours possible de résoudre le système 10 par la méthode exposée en II.l. Mais il peut y avoir des problèmes numériques.

II.4.1 - <u>Théorie mathématique</u> : le problème aux moments de Stieltjes a une solution si la suite des moments donnés satisfait certaines conditions, telles que :

(35) 
$$\begin{cases} \sum_{i=0}^{n} (-)^{i} C_{n}^{i} & \mathcal{M}_{i+k} \geq 0 \\ \Delta (k,n) > 0 \end{cases}$$
 (k,n = 0,1,2,...)

avec  $\triangle$  (dêterminant de Hankel):

Ces conditions peuvent être très astreignantes. Elles seront <u>tou-jours vérifiées pour des moments calculés à partir de p (x) avec une bonne précision numérique</u>. Nous avons vérifié numériquement l'importance de cette très bonne cohérence entre les moments.

II.4.2 - <u>Sensibilité des T.P. à la cohérence des moments</u>. La connaissance des N premiers moments (0 à N-1) permet de donner un encadrement, très étroit, du moment d'ordre N. A l'inverse, qu'arrive-t'il si on fait varier celui-ci ? Nous donnons un exemple pour illustrer pratiquement cette sensibilité.

Soit la table de probabilité d'ordre 6 :

$$a = (0,72, 0,10, 0,06, 0,05, 0,04, 0,03)$$

$$x = (30., 70., 200., 350., 450., 600.)$$

qui constitue une exemple d'une table de probabilité de section efficace. Qu'arrive-t-il si on perturbe légèrement les moments du 10 ou llème ordre ? les résultats de cet effet sont donnés par les courbes des figures 5 et 6.

#### III - LA METHODE EQUIPROBABLE DES MOMENTS, OU METHODE DE TCHEBYCHEV

La définition d'une table de probabilité à partir des moments (positifs ou négatifs) est très satisfaisante parce qu'elle repose sur des propriétés mathématiques fructueuses et bien établies.

On peut chercher d'autres types de tables. En particulier, les tables "êquiprobables" semblent prêsenter des avantages : on conçoit qu'elles seront moins précises, mais elles devraient permettre plus facilement des interpolations : si, par exemple, la température d'un milieu varie, des tables êquiprobables d'ordre N donneront le même poids constant 1/N à chacun des sous-groupes, et seul  $^{\circ}$  i variera. La mêthode de Tchebychev est un cas particulier de la mêthode êquiprobable : les  $\mathbf{x_i}$  sont donnés par un système de N équations aux moments, les  $\mathbf{p_i}$  étant égaux ( $\mathbf{p_i}$  = 1/N) :

$$\frac{1}{N} \sum_{i} x_{i}^{n} = \mathcal{M}_{n} \qquad \qquad n = 1 \text{ â N}$$

Les  $x_i$  sont les racines d'un polynôme de degrê N :

(38) 
$$\prod_{i=1}^{N} (x-x_i) = x^N - x^{N-1} S_1 + x^{N-2} S^2 - x^{N-3} S_3 + \dots = 0$$

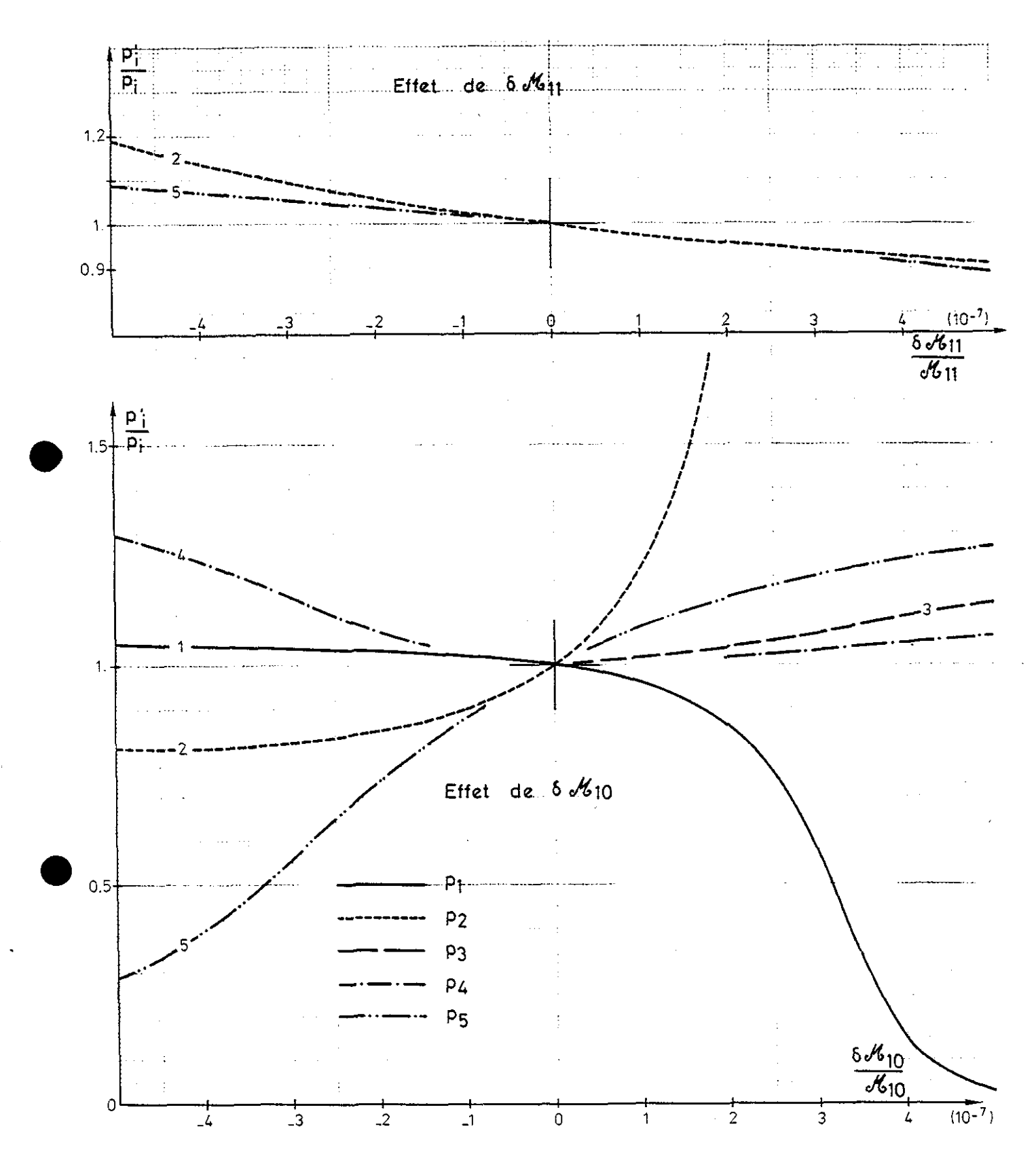


Figure 5 : Cas d'une table d'ordre 6 définie par ses moments positifs.

Effet sur les probabilités d'une perturbation relative de quelques 10<sup>-7</sup> sur les moments du 10<sup>ème</sup> ou du 11<sup>ème</sup> ordre.

La courbe n'est pas tracée lorsque la perturbation est < 2 %.

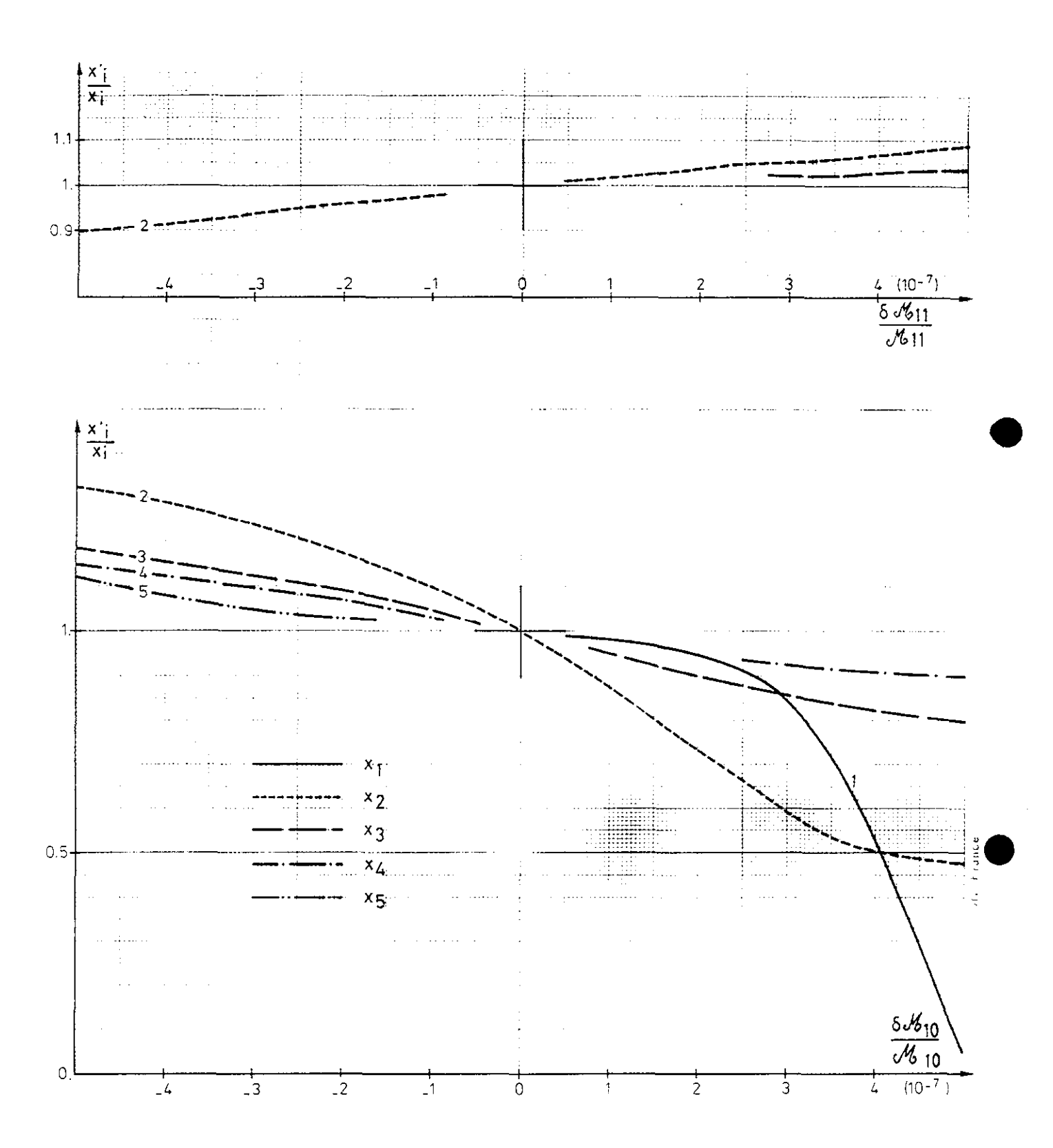


Figure 6: Cas d'une table d'ordre 6 définie par ses moments positifs. Effet sur les abscisses d'une perturbation relative de quelques  $10^{-7}$  sur les moments du  $10^{\mbox{\'eme}}$  et du  $11^{\mbox{\'eme}}$  ordre. La courbe n'est pas tracée lorsque la perturbation est < 2 %.

avec: 
$$\begin{cases} s_1 = \sum_{i} x_i & = N M_1 \\ 2s_2 = \sum_{i} x_i x_j & = \left(\sum_{i} x_i\right)^2 - \sum_{i} x_i^2 = (N M_1)^2 - N M_2 \\ 6s_3 = \sum_{i} x_i x_j x_k & = \left(\sum_{i} x_i\right)^3 - 3 \sum_{i} x_i^2 \cdot (\sum_{i} x_i) - \sum_{i} x_i^3 \\ j \neq i \\ k \neq i, j & = (N M_1)^3 - 3 N^2 M_2 M_1 + 2N M_3 \end{cases}$$
Par exemple, pour:

(40) 
$$\begin{cases} p(x) = e^{-x} & 0 \le x \le \infty \\ M_0, M_1, M_2, \dots, M_n, \dots = 1., 1., 2., \dots n!, \dots \end{cases}$$

$$\begin{cases} p(x) = e^{-x} & 0 \le x \le \infty \\ M_0, M_1, M_2, \dots M_n, \dots = 1., 1., 2., \dots n!, \dots \end{cases}$$
 On obtient: 
$$\begin{aligned} -\text{ table de 2} : & S_1 = 2 & \text{d'où la table : } p_i = \frac{1}{2}, \begin{cases} x_1 = 0 \\ x_2 = 2 \end{cases} \\ -\text{ table de 3} : & S_1 = 3 \\ S_2 = 3/2 \end{aligned}$$

$$s_3 = 3/2$$
 d'où la table :

$$p_i = \frac{1}{3}$$
,  $\begin{cases} x_1 = 2.647 \ 426 \ 657 \\ x_2, x_3 = \underline{0.352 \ 573 \ 343 + i \ 1.463 \ 572 \ 265} \end{cases}$ 

On constate donc qu'une table de 3 n'est pas "physique". A l'ordre 4, une des racines est réelle négative.

Cet aspect non "physique" des tables de Tchebychev est un fait connu, se produisant en gênêral pour des ordres plus êlevês que dans le cas de la loi exponentielle : pour p (x) = 1 sur (-1,1), la non-cohêrence apparaît à l'ordre 8 [Bo 55, Re 84].

Nous pensons que cette mêthode est à rejeter car on ne peut rien dire a priori sur les racines xi. De plus, même si elle était possible, elle impliquerait des ordres plus êlevés que ceux de nos T.P., et donc davantage de sous-groupes en neutronique.

#### IV - LES EXEMPLES DE CULLEN

Pour montrer l'intérêt de la description d'une section efficace par une table de probabilité, D.E Cullen pose des problèmes théoriques simples qui peuvent être résolus exactement parce qu'il suppose connaître la loi analytique de p  $(\sigma)$ . Il montre que la méthode des tables de probabilité, applicable quelle que soit p  $(\sigma)$ , permet d'obtenir le résultat avec une bonne prêcision.

IV.1 - <u>Le premier exemple</u> [Cu 74]. D.E Cullen considère un flux de neutrons incidents perpendiculairement à la surface d'un milieu homogène infini, purement absorbant. (i.e.  $\Sigma = \Sigma_t = \Sigma_a$ ). Il suppose que la section efficace est distribuée suivant la loi :

(41) 
$$\begin{cases} p(\Sigma) = 0,15 - 0,006 (\Sigma - 10)^2 & pour 5 \leq \Sigma \leq 15 \\ = 0 & autrement \end{cases}$$

Puisqu'il n'y a pas de diffusion, il n'est pas nêcessaire de connaître la loi  $\Sigma$  = f(E) : toute loi f(E) reproduisant la distribution (41) de  $\Sigma$  est valide.

La mêthode des bandes équiprobables: D.E Cullen calcule le flux dans le modèle à 1 groupe, et dans plusieurs hypothèses multibandes (n = 2,3,5,10). Il conclut à une nette amélioration apportée par la solution multibande.

Nous avons refait ses calculs, retrouvons ses résultats. La décomposition en bandes équiprobables est donnée par le tableau 1 pour n = 1,3,4. Les résultats sont donnée par la figure 7.

Tableau 1 : tables de probabilités établies selon la méthode des bandes équiprobables (EP) ou selon la méthode des moments (MT).

Mëthode ëquiprobable		Mêthode des moments			
Ordre	Table		Ordre	1	Cable
	p <sub>i</sub>	Σ1		$p_i$	Σi
2	0.5	10.+1.875	2	0.5	10.+ 2.236 068
2 3	1/3	10.	3	16/30	10.
	†	10.+ 2.532 357		7/30	10.+ 3.273 268
5	1/5	18:+ 1.377 955	4	8:387 388	18: 43: 429 259
10	   1/10 	10.± 3.142 378 10.± 0.334 333	5	0.365 714 0.252 630	10. 10.+ 1.234 424
		10.+ 1.015 610 10.+ 1.740 300 10.+ 2.565 594		0.232 630	10.± 4.151 119
		10.+ 3.719 162			

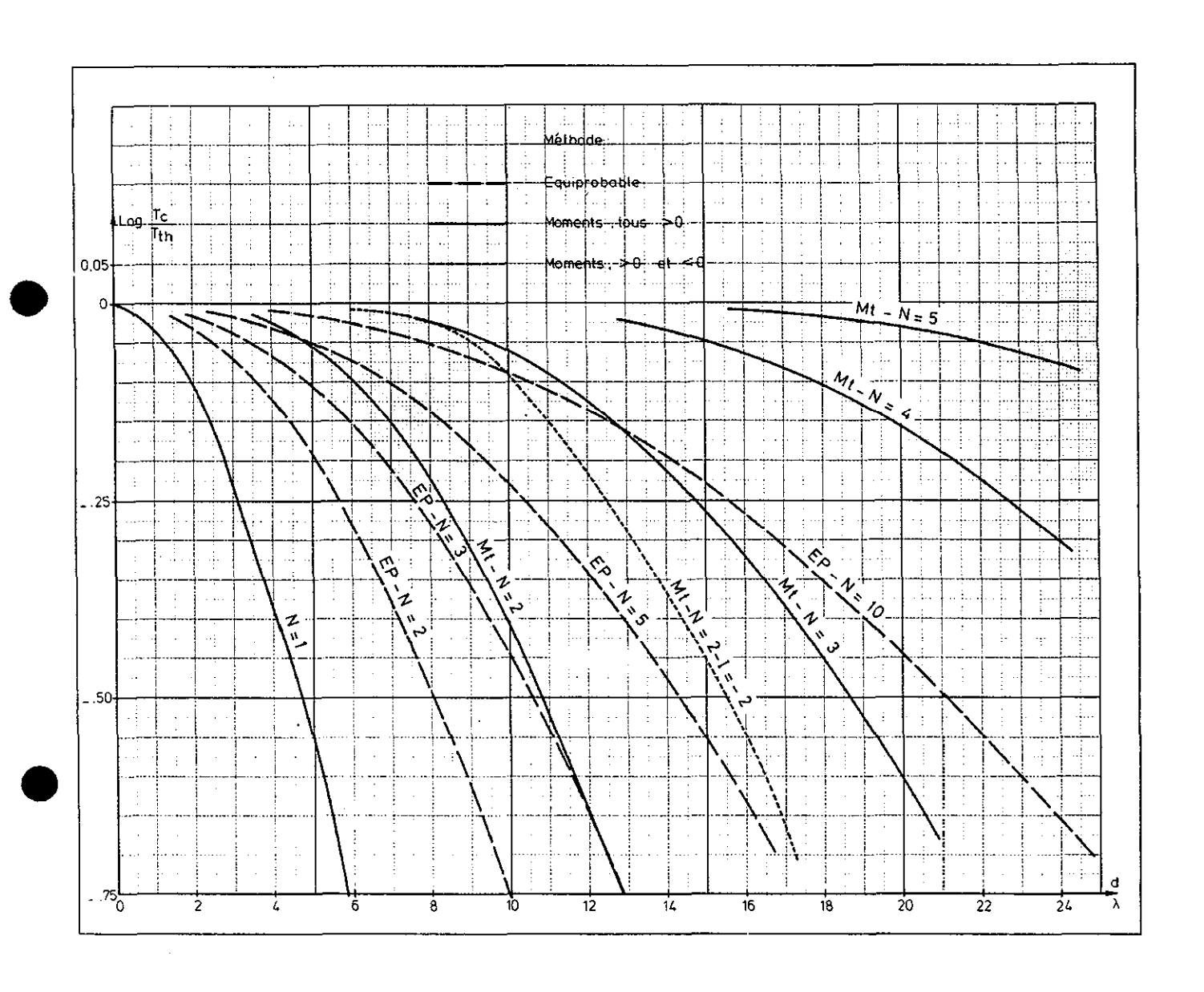


Figure 7 : Exemple de Cullen - Rapport de la transmission calculée par des tables de probabilité,  $T_{\rm c}$ , à la transmission théorique exacte,  $T_{\rm th}$ , calculée analytiquement ; d est la pénétration exprimée en libre parcours.

La méthode des moments : Nous avons refait les calculs de Cullen avec des tables de probabilité définies par la méthode des moments. Il en résulte, bien sûr, d'autres valeurs de  $p_i$  et  $\Sigma_i$  (voir tableau 1). Mais il en résulte surtout une très importante amélioration de la précision (voir figure 7). Par exemple : pour 10 libres parcours, et N = 5 (table d'ordre 5), l'erreur sur le flux est de 23% avec les valeurs EP, et de 0,1% avec les valeurs MT.

Les courbes en traits pleins de la figure correspondant à des T.P. décrivant les moments positifs. Il apparaît qu'une table de 3 est à peu près équivalente à une table equiprobable de 10. Mais on peut aussi faire intervenir les moments négatifs : l'amélioration est encore plus spectaculaire. Par exemple, la courbe en pointillés de la figure 7 correspond à une T.P. d'ordre 2, moments -2 à 1 ; elle correspond à peu près à une table E.P. de 7 ou 8.

La figure 8 illustre le mêcanisme : les moments negatifs induisent des oscillations de très faible amplitude de log  $(T_{\rm c}/T_{\rm th})$  autour de 0.

IV.2 - <u>Le second exemple de Cullen</u> [Cu 80]. En 1980, Cullen et Pomraning appliquèrent la "méthode multibande" à la transmission d'un rayonnement. Ils prennent là aussi un modèle analytique simple de la probabilité de section efficace :

(42) 
$$p(\Sigma) = \frac{\Sigma - 0.1}{9.9}$$
 pour  $0,1\Sigma \leq \Sigma \leq 10$ 

et ils peuvent calculer la transmission exacte en fonction de l'épaisseur.

Mais ils ne travaillent plus avec la mêthode "êquiprobable" : ils utilisent une mêthode multibande qui, à l'ordre 2, dêcrit  $<\Sigma>$  ,  $<\frac{1}{\Sigma}>$  et  $<\frac{1}{\Sigma^2}>$  : c'est la mêthode des moments.

Les résultats sont représentés par la figure 9.

#### V - CHOIX DE LA TABLE DE PROBABILITE

Une T.P. est définie par son ordre N, et par l'ordre I du moment initial. Il est naturel de penser que les calculs effectués avec une T.P. seront d'autant plus prêcis que N sera élevé; mais qu'en est-il de l'influence de I ?

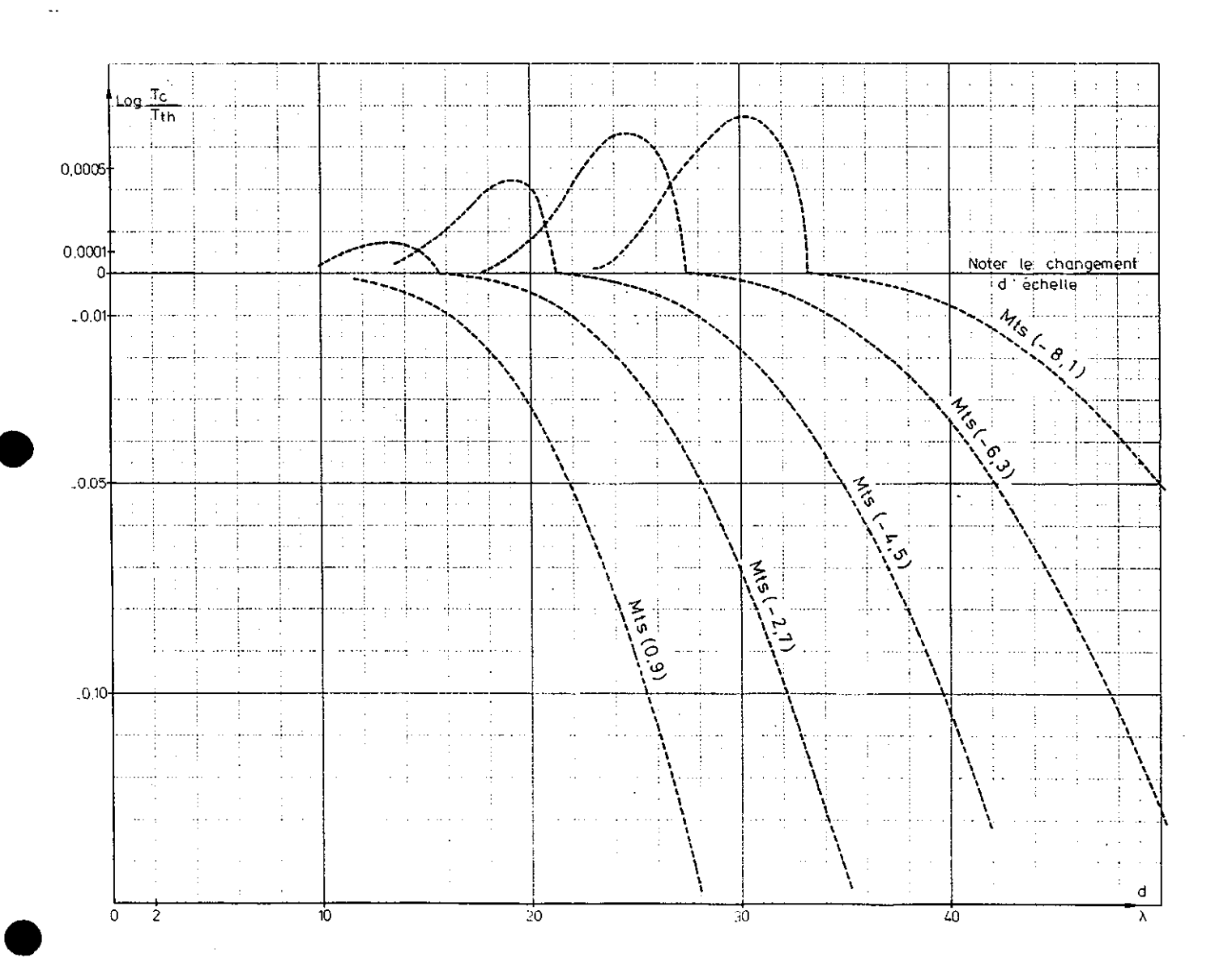


Figure 8: Exemple de Cullen - Comme pour la figure prêcêdente, rapport de la tranmission calculée  $T_{\rm c}$  à la transmission théorique exacte  $T_{\rm th}$  en fonction de la pénêtration d exprimée en libre parcours. Les résultats présentés concernent une table de 5, selon les moments pris en compte : de (0 à 9) à (-8 à 1). Noter que l'êchelle pour les valeurs positives de Log  $T_{\rm c}/T_{\rm th}$  est 50 fois plus dilatée que pour les valeurs négatives. Il apparaît des oscillations : seule la plus grande (la dernière) est représentée (pour la table (-8 à 1), il y a des maxima pour d = 2, 6, 14 et 30 ).

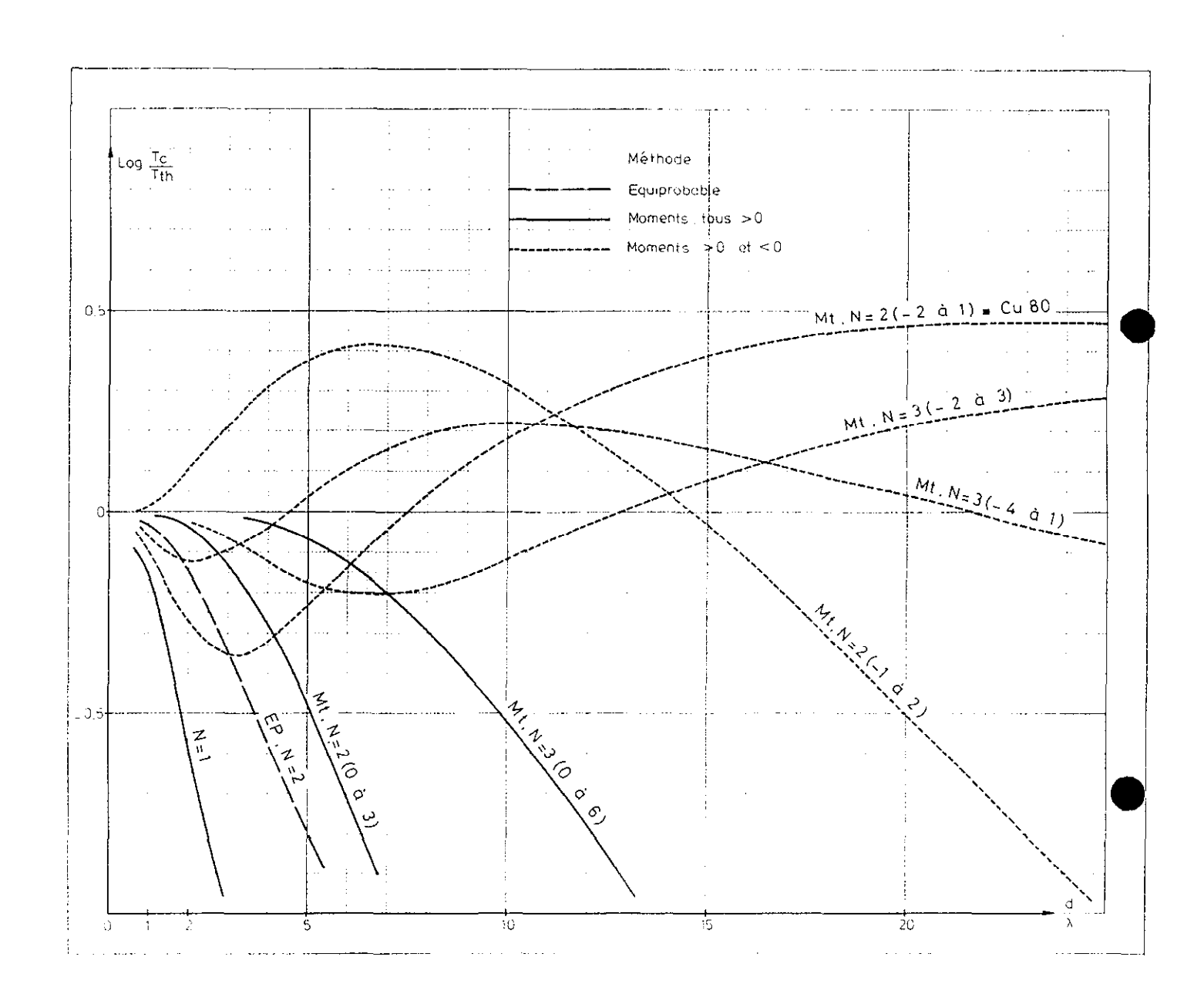


Figure 9 : Second exemple de CULLEN - Rapport de la transmission calculée à la transmission exacte en fonction de l'épaisseur. L'importance de la prise en compte des moments négatifs est encore illustrée par cette figure. La T.P. établie à partir des moments pour N = 2 (moments d'ordre -2 à 1) est strictement identique à la table multibande d'ordre 2 de CULLEN et POMRANING (Cu 80).

Le traitement des exemples de Cullen nous a donné une première réponse : la très grande importance des moments négatifs ; la réponse paraitrait même paradoxale : ne prendre en compte que des moments négatifs.

Pour êtudier cet effet, nous avons effectuê des calculs dans un cas plus physique : celui du  $^{238}$ U, de 4250 à 4750 eV; avec les paramètres moyens de ENDF-B-4 :

$$R = 9.184 \text{ fm}$$
  $\overline{D}_{1=0} = 19.98 \text{ eV}$   $S_0 = 1.05 \cdot 10^{-4}$ 

avec les résonances 1 = 0 seulement. Afin de bien déterminer les effets, nous avons effectué les calculs à 3 températures :

T = 0 K (non realiste, mais effets renforces)

T = 300 K

T = 1500 K

Les résultats sont représentés par les figures 10. Ils montrent l'importance des moments d'ordre négatif lorsque  $\sigma_{\mbox{d}}$  est petit, des moments positifs lorsque  $\sigma_{\mbox{d}}$  est grand. En pratique normale, nous prendrons :

$$I = 1-N$$

qui paraît un compromis réaliste (et simple). En particulier, les T.P., données fondamentales caractérisant un noyau (Z,A) à une énergie E (ou dans une gamme d'ênergie  $E_i$ ,  $E_s$ ) et à une température T, devront être stockées pour un ordre N élevé et avec I = 1-N, étant entendu que l'utilisateur pourra réduire cet ordre à N' < N, et, si justifié, prendre  $I' \neq 1-N'$ .

#### VI - LES TABLES DE PROBABILITES A PLUSIEURS VARIABLES

Le succès obtenu en définissant les tables de probabilités à partir des moments réside dans le fait que :

- approximants de PADE (ou fractions continues),
- polynômes orthogonaux,
- intêgration par la mêthode de GAUSS sont lies et définis sans ambiguite dans le cas à une variable.

Il n'en est pas de même dans le cas à plusieurs variables, dont nous avons besoin tant pour prendre en compte les sections efficaces partielles, que pour traiter le problème neutronique à plusieurs dimensions. Figures 10 A, B, C: importance des moments négatifs, cas du 238 U de 4250 à 4750 eV, résonances  $\ell$  = 0 seulement : erreur relative sur  $\sigma_{t,eff}$  calculée par des tables de probabilité pour :

- . 3 températures (0 K : fig. A, 300 K : fig. B, 1500 K : fig. C);
- . 3 dilutions (1 barn : traits pleins, 20 barns : grands tirets,
  500 barns : petits tirets);
- . 3 ordres (N = 3,5 et 7).

L'erreur relative ( $\epsilon_r = \sigma_{T.P.}/\sigma_{\rm exact} - 1.$ ) est portée en fonction de I, valeur inférieure des moments pris en compte ; puisque les moments d'ordre 0 et 1 sont toujours pris en compte :  $2 - 2N \le I \le 0$ 

On constate que le moments d'ordres négatifs sont importants lorsque  $\sigma_d$  est petit ; que ce sont ceux d'ordre positif qui comptent lorsque  $\sigma_d$  est grand. Ceci est vrai pour toute température, étant entendu que la précision à (N,I) donnés s'améliore lorsque T croît.

L'erreur devient très petite pour  $\sigma_d \to \infty$  (puisque  $\sigma_{t,eff} \to <\sigma_t>$ , moment du premier ordre exactement décrit par la T.P.).

Pour l'établissement des tables de probabilité et leur entrée en bibliothèque de données, nous recommandons l'option normale :

#### I = 1 - N

êtant entendu que, selon l'application ( $\sigma_d$  grand ou petit), l'utilisateur pourra réduire l'ordre de la table (N' < N) et choisir I' favorisant les moments négatifs (si  $\sigma_d$  est petit) ou positifs (si  $\sigma_d$  est grand).

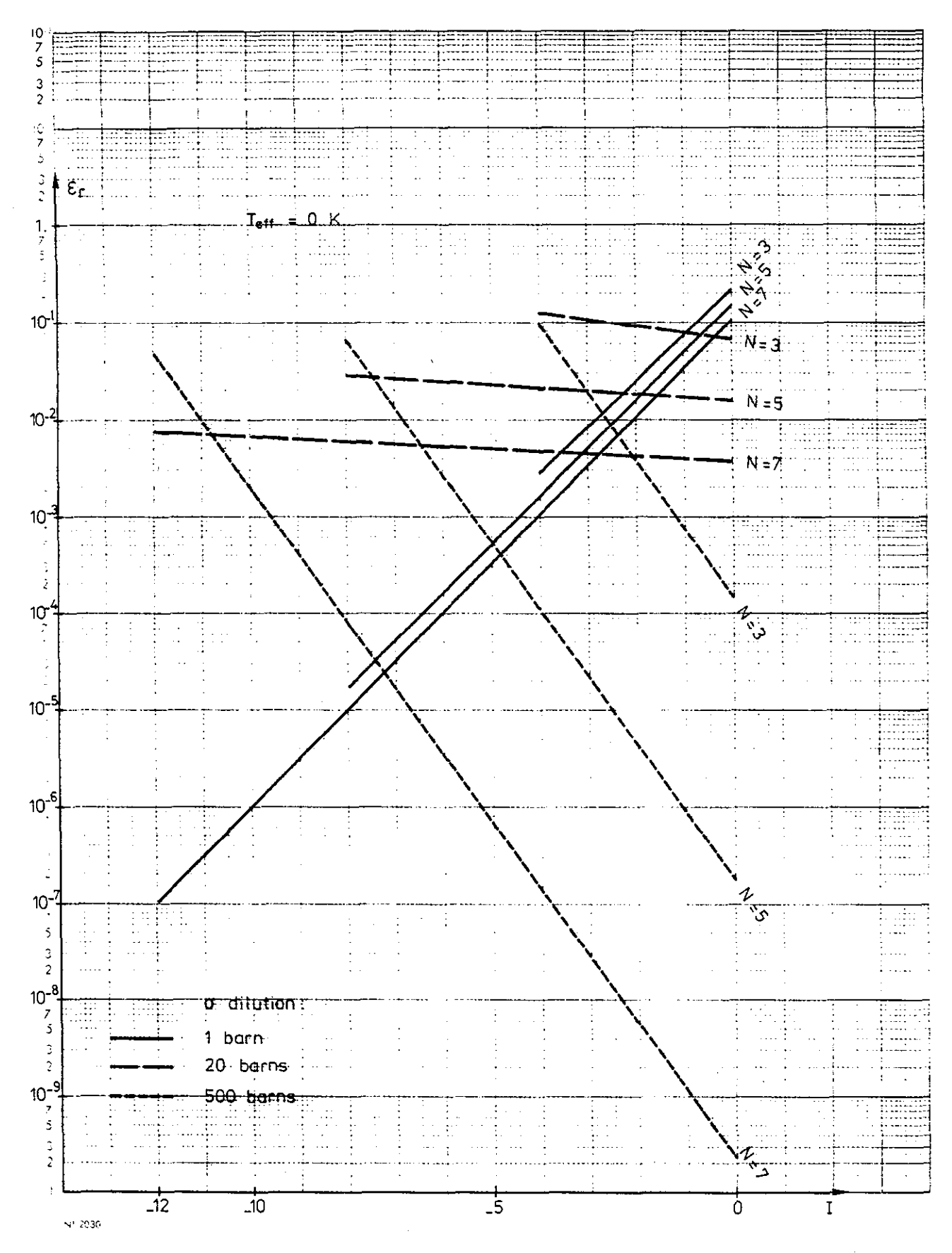


Figure 10-A

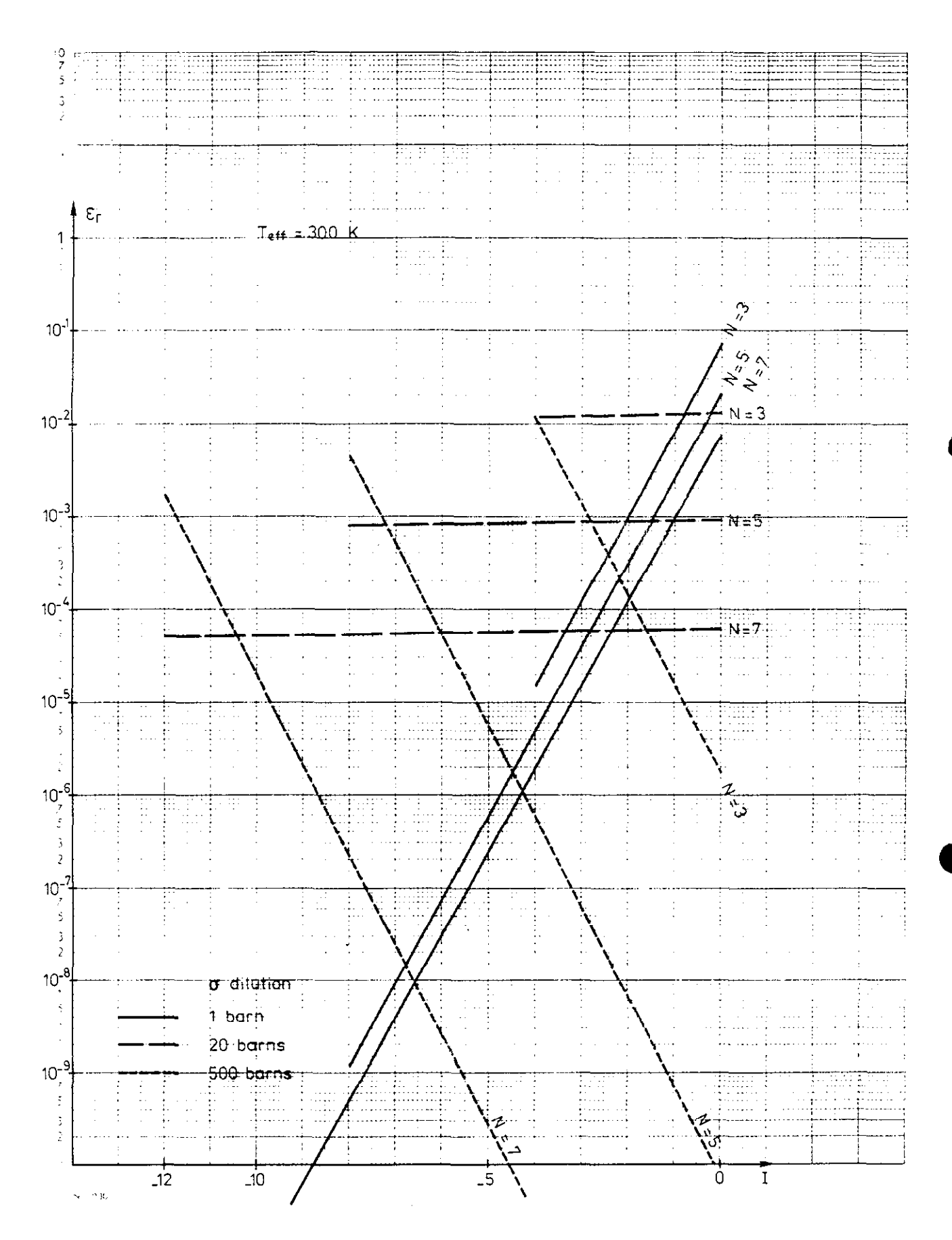


Figure 10-B

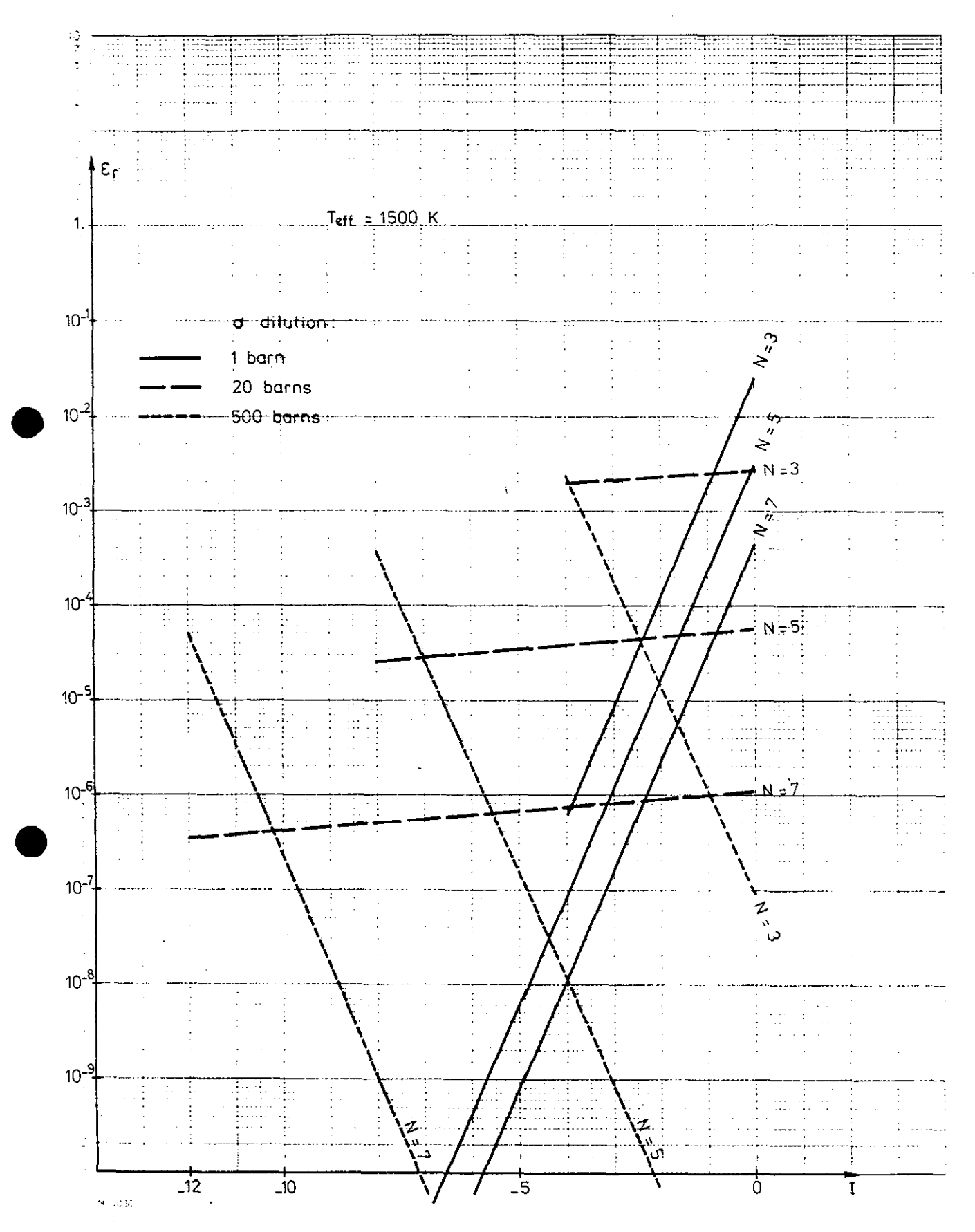


Figure 10-C

VI.1 - Les approximants de PADE à 2 variables : Il n'existe pas de définition canonique unique de tels approximants. Pour illustrer cette ambiguité nous allons examiner quelques-unes des définitions proposées pour des approximants de PADE à 2 variables, chaque choix étant adapté à des classes particulières de fonctions à 2 variables et donc à certaines symétries du problème.

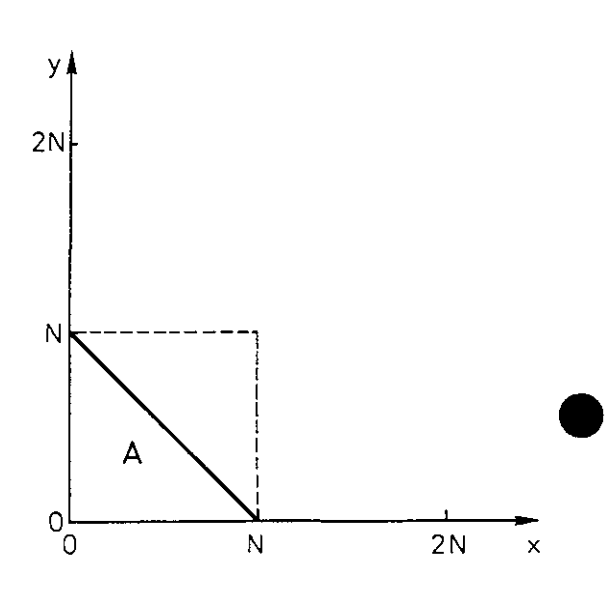
Nous considèrerons 4 définitions de ces approximants  $P_N/Q_M$ , dans le cas simple N = M (approximants diagonaux).

$$\frac{\text{lère définition}}{\text{lère définition}}: P_{N} = \sum_{i=0}^{N} \sum_{j=0}^{N-i} a_{ij} x^{j} y^{N-j}$$

(43) 
$$Q_{N} = \sum_{i=0}^{N} \sum_{j=0}^{N-i} b_{ij} x^{j} y^{N-j}$$

(avec  $b_{00}$  = 1 pour la normalisation) : on prend tous les termes  $x^{\bf i}$  y  $^{\bf j}$  avec  ${\bf i+j}$   $\leqslant N$  .

La définition d'un approximant (N,N) implique la connaissance de (N+1)\*(N+2) -1 données, qui comporteront forcément les 4N+1 termes d'ordre 0 à 2N en x et y. Il en manque donc  $N^2-N$ : le carré N\* N en fournit  $N^2$ , donc trop ; il faut éliminer N éléments de ce carré : suivant quels critères ?



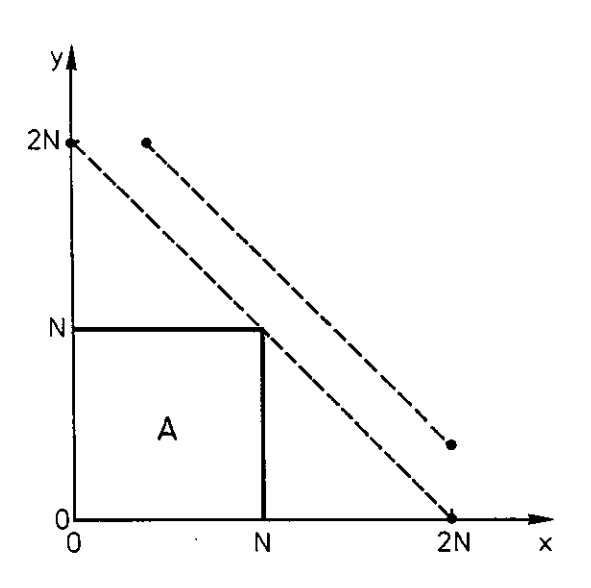
<u>2ème définition</u> : CHRISHOLM [CH 77] a proposé de prendre :

$$P_{N} = \sum_{i=0}^{N} \sum_{j=0}^{N} a_{ij} x^{i} y^{j}$$

$$Q_{N} = \sum_{i=0}^{N} \sum_{j=0}^{N} b_{ij} x^{i} y^{j}$$

(avec  $b_{00}$ = 1): on prend tous les termes  $x^i$   $y^j$  avec  $i \le N$ ,  $j \le N$ .

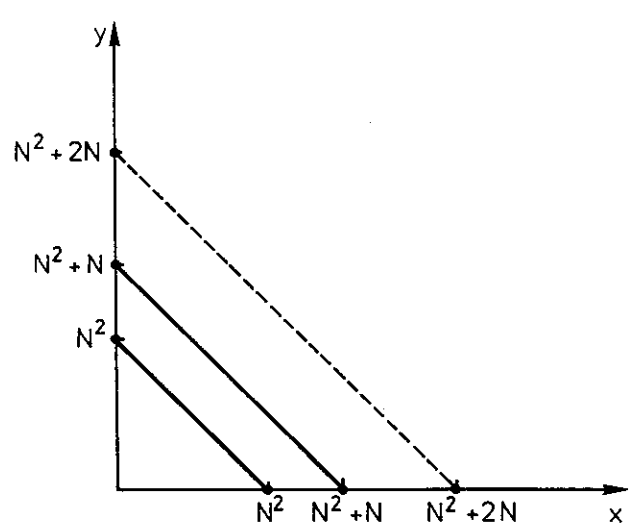
Les définitions d'un approximant (N,N) implique la connaissance de 2 (N+1)<sup>2</sup> - 1 données, comportant forcément les termes d'ordre 0 à 2N en x et en y. Le triangle (0-2N-2N) en comporte (N+1)\*(2N+1) : il en manque donc N, que CHRISHOLM propose de prendre sur l'anti-diagonale ((2N,1), (1,2N)) qui en comporte 2N.



3ème définition : Mme CUYT (Cu 83] propose une généralisation basée sur un décalage des degrés de P et Q :

$$\begin{cases}
 P_{M} = \sum_{i=NM}^{NM+M} \sum_{j=0}^{i} a_{ij} x^{i} y^{j} \\
 Q_{N} = \sum_{i=NM}^{NM+N} \sum_{j=0}^{i} b_{ij} x^{i} y^{j}
\end{cases}$$

Il faut N  $(2N^2 + 3N + 3) + 1$  données. Or le trapèze  $(N^2, N^2 + 2N, N^2 + 2N, N^2)$  contient précisément N  $(2N^2 + 3N + 3) + 1$  données : l'approximant de PADE est donc défini sans ambiguité. Mais ce décalage des origines qui semble satisfaire le mathématicien posé un problème au physicien.



4ème définition : WATSON [Wa 74] propose de définir un approximant de 2 variables  $P_{k+m}(x,y)/Q_k(x,y)$  par l'intermédiaire de l'algorithme  $\epsilon$  de WYNN. On prend :

(46) 
$$\begin{cases} \varepsilon_{\mathfrak{m},-1} = 0 \\ \varepsilon_{\mathfrak{m},0} = \sum_{k=0}^{\mathfrak{m}} \sum_{j=0}^{\mathfrak{m}} c_{kj} x^{k} y^{j} \end{cases}$$

et on construit par récurrence la table des & :

$$\varepsilon_{m,j+1} = \varepsilon_{m+1,j-1} + \frac{1}{\varepsilon_{m+1,j} - \varepsilon_{m,j}}$$

On définit sans ambiguité des approximants de PADE puisque :

(47) 
$$\frac{P_{N+m}}{Q_N} = \varepsilon_{m,2N}$$

Par exemple, on definit  $P_N/Q_N$  avec  $(2N+1)^2$  moments : le carré complet construit sur (2N,2N).

Mais cette methode paraît être purement numerique, et, surtout, ne permet pas d'acceder à l'approximant  $P_{N-1}/Q_N$ 

En fait, ainsi que nous le verrons ci-après (§ VI.3), cette ambiguité n'est pas génante pour le traitement des sections efficaces partielles. Le problème reste posé pour le traitement du transport à plusieurs dimensions, bien que notre optique concerne l'intégration par la mêthode de Gauss et non les approximants de PADE.

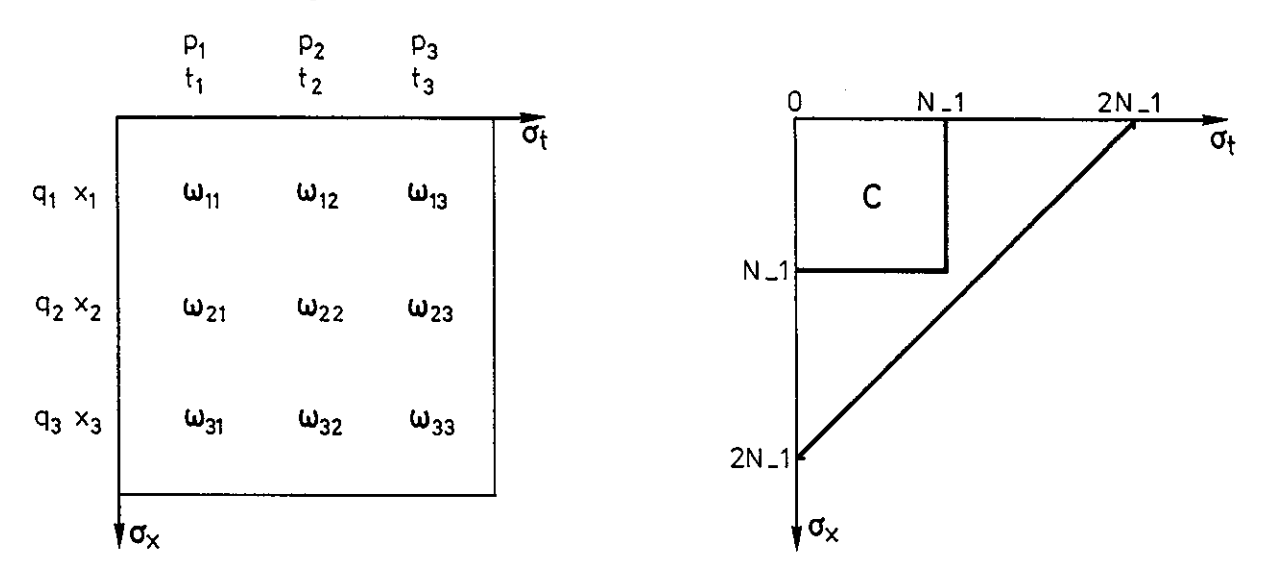
VI.2 - Les tables de probabilité de sections efficaces partielles.

La section efficace totale, qui a êté implicitement seule considérée jusqu'à présent, est la somme de plusieurs sections partielles, par exemple :

(48) 
$$\sigma_t (E) = \sigma_s (E) + \sigma_c (E) + \sigma_f (E) = \Sigma_x \sigma_x (E)$$

A une section efficace totale donnée peuvent correspondre plusieurs valeurs d'une section partielle : on peut donc vouloir associer une distribution de  $\sigma_{\rm x}$  à chaque  $\sigma_{\rm ti}$ . Pour simplifier nous ne considérons que des moments positifs : la prise en compte des moments négatifs complique encore la situation. Nous avons considéré plusieurs méthodes : aucune n'est satisfaisante. Nous rappelons brièvement deux des solutions examinées.

VI.2.1 - On associe la même séquence de  $x_j$  à chaque  $t_i$ , avec des probabilités différentes :

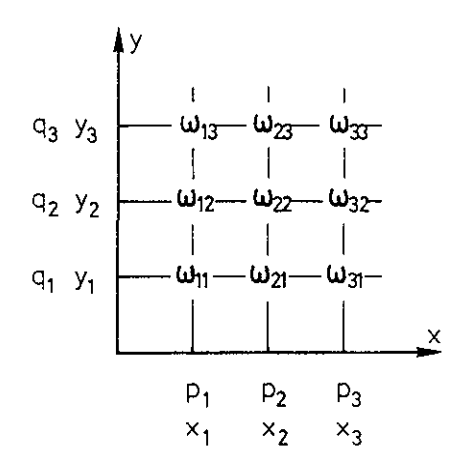


Pour définir les  $\omega_{ij}$  et les  $x_j$ , il faut  $N^2$  nouvelles informations, qui peuvent être données par les 2 N-1 moments de  $\sigma_x$  (ordre 1 à 2 N-1) et par les  $(N-1)^2$  comoments du carré C: d'où  $N^2$  données au total. Cette mêthode assure la cohérence avec la section totale (\*) de la table de sections partielles  $(q_j, x_j)$ , êtablie à partir des 2N moments de cette partielle ; mais rien ne garantit d'obtenir, quelques soient i et j :

Nous avons effectue quelques calculs avec cette methode.

<sup>(\*)</sup> Nota: Par "cohêrence des sections partielles avec la section totale", nous entendons le fait que l'équation 48 est satisfaite par les tables de probabilité,  $\sigma_{t,i} = \sum_{\mathbf{x}} \sigma_{\mathbf{x},i}$ .

VI.2.2 - On construit  $\sigma_t$  comme la somme des partielles. C'est-à-dire que l'on calcule la T.P. de chaque partielle : d'où les  $(p_i, x_i)$  et  $(q_i, y_i)$ . Les valeurs de  $\omega_{ij}$ , probabilités croisées, devront être définies par  $(N-1)^2$  équations supplémentaires provenant des comoments (moments croisées de x et y).



On est ainsi assurê de la cohêrence de chaque T.P. de partielle, le problème est symétrique, et on aura toujours  $t_{ij} = x_i + y_j$  entraînant  $x_i < t_{ij}$ . Mais on introduit  $N^2$  valeurs de  $\sigma_t$  si il y a 2 partielles,  $N^3$  si il y en a 3,... alors que  $\sigma_t$  a un rôle privilêgié en neutronique. De plus, rien ne garantit la positivité des  $\omega_{ij}$  (elle peut dépendre du choix des comoments).

VI.3 -Nécessité de l'ordre l pour les sections partielles : En fait la recherche d'une table de sections partielles "satisfaisante" est inutile. Supposons qu'elle existe : soit  $(\omega_{ij}, \sigma_{ti}, \sigma_{xj})$ , avec :

$$(50) p_{i} = \sum_{j} \omega_{i,j}.$$

Ainsi que P. Reuss nous l'a fait remarquer, une section partielle intervient toujours linéairement en neutronique, i.e. que l'on a toujours à intêgrer des expressions de la forme :

(51) 
$$\int_{\Delta E} f\left(\sigma_{t}(E)\right) \sigma_{x}(E) dE$$

intégrale approchée par

(52) 
$$\begin{cases} \sum_{i,j}^{\omega_{ij}} f(\sigma_{t_i}) \sigma_{xij} \\ = \sum_{i} f(\sigma_{t_i}) \sum_{j} \omega_{ij} \sigma_{xij} \end{cases}$$

et on peut toujours définir oxi tel que :

$$(53) p_i \sigma_{xi} = \sum_j \omega_{ij} \sigma_{x_{ij}}$$

Il suffit de définir  $\sigma_{xi}$ , la recherche d'une table de probabilité décrivant  $\sigma_x$  pour  $\sigma_t$  donné est donc un faux problème pour la neutronique.

## VI.4 - Définition d'une table de probabilité de sections partielles

Une table de probabilité de section efficace totale d'ordre N, soit  $(p_i, t_i)$  i = 1 à N

devra être complêtée, pour chaque partielle x, par N valeurs  $x_i$  définies par N équations aux moments :

(54) 
$$\underbrace{\mathcal{J}}_{\mathbf{x},\mathbf{n}} = \frac{1}{\Delta E} \int_{\Delta E} \sigma_{\mathbf{x}}(E) \sigma_{\mathbf{t}}^{\mathbf{n}}(E) dE = \sum_{\mathbf{i}} p_{\mathbf{i}} \sigma_{\mathbf{x}\mathbf{i}} \sigma_{\mathbf{t}\mathbf{i}}^{\mathbf{n}} = P_{\mathbf{x},\mathbf{n}}$$

Il faut tout d'abord définir les N valeurs de n.

### VI.5 - Cohêrence interne des tables de probabilité

La section efficace totale est la somme des partielles : il faut qu'il en soit de même pour les tables de probabilité :

$$(55) t_i = \sum_{\text{partielles}} x_i$$

Nous allons montrer que cela est automatiquement obtenu par un choix convenable des valeurs des N êquations.

Table de 2 - Nous expliciterons les calculs dans le cas d'une table de 2. Soit le système de 2 êquations (nous noterons t pour  $\sigma_{\mathbf{x}}(\mathbf{E})$ , x pour  $\sigma_{\mathbf{x}}(\mathbf{E})$ :

(56) 
$$\begin{cases} \int_{t^{m}} dE = \int_{t^{m-1}} \sum_{x \in dE} \int_{t^{n}} dE = \int_{t^{m-1}} \sum_{x \in dE} dE \end{cases}$$

90110040

Il s'exprime, en terme de tables de probabilité, par :

(57) 
$$\begin{cases} p_1 \ t_1^m + p_2 \ t_2^m = p_1 \ t_1^{m-1} \sum_{x} x_1 + p_2 \ t_2^{m-1} \sum_{x} x_2 \\ p_1 \ t_1^n + p_2 \ t_2^n = p_1 \ t_1^{n-1} \sum_{x} x_1 + p_2 \ t_2^{n-1} \sum_{x} x_2 \end{cases}$$

La seconde équation, multipliée par  $t_2^{m-n}$ , devient :

(58) 
$$p_1 \ t_1^n \ t_2^{m-n} + p_2 \ t_2^m = p_1 \ t_1^{n-1} \sum_{\mathbf{x}} \ \mathbf{x}_1 \ t_2^{m-n} + p_2 \ t_2^{m-1} \sum_{\mathbf{x}} \ \mathbf{x}_2$$

retranchée de la première, on obtient :

(59) 
$$p_1 t_1^m \left(1 - (t_1/t_2)^{n-m}\right) = p_1 t_1^{m-1} \sum_{x} x_1 \left(1 - (t_1/t_2)^{n-m}\right)$$

donc si m  $\neq$  n et si  $t_1^{\neq}$   $t_2$  - i.e. si la table n'est pas dégénérée, on a :

$$(60) t_1 = \sum_{\mathbf{x}} \mathbf{x}_1$$

A condition de prendre en compte des moments partiels d'ordre m-l et n-l si on prend en compte les moments totaux d'ordre m et n, la cohérence des sections discrétisées est implicitement assurée par le système d'équations 10 et 54.

Les choix possibles sont (avec  $\delta_n = m - n$ ) :

Moments totaux	Moments partiels possibles
pris en compte	
	$\delta_n = 1$
(-2 à 1)	$(-3 \text{ et } -2), (-2 \text{ et } -1), (-1 \text{ et } 0) \mid (-3 \text{ et } -1), (-2 \text{ et } 0) \mid (-3 \text{ et } 0)$
(-1 à 2)	(-2  et  -1), (-1  et  0), (0  et  1)   (-2  et  0), (-1  et  1)   (-2  et  1)
(0 à 3)	(-1  et  0), (0  et  1), (1  et  2) (-1 et 1), $(0  et  2)$ (-1 et 2)

Pour respecter la valeur moyenne de chaque partielle, il faut prendre en compte les moments d'ordre 0 : seules les combinaisons soulignées sont possibles.

<u>Table de 3</u>: Une table de 3 ne peut impliquer que 3 moments partiels, d'ordre 1,m,n. La même démarche conduit au système d'équations :

$$\begin{pmatrix}
p_{1} & t_{1}^{m} & \left(1-(t_{1}/t_{3})^{n-m}\right) + p_{2} & t_{2}^{m} & \left(1-(t_{2}/t_{3})^{n-m}\right) \\
&= p_{1} & t_{1}^{m-1} \sum_{x} x_{1} & \left(1-(t_{1}/t_{3})^{n-m}\right) + p_{2} & t_{2}^{m-1} \sum_{x} x_{2} & \left(1-(t_{2}/t_{3})^{n-m}\right) \\
&= p_{1} & t_{1}^{\ell} & \left(1-(t_{1}/t_{3})^{m-\ell}\right) + p_{2} & t_{2}^{\ell} & \left(1-(t_{2}+t_{3})^{m-\ell}\right) \\
&= p_{1} & t_{1} & \sum_{x} x_{1} & \left(1-(t_{1}/t_{3})^{m-\ell}\right) + p_{2} & t_{2} & \sum_{x} x_{2} & \left(1-(t_{2}/t_{3})^{m-\ell}\right) \\
&= p_{1} & t_{1} & \sum_{x} x_{1} & \left(1-(t_{1}/t_{3})^{m-\ell}\right) + p_{2} & t_{2} & \sum_{x} x_{2} & \left(1-(t_{2}/t_{3})^{m-\ell}\right)
\end{pmatrix}$$

Pour combiner ces 2 équations, nous imposerons :

$$(62) n-m = m-\ell = \delta n$$

en multipliant la seconde par  $t_2^{m-\ell}$  et en la retranchant de la première, on obtient :

(63) 
$$\begin{cases} p_1 & t_1^m \left(1 - (t_1/t_2)^{\ell-m}\right) \left(1 - (t_1/t_3)^{n-m}\right) \\ p_1 & t_1^{m-1} \sum_{x} x_1 \left(1 - (t_1/t_2)^{\ell-m}\right) \left(1 - (t_1/t_3)^{n-m}\right) \end{cases}$$

$$donc : \qquad (64) \quad t_1 = \sum_{x} x_1$$

si on associe les moments partiels  $\mathcal{I}_{\ell-1}$ ,  $\mathcal{I}_{m-1}$  et  $\mathcal{I}_{n-1}$  aux moments totaux  $\mathcal{M}_{\ell}$ ,  $\mathcal{M}_m$  et  $\mathcal{M}_n$  avec :  $\delta n = n-m = m-\ell \neq 0$  et à condition que la table ne soit pas dégênérée.

En pratique pour une table de 3 on aura les combinaisons possibles suivantes (en ne retenant que celles contenant  $\widehat{\mathscr{S}}_0$ ) :

Moments totaux pris en compte	Moments partiels possibles								
	$\delta n = 1$	$\frac{\delta n = 2}{1}$							
(-4 à 1)	(-2 à 0)	(-4,-2,0)							
(-3 à 2)	(-2 à 0),(-1 à 1)	(-4,-2,0)							
(-2 à 3)	(-2 à 0),(-1 à 1),(0 à 2)	(-2, 0,2)							
(-1 à 4)	(-1 à 1),(0 à 2)	(-2, 0,2)							
(0 à 5)	(-1 à 1),(0 à 2)	(0, 2,4)							

Généralisation à une table d'ordre quelconque. Aux 2N moments de  $\sigma_{t}$ , d'ordres consécutifs compris entre I et I + 2 N-1, comprenant obligatoirement les ordres 0 et 1 (donc 2-2N  $\leq$  I  $\leq$  0), il faut associer, pour chaque section efficace partielle x, les N moments de  $\sigma_{x}$ :

- soit d'ordres consécutifs, de J à J + N-1, comprenant obligatoirement l'ordre 0, (donc 1-N  $\leqslant$  J  $\leqslant$  0) et tels que :

$$I-1 \le J \le I+N$$

Plusieurs solutions sont possibles;

- soit d'ordres non consêcutifs, variant de 2 en 2 de J à J + 2N-2, comprenant obligatoirement l'ordre 0 (les moments  $\mathscr{S}$  seront donc pairs) et tels que J = I-1 ou I.

Une seule solution est possible.

VII - CHOIX DES TABLES DE PROBABILITE DES SECTIONS PARTIELLES - Etude de l'influence de J.

Nous considèrerons en VII.1 et en VII.2 les propriêtés des tables établies d'après des moments de partielles d'ordres consécutifs ( $\delta n=1$ ); en VII.3, nous examinerons le cas où les moments des partielles sont espacées de 2 ( $\delta n=2$ ).

VII.1 - <u>Précision</u> - Nous avons étudié l'influence de J dans les mêmes conditions que précédemment (voir  $\S$  V). Les résultats sont représentés pour T = 0 K et N = 7 par les figures 11 A, B et C.

On constate le même phênomène que prêcêdemment : à I donné, on a intérêt à prendre en compte davantage de moments nêgatifs lorsque  $\sigma_{\rm d}$  est petit, davantage de moments positifs (J voisin de O) lorsque  $\sigma_{\rm d}$  est grand.

Nous avons êtudié un autre critère :

$$E_r^2 = \epsilon_r^2$$
 (d=1) +  $\epsilon_r^2$  (d=500)

il caractérise un compromis entre faibles et fortes dilutions : les résultats sont représentés par les figures 12 A (T = 0 K) et B (T = 1500 K). Il apparaît une faible dépendance de J avec I et, globalement, que l'on a intérêt à choisir J #-N/2.

Figures 11 A, B, C : Importance des moments partiels négatifs. Cas du 238 U de 4250 à 4750 eV, résonances  $\ell$  = 0 seulement : erreur relative  $sur \sigma_s$  effectif (à gauche) et  $sur \sigma_{c,eff}$  (à droite) calculées par des tables de probabilité pour :

- 1 tempêratures : 0 K;
- 3 dilutions : 1 barn (figures A), 20 barns (figures B) et 500 barns (figures C);
- -1 ordre : N = 7;
- 4 valeurs de I, valeur inférieure des moments totaux pris en compte (I = -1, -4, -7 et -10).

L'erreur relative ( $\varepsilon_r = \sigma_{TP}/\sigma_{exact} - 1$ .) est portée en fonction de J, valeur inférieure des moments partiels pris en compte.

Pour  $\sigma_d$  = 1 et  $\sigma_d$  = 500, l'allure gênérale comporte :

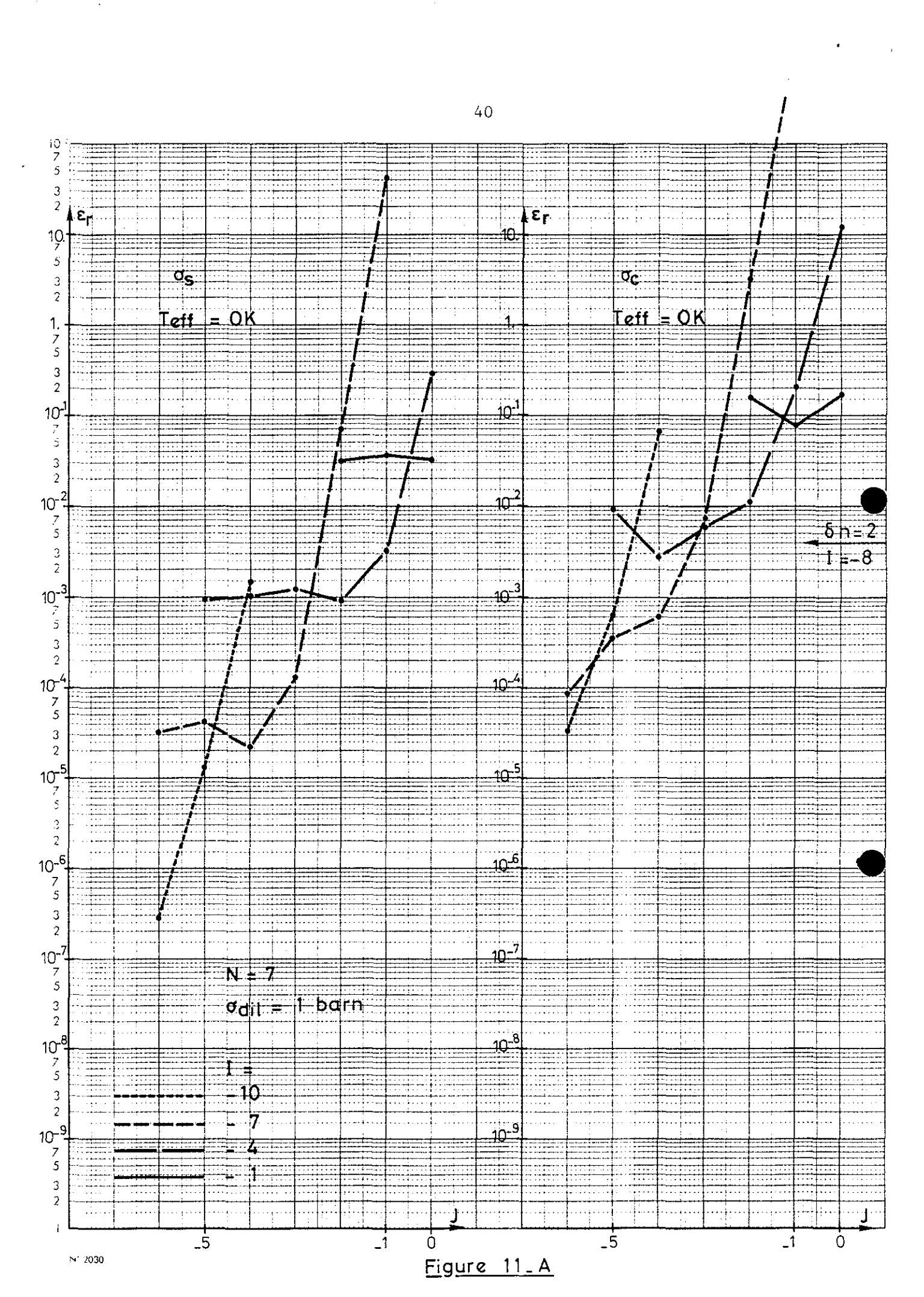
- un domaine de décroissance rapide de  $\varepsilon_{r}$  (par exemple, pour  $\sigma_{d} = 500$ , I = -4 : dêcroissance de J = -5 à J = -2).
- un domaine où  $\epsilon_{\mathbf{r}}$  est constant (même exemple :  $\epsilon_{\mathbf{r}}$  est constant de J = -2 à J = 0).

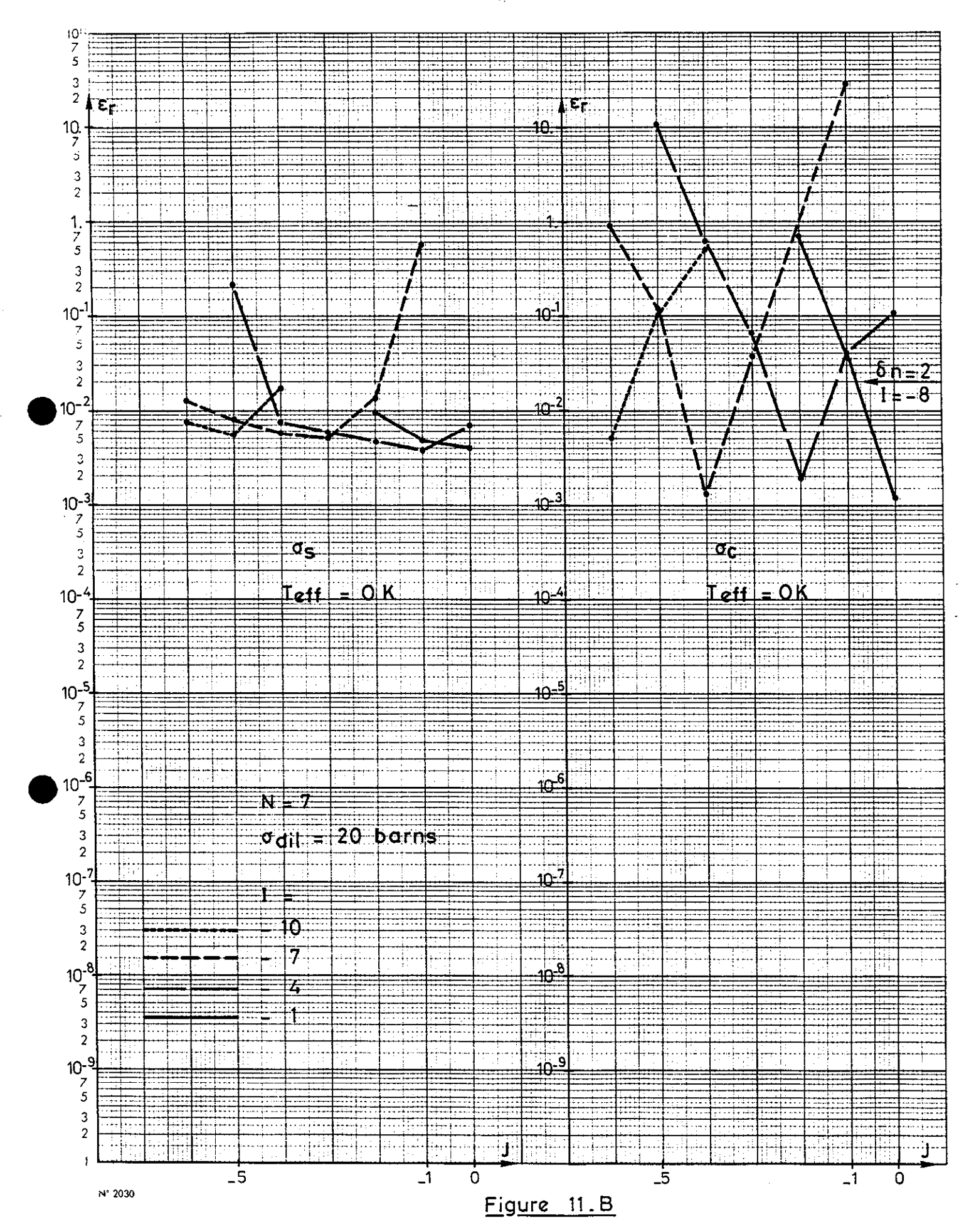
Cette "constance" est perturbée par des fluctuations non significatives : rappelons que nos résultats sont la moyenne de quatre êchantillons de résonances, d'où les barres d'erreur, portões seulement pour  $\sigma_d = 500$ , I = -4.

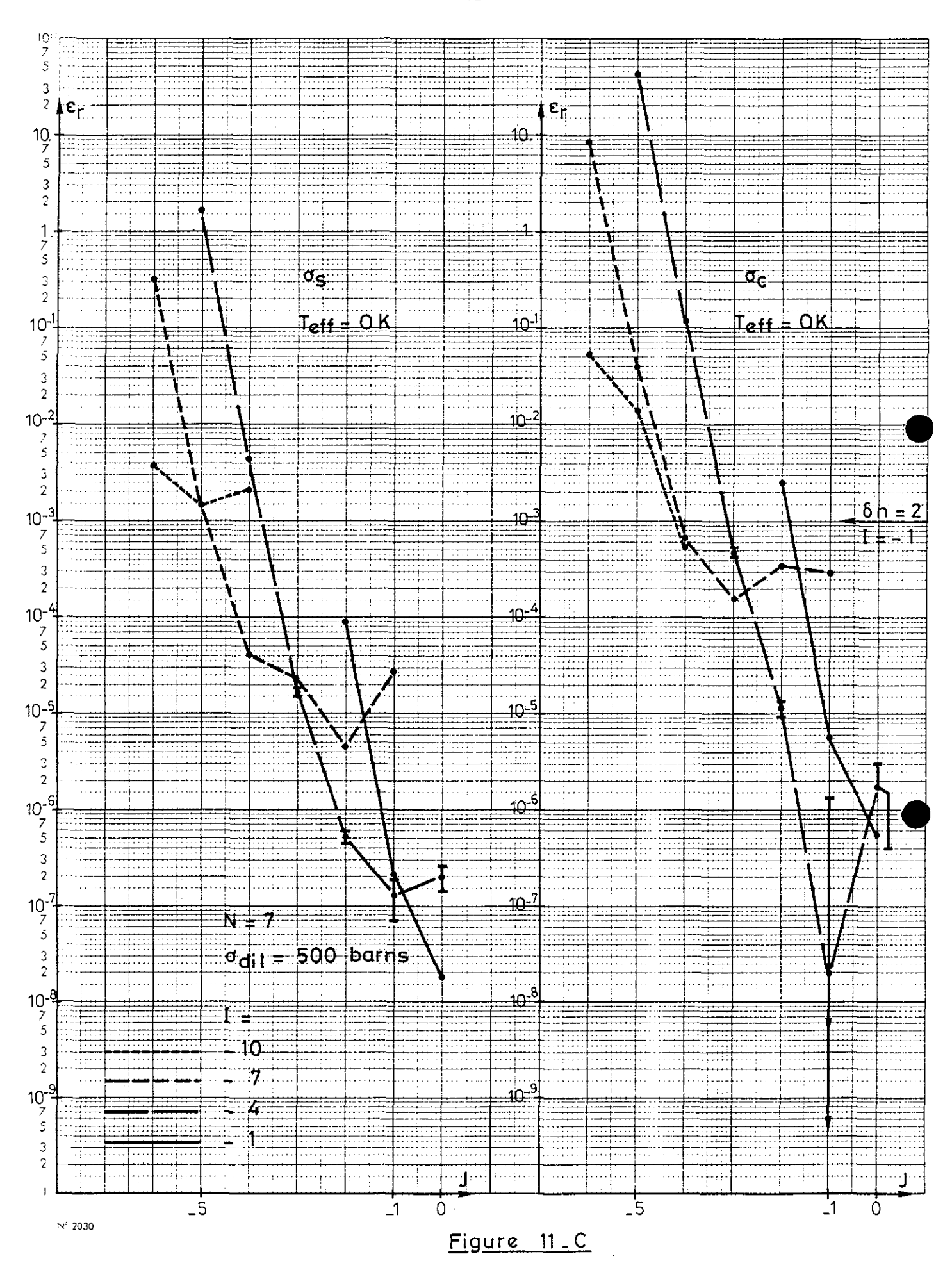
Il apparaît que le choix de J est plus important que celui de I. Pour  $\sigma_d$  = 20 barns, le meilleur choix de J est :  $J = \frac{2}{3} \; (I \; + \; I)$ 

$$J = \frac{2}{3} \left( I + 1 \right)$$

Cas des tables partielles avec  $\delta$  n=2. On a alors J(pair) = I ou I-1. Le meilleur résultat obtenu en capture est indiqué par une flèche avec la valeur de I correspondant.







Figures 12 A et B : Influence des moments partiels négatifs : choix de J. Cas du 238 U de 4250 à 4750 eV, résonances "s" seulement : la somme quadratique des erreurs pour  $\sigma_{\bf d}$  = 1 barn et pour  $\sigma_{\bf d}$  = 500 barns est portée en fonction de J, valeur initiale des moments partiels pris en compte, dans les conditions suivantes :

- 2 tempêratures (0 K : fig. 12 A ; 1500 K : fig. 12 B) ;
- -1 ordre : N = 7;
- 6 valeurs de I : I = -3 à -8 ; les courbes étant difficilement discernables à T = 1500 K, nous n'avons portê les résultats que pour 4 valeurs de I dans la figure 12 B.

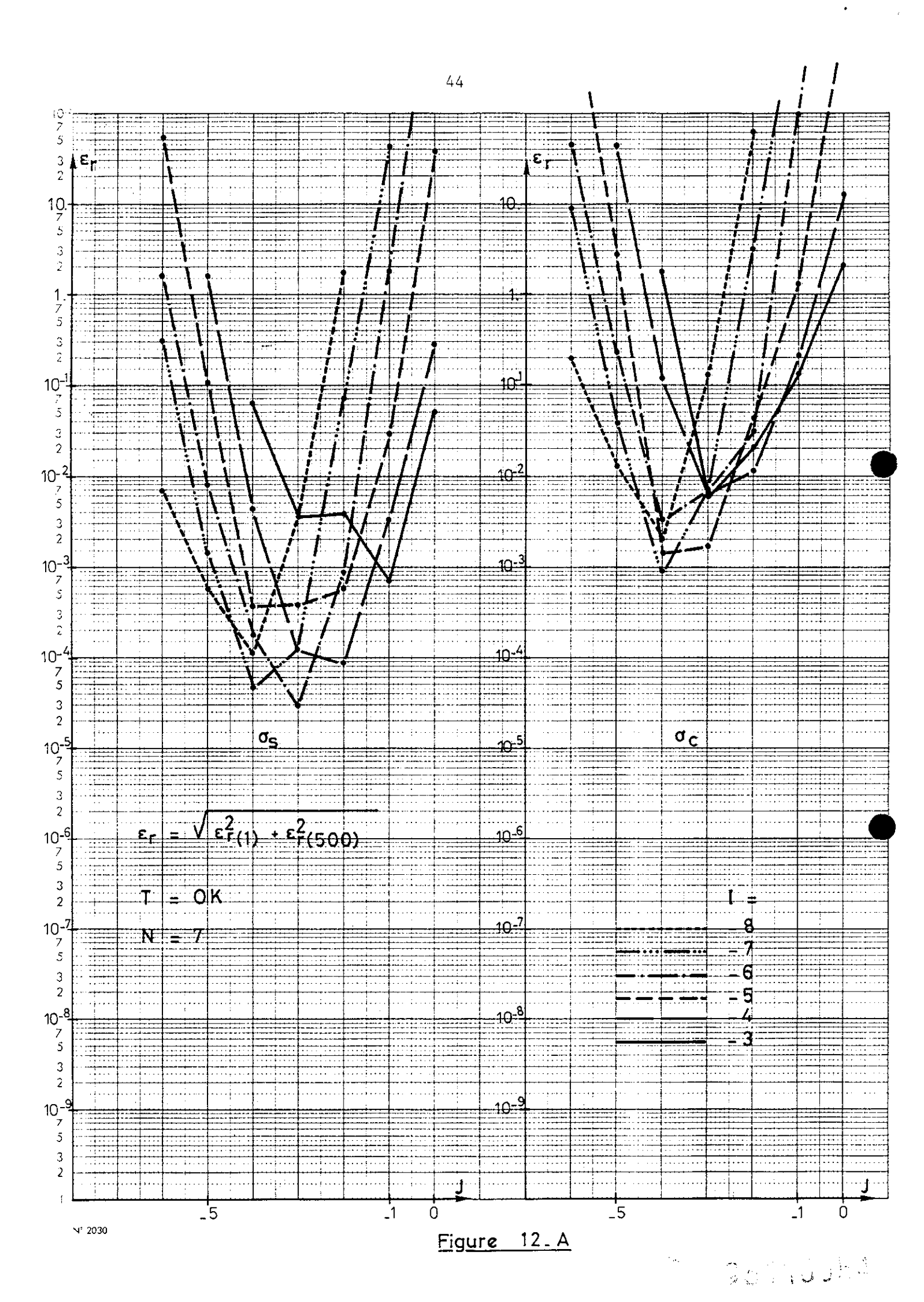
Il apparaît, d'après la figure 12 A, que l'on a intérêt à diminuer J quand I diminue : relation J # - 1 + 0,4 I.

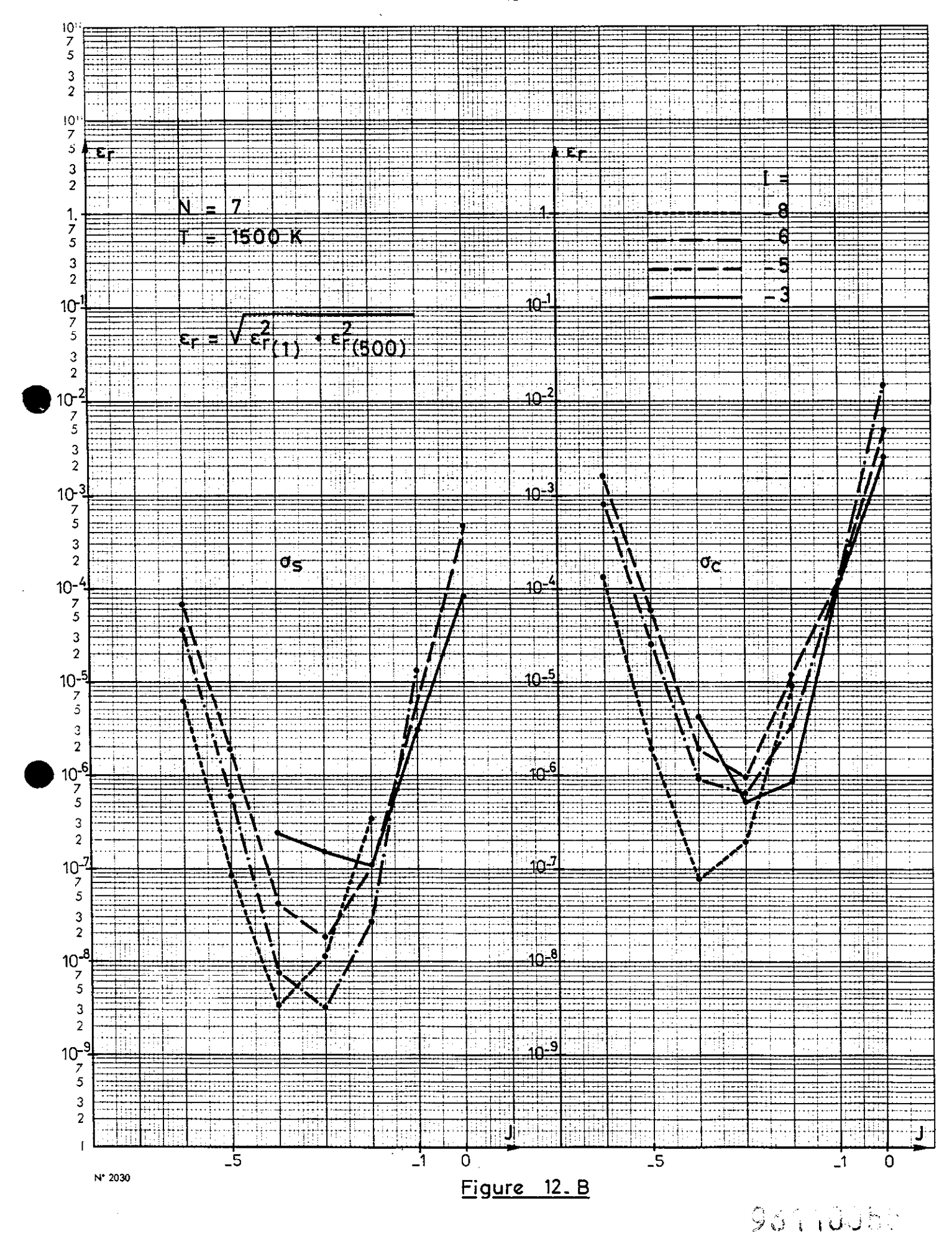
Cette dependance est plus faible à 1500 K (fig. 12 B) : relation J # -2 + 0,2 I.

Globalement, nous recommandons, pour l'établissement des tables de probabilité, le choix normal :

J = -N/2

êtant entendu que, comme pour le choix de I, l'utilisateur pourra rêduire l'ordre de la table en prenant J' plus grand ou égal à J.





VII.2 - <u>Valeurs de  $\sigma_{xi}$  négatives</u>. Rien ne garantit que les sections efficaces partielles discrètes obtenues par la résolution du système 54 sont contenues dans les supports de  $\sigma_{x}$ . En fait, on obtient souvent des valeurs de  $\sigma_{xi}$  négatives, donc en dehors du support de  $\sigma_{x}$ .

Nous avons voulu étudier la probabilité d'occurrence de ces valeurs nêgatives, et leur sens "physique"; pour cela, nous avons repris les 4 cas de calcul définis ci-dessus ( $^{238}$ U, résonances "s", 4 cas statistiquement indépendants).

Nous avons comptê le nombre de  $\sigma_{xi}$  nêgatives pour T = 0 K et pour T = 1500 k. Les résultats sont représentés dans le tableau 2 ; ils résultent de la moyenne des 4 cas étudiés : d'où des valeurs fractionnaires (0,25;0,5;0,75). Ces résultats comportent les cas non cohérents (ne satisfaisant pas la condition 55) ; on voit qu'il y a très peu de valeurs négatives sur l'axe du domaine cohérent (J # I/2), sans qu'on puisse jamais être sûr a priori qu'il n'y aura pas de valeur négative. L'examen des tableaux montre que les meilleurs sont J = -N/2 et I = 1-N ou I = 2-N ; il apparaît qu'il est toujours possible d'obtenir une T.P. avec des  $\sigma_{xi} > 0$  en variant I ou J d'une unité autour de la valeur recommandée.

Ce tableau 2 donne, pour chaque ordre (N = 2 à N = 7), le nombre moyen de valeurs négatives de  $\sigma_{xi}$  observées (soit  $\sigma_{si}$ , soit  $\sigma_{ci}$ , étant entendu que la somme des 2 est positive) en fonction de I, ordre minimum de  $\mathcal{M}_n$ , et de J, ordre minimum de  $\mathcal{M}_n$ . Les 2 lignes brisées délimitent la zone théorique des (I,J) cohêrents, assurant  $\sigma_{ti} = \sigma_{si} + \sigma_{ci}$  (voir § VI.5).

Les "0" (absence de sections efficaces partielles négatives) s'êtendent de part et d'autre de la ligne J = I/2, dans la zone "cohérente" délimitée par les lignes brisées. Les valeurs en caractères gras correspondent au choix recommandé :

$$J = (I-1)/2$$

Pour chaque ordre N nous préconisons le choix encadré:

$$\begin{cases} I = 1-N \\ J = -N/2 \end{cases}$$

701163

Tableau 2 - Nombre de sections partielles négatives obtenues pour des tables de probabilité d'ordre N en fonction de I et J.

	$T_{eff} = 0 K$	T = 1500  K
N = 2	$ \begin{array}{c ccccccccccccccccccccccccccccccccccc$	$ \begin{array}{c cccc}  & 0 & 0 & -2 \\  & 0 & 0 & -1 \\  & 0 & 0 & 0 \end{array} $ $ \begin{array}{c ccccc}  & & & & & & & & & & \\  & & & & & & & &$
N = 3	$ \begin{array}{c ccccccccccccccccccccccccccccccccccc$	$ \begin{array}{c ccccccccccccccccccccccccccccccccccc$
i	$ \begin{array}{c ccccccccccccccccccccccccccccccccccc$	$ \begin{array}{c ccccccccccccccccccccccccccccccccccc$
N = 4	<b>∧</b> I =	<b>↑</b> I =
	$1  \boxed{4}  4  4  \boxed{-6}$	$ \begin{array}{c ccccccccccccccccccccccccccccccccccc$
	0 0 4 4 -5	0.5 0.1 1 3 -5
	1 2 2 4 -4	0.7 1 0.7 1.7 -4
	1 [0] 2 2 -3	0.7 0.7 1 1 -3
	3 0 0 2 -2	1 0 0.2 1 -2
	$\begin{array}{c ccccccccccccccccccccccccccccccccccc$	1 0 0 0 -1
	4 4 1 0 0	3 0.2 0 0 0
	J = -3  -2  -1  0	J = -3  -2  -1  0
N = 5	∧ I =	. Т
N - J	0 4 4 4 4 -8	$0.5 \boxed{0.7} \ 2.2 \ 4 \ 4 \boxed{-8}$
	0 0 4 4 4 -7	0.2 0.5 1 2 4 - 7
	1 1 3 4 4 -6	0 0.2 0.2 1 2 - 6
	0.2 0 2.5 3 4 -5	0 0 0 0.2 1 - 5
	3 1 0.2 2.5 3 -4	0 0.2 0.7 0 0 - 4
	4 2 0 2 2 -3	1 0 1 1 0.7 - 3
	3 4 0 0 0.2 -2	2 1 0 1 1 - 2
	4 4 3 0 1 -1	2 0.7 0 0 0.2 - 1
	4 4 4 1 0 0	3.7 1.7 0 0 <b>0</b> 0
	J = -4 -3 -2 -1 0	J = -4 -3 -2 -1 0

N = 6		I =	1		I =
0 6 6 6	6 6	-10	0 0.2	4 5 6	6 7 - 10
0 1.5 6 6	6 6	-9	0 0	1.5 4 5	6 - 9
0 1 4 6	6 6	-8	0 0.2	0.2 2 4	4.5 - 8
1.7 0 3 4	5 6	<b>-</b> 7	0 <b>0</b>	0.5 0.2 2	4 - 7
2.7 1 <b>0</b> 3	4 4	<del>-</del> 6	0 0	0.2 0.5 0.5	2 - 6
4 0 0 0.5	3 4	<b>-</b> 5	0 0	0 0.2	1 - 5
3 4 0 0	1.7 2	-4	1 0	0 <b>0</b> 0	0.2 - 4
5 5 2 <b>0</b>	2 1.7	<b>-</b> 3	3 1	0 0.2 0.7	0.5 - 3
6 5 5 0	<b>0</b> 1.5	-2	4 2.7	0.7 0.2 1	1 - 2
6 6 5 5	<b>0</b> 0.7	-1	4 4	2 0 0.2	1 - 1
6 6 6 6	1.2 0	0	5 4	3.7 0 0	0
J= -5 -4 -3 -2	-1 0	' J =	-5 -4	-3 -2 -1	0

N = 7						I =	•						,	I =
0 6	6	6	6	6	6	-12	. 0	0	2.2	4.5	6	6	6	-12
0 2.	7 6	, 6	6	6	6	-11	. 0	0	0.2	3.2	4	5.7	6	-11
0 0.	<b>5</b> 5	6	6	6	6	-10	0	0	0	1	3.7	4	4.7	-10
1.7 <b>0</b>	3	5	6	6	6	-9	0	0	0	0.5	1.7	4	4	-9
1 0	0	4	5	5	6	-8	0	0	0	0.2	0.5	2	4	-8
4 1	0	0.5	4	5	5	-7	1	0	0.2	0.2	0.7	1	2	<b>-</b> 7
3.5 3	1	[0]	2.5	3	5	-6	1.7	0	0	Γ <sub>0</sub>	0.5	0.7	1	-6
_4_4_	2 0	0	1	2.5	3.5	<b>-</b> 5	1.5	1	0	0	0.2	0.5	1	-5
5.5 4	5	0	0	1.2	2.2	-4	2	1	0	0	0	0	0.5	-4
6 5	5	3.2	0	1.5	1.7	<del>-</del> 3	4	2.5	0.5	0	0	0	0	-3 .
6 6	5	6	0	0	2	-2	4	4	2.2	0.5	0	0.5	0.7	-2
6 6	6	5	4	0	0	-1	4	4	4	1.2	0.2	0.7	1	-1
6 6	6	6	6	1.5	0	0	5.5	4	4	4	1	0	0.5	0
J = -6 -5	-4	-3	-2	-1	0	ļ	J = -6	<b>-</b> 5	-4	-3	-2	-1	0	

Mais il ne suffit pas de compter le <u>nombre</u> de valeurs négatives : il faut les examiner. Les tableaux 3 représentent des exemples de tables d'ordre 4 construites autour de celle que nous recommandons : I=3, J=-2. Pour celle-ci la première valeur de  $\sigma_{ci}$  est négative, de très peu :  $\sigma_{cl}=-0,02$  barns. Il s'agit là d'un résultat général : au voisinage du fond de la vallée J=(I-1)/2 les valeurs négatives relevées :

- concernent toujours  $\sigma_{\mathbf{c}}$  (pour notre noyau test),
- sont toujours très voisines de 0,
- concernent presque toujours la lère valeur de  $\sigma_c$  (correspondant à la plus faible valeur de  $\sigma_{ti}$ ), parfois la 2ème (lorsque I < N).

Tableau 3-A - Table de probabilité pour N = 4 à T = 1500 K avec I = -3 constant ( $\ell$  = 0 seulement)

p	σ <sub>t</sub>	$J = -3$ $\sigma_{s} \mid \sigma_{c}$		-l σ <sub>s</sub>   σ <sub>c</sub>	ο σ <sub>s</sub>   σ <sub>c</sub>
0,137	89,03 38,34 13,40 8,28	89,61 -0,58 35,03 3,31 12,95 0,45 8,24 0,03	86,57   2,46 35,63   2,71 12,88   0,52 8,29   -0,02	86,03   3,01 35,88   2,46 12,80   0,59 8,39   -0,11	85,98   3,06   35,93   2,41   12,76   0,64   8,48   -0,21

Les tableaux 3 montrent comment varient les tables autour du choix recommandé. Dans ce cas on constate que si on veut rejeter le choix (N=4, I=-3, J=-2) parcequ'il contient une valeur légèrement négative ( $\sigma_{c,1}$ =-0.02), on peut accepter la table (N=4, I=-2, J=-2) qui ne contient pas de valeur négative mais donnera une plus faible précision dans les calculs.

Tableau 3-B - Table de probabilité pour N = 4 à T = 1500 K avec J = -2 constant

	р	t	s	l c
I = -6	0,087	57,05	59,42	2,79
	0,306	18,89	13,87	1,35
	0,566	10,50	11,99	0,12
	0,041	6,68	0,90	0,14
I = -5	0,050	69,74	66,81	2,93
	0,239	24,19	22,39	1,79
]	0,644	11,16	10,93	0,23
	0,067	7,02	7,03	-0,01
I = -4	0,029	80,74	77,79	2,96
	0,185	30,87	28,67	2,20
	0,666	11,99	11,63	0,36
	0,120	7,53	7,61	-0,08
I = -3	0,018	89,03	86,57	2,46
	0,137	38,34	35,63	2,71
	0,609	13,40	12,88	0,52
	0,237	8,28	8,29	-0,02
I = -2	0,012	94,82	93,02	1,80
	0,096	46,13	42,95	3,18
	0,459	16,13	15,34	0,79
	0,433	9,18	9,11	0,08
I = -1	0,009	98,64	95,31	3,32
1	0,065	53,72	50,94	2,77
	0,306	20,77	19,38	1,39
	0,620	10,04	9,89	0,15
I = -0	0,007	100,98	16,94	10,12
	0,045	60,39	88,25	-0,0005
. 1	0,207	26,58	19,60	2,46
]	0,741	10,83	10,93	0,19

Les cas I = -6 et I = 0 sont à rejeter a priori car ils ne satisfont pas les conditions de cohêrence ( $^{\circ}$ ti =  $^{\circ}$ si +  $^{\circ}$ ci).

<u>Conclusion</u> - Les systèmes d'équations 11 et 54 nous amènent donc à définir des tables de probabilité :

$$[p_i, \sigma_{ti}, (\sigma_{xi})]_{N,I,J}, i = 1 a N$$

avec :

(65) 
$$\begin{cases} 1-2N \le I \le 0 & \text{(option normale : } I = 1-N) \\ MAX(1-N,I-1) \le J \le 0 & \text{(option normale : } J = -N/2) \end{cases}$$

Ces choix assurent des valeurs "physiques" pour  $p_i$  et  $\sigma_{ti}$ , et garantissent la cohêrence des sections partielles ( $\sigma_{ti} = \Sigma_x \sigma_{xi}$ ); ils n'assurent pas toujours une valeur "physique" des  $\sigma_{xi}$  ( une ou plusieurs de ces valeurs peuvent être en dehors du support de  $\sigma_x$ , l'option "normale" assurant le meilleur choix). Il est possible :

- soit de faire les calculs avec ces valeurs "non physiques" (êventuellement négatives) de ces  $\sigma_{\rm xi}$ ; cela est choquant du point de vue physique, mais n'affectera pas la précision des calculs, au contraire.
- soit de chercher des valeurs de I', J' voisines de I, J qui donneront une table physique. D'après notre expêrience, cela paraît être gênéralement possible (nous ne possèdons pas de contre-exemple).

VII.3 - Cas des tables  $\delta$  n=2 - Rappelons que J est alors imposé: pair, êgal à I ou à I-1.

<u>Prêcision</u> - Les meilleurs résultats pour la capture, à 0 K avec N=7, sont portés sur les figures 11. Ils sont moins bons d'un facteur 10 à 1000 que ceux que 1'on peut obtenir avec les tables  $\delta$  n=1.

Valeurs negatives de  $\sigma_{xi}$  - Le nombre moyen de valeurs negatives de  $\sigma_{xi}$  est donne par le tableau 4, pour N=7, T=0 K. Ces resultats sont à comparer à la diagonale J = (I-1)/2 du tableau 2 correspondant : ils sont plutôt plus mauvais.

Tableau 4 - Nombre de sections partielles négative pour une table  $\delta \; n{=}2 \;, \; N{=}7 \;, \; T{=}0 \;\; K$ 

I	-12		-11		-10	1	-9	1	-8	l	-7	-6		<b>-</b> 5	I	-4	-3	1	-2	-1		0
nombre	1		. 1	1	0	1	0	1	0	ĺ	0.7	0		0	1	0.2	0		0.7	1	.	1
				1						l			l	•		1			1		1	

Conclusion - Le choix  $\delta n=2$ , théoriquement possible, ne semble présenter aucun avantage sur le choix plus traditionnel  $\delta$  n=1, que nous retiendrons.

# VIII - LES TABLES DE PROBABILITE : DONNEES FONDAMENTALES OU METHODE PHENOMENOLOGIQUE D'INTERPOLATION ?

Nous proposons donc d'établir les tables de probabilité à partir des moments des distributions des sections efficaces. Ces tables sont donc indépendantes de l'utilisation que l'on veut en faire, et décrivent aussi fidèlement que l'on veut les fluctuations des sections efficaces.

Au contraire, les Soviétiques avaient proposé d'établir ces tables à partir des résultats décrivant  $\sigma_{\mathbf{x},\mathrm{eff}}$  (d), d étant la dilution ; c'est la méthode utilisée actuellement dans plusieurs laboratoires [Go 71, Kh 72]. Ces tables peuvent être établies, par exemple, par moindres carrês. En pratique, elles constituent une méthode performante d'interpolation, basée sur le modèle de l'intégration par la méthode de GAUSS-JACOBI. Mais <u>les paramètres ne sont plus une donnée fondamentale</u> : ils sont ajustés pour décrire au mieux  $\sigma_{\mathrm{eff}}$ , et dépendent de la méthode de calcul de  $\sigma_{\mathrm{eff}}$  (en particulier, ils tiennent compte du ralentissement si  $\sigma_{\mathrm{eff}}$  est calculé avec prise en compte du ralentissement).

Nous avons comparê ces deux mêthodes, appliquées à un cas statistique du 238 U à 300 K entre 4400 et 4600 eV, avec les paramètres moyens suivants (ENDF-B-4).

$$\frac{A}{D_{(J=0,5)}} = 19.98 \text{ eV}$$
 $S_0 = 1,05 \cdot 10^{-4}$ 
 $\Gamma_{\gamma} = 0.0235 \text{ eV (constant)}$ 
 $\frac{R}{D_{(J=1.5)}} = 9.184 \text{ fm}$ 
 $\overline{D_{(J=1.5)}} = 10.9719 \text{ eV}$ 
 $S_1 = 1.5852 \cdot 10^{-4}$ 

Les sections effectives ont êtê calculées pour 41 dilutions "d" rêgulièrement distribuées de d = 1 barn à d = 10 000 barns, et pour d(42) =  $10^7$  barns. Les moindres carrés ont été effectués en minimisant les erreurs relatives  $\delta$  [Ag 85] :

(66) 
$$\delta = \left( \frac{\sigma_{x,eff} \text{ (calcul@ par T.P.)}}{\sigma_{x,eff} \text{ (exact)}} - 1 \right)$$

<u>Prêcision</u> - Le critère d'accord entre  $\sigma_{x,eff}$  calculé directement pour chaque dilution (valeur qualifiée de "exacte") et la valeur calculée avec une T.P. est l'erreur quadratique moyenne sur les 42 points :

(67) 
$$\varepsilon = \sqrt{\frac{42}{\sum_{\Sigma} \delta^2}}$$

Les figures 13 représentent  $\epsilon$  en fonction de l'ordre de la table pour la diffusion et la capture.

On constate que la prêcision est <u>meilleure</u> avec les tables de probabilité établies par moindres carrês sur  $\sigma_{x,eff}$  (d) : pour une prêcision donnée, on aura besoin d'un ordre plus faible d'environ l'unité par cette mêthode.

Ce résultat est <u>normal</u> : les paramètres de la table (moindres carrês) sont calculés pour décrire au mieux  $\sigma_{x,eff}$  (d), et rien d'autre.

Comparaison des tables - Le tableau 5 représente les tables de probabilité calculées par ces deux méthodes. Les tables (moments) et les tables (moindres carrés sur  $\sigma_{x,eff}$  (d)) présentent le même comportement général. Il paraît difficile de dêceler une différence systématique significative ; tout au plus peut-on remarquer que les valeurs des  $\sigma_i$  sont plus étalées dans le cas des tables (moments).

Conclusion - Si les tables de probabilité ne sont utilisées que pour effectuer le calcul par interpolation de  $\sigma_{x,eff}$  (d), la seconde mêthode (moindres carrês sur  $\sigma_{x,eff}$  (dj)) est prêférable. Mais une telle table ne peut être utilisée pour d'autres calculs: le calcul des mêlanges par composition des moments, par exemple, n'est pas possible.

Les tables de probabilité (moments) sont plus générales, permettent le calcul des mélanges et ouvrent la voie à la méthode des sous-groupes en neutronique [Bo 85, Ri 86].

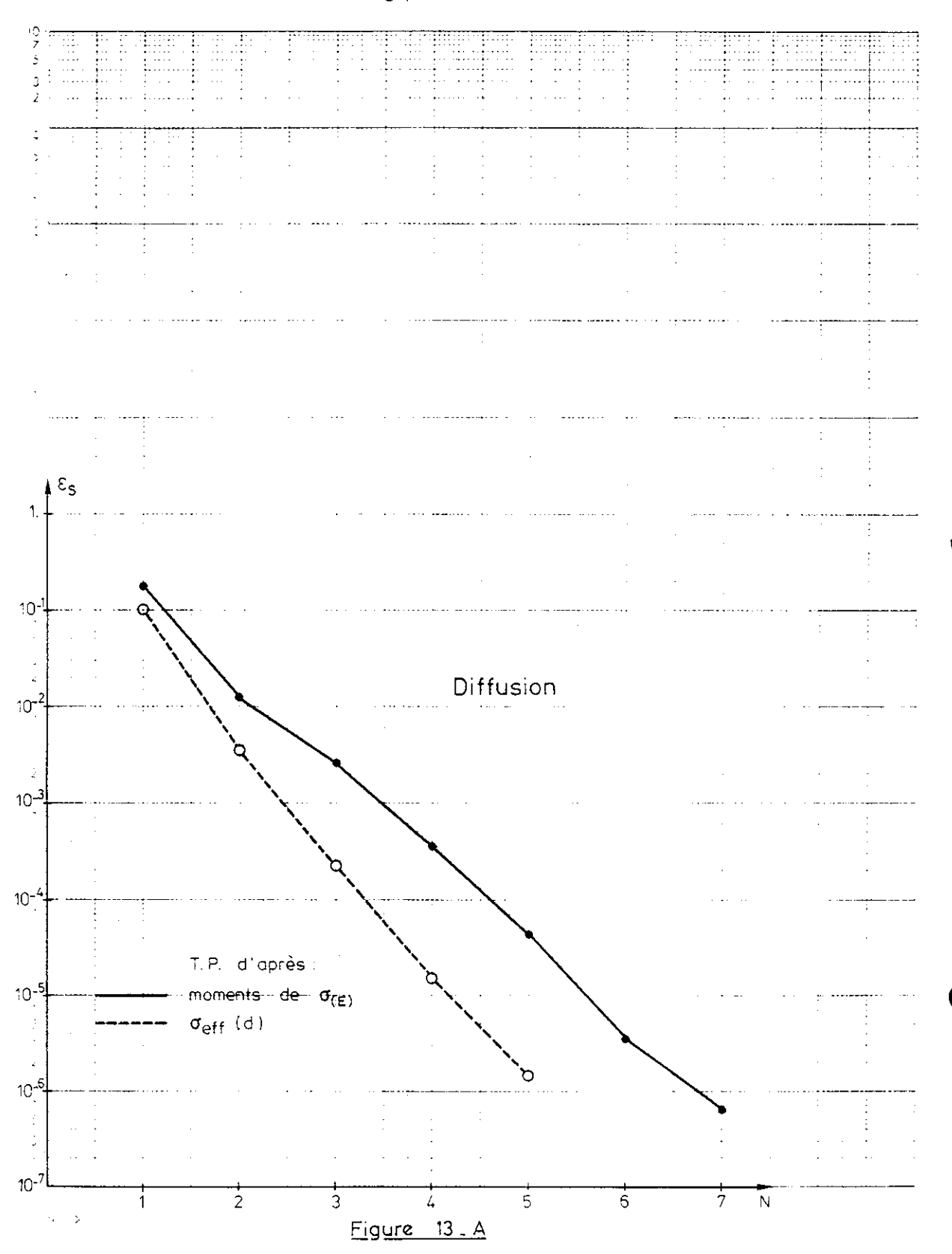


Figure 13 A et B : Valeur de l'erreur relative quadratique moyenne pour la diffusion (A) et la capture (B). Les résultats obtenus avec les T.P. établies par les moments sont en traits pleins, ceux avec les T.P. établies par moindres carrês sur  $\sigma_{\mathbf{x}, \mathbf{eff}}$  (d) sont en tirets.

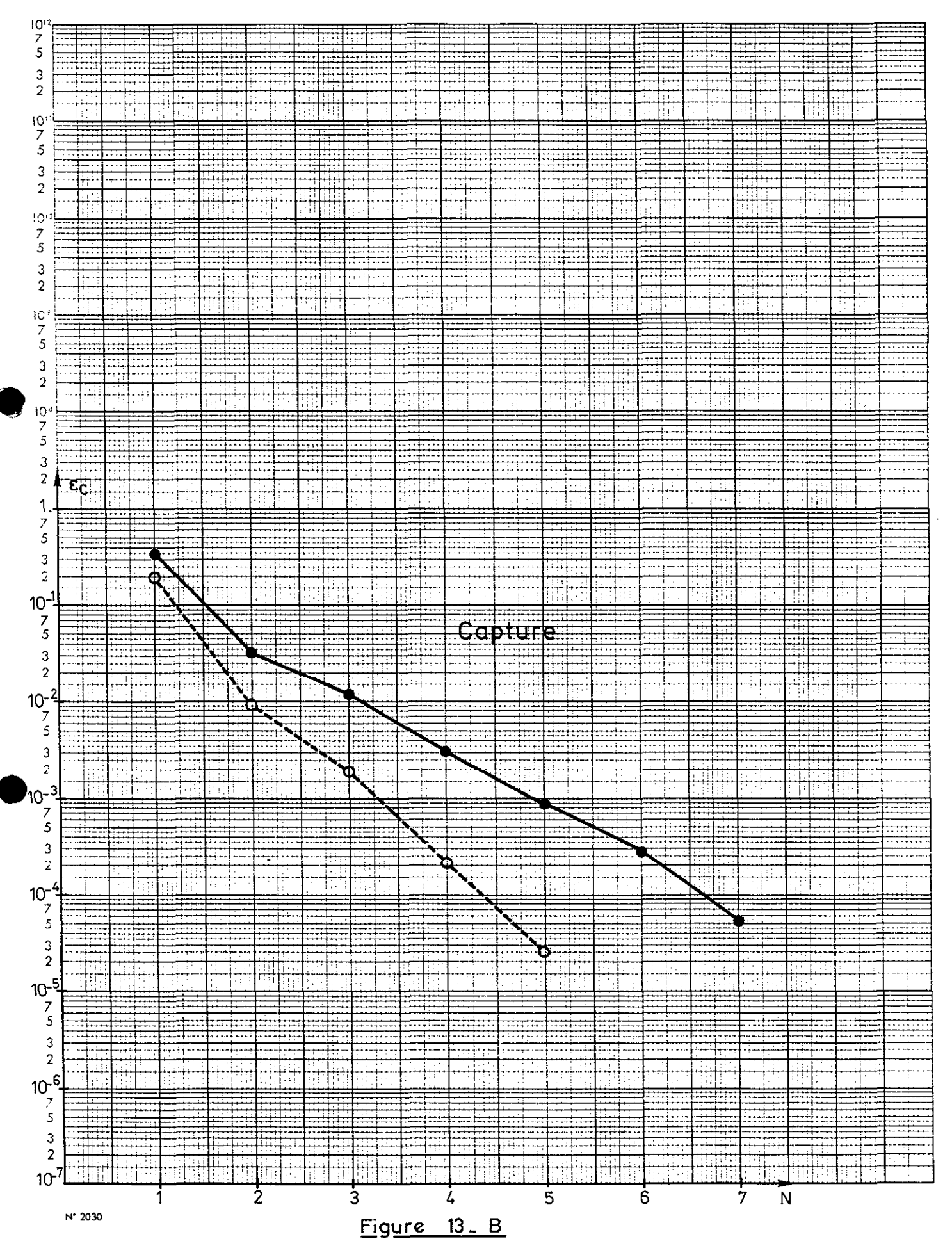


Tableau 5 Comparaison des T.P. établies par la méthode des moments et par ajustement sur 42 valeurs de  $\sigma_{\rm x,eff}$  (dilution)

Ordre de la table			l'après nents				d'après	
	Pi	ti 	si	ci	pį	ti 	si	ci
1	1.000	   16.67 	   15.58 	1.089	1.000	14.3	   13.5 	0.836
2	0.095	70.3	63.9   10.51	0.530	0.122	'	52.2 10.42	5.17 0.525
3	0.036 0.408 0.556	19.64	1	7.92 1.634 .248	0.049 0.367 0.584	89.4   18.72   9.26		7.48 1.516 0.286
4	0.017 0.101 0.809 0.072	11.84	40.2	7.56 4.83 .573 .087	0.024 0.103 0.754 0.118	39.4	35.1 11.49 6.45	7.46 4.31 0.599 0.099
5	0.011 0.050 0.212 0.705 0.021	132.1 66.2 21.11 10.41 4.56	10.03	8.18 6.03 2.02 .374 .267	0.015 0.056 0.175 0.719 0.035	125.3 58.3 21.07 10.72 5.10	117.5 52.7 19.02 10.32 4.87	7.88 5.62 2.05 0.405 0.226

#### IX - COMPOSITIONS DES SECTIONS EFFICACES

Un des problèmes posés par le concept de "section effective" est le fait que celle-ci concerne pratiquement toujours un mêlange : il faudrait, en toute rigueur, calculer la section efficace du mêlange point par point, puis calculer la section effective pour la dilution et la section êquivalente voulues ; et ce pour chaque mêlange. Cela n'est pratiquement jamais fait, des mêthodes approchées sont utilisées.

La composition des moments permet un calcul très facile des propriêtés d'un mélange, tout au moins lorsque la table de probabilité ne dêcrit que des moments positifs.

IX.1 - <u>Cas des moments positifs</u> - Nous ne considérons que les mélanges binaires, les résultats pouvant se généraliser très facilement (en pratique, nous proposons de traiter le mélange par récurrence, i.e. de considérer le mélange des n premiers noyaux et du (n+1)ème comme un mélange binaire).

Soit donc un mêlange constitué de noyaux 1 (proportion isotopique  $\alpha$  ) et de noyaux 2 (proportion isotopique  $\beta$  ). Le mêlange est :

(68) 
$$\begin{cases} t = \alpha t_1 + \beta t_2 \\ p = \alpha p_1 + \beta p_2 \end{cases}$$

Les moments seront donnés par :

$$(69) \begin{cases} \int_{n}^{n} \int_{\Delta E}^{n} \frac{dE}{\Delta E} &= \int_{\alpha}^{n} (\alpha t_{1} + \beta t_{2})^{n} \frac{dE}{\Delta E} \\ &= \sum_{i=0}^{n} c_{n}^{i} \alpha^{i} \beta^{n-i} \int_{t_{1}^{i}}^{t_{1}} t_{2}^{n-i} \frac{dE}{\Delta E} \\ &= \sum_{i=0}^{n} c_{n}^{i} \alpha^{i} \beta^{n-i} \langle t_{1}^{i} t_{2}^{n-i} \rangle \end{cases}$$

Dans l'hypothèse statistique dans laquelle nous nous sommes places :

(70) 
$$\mathcal{M}_{n} = \sum_{i=0}^{n} c_{n}^{i} \alpha^{i} \beta^{n-i} \langle t_{1}^{i} \rangle \langle t_{2}^{n-i} \rangle$$

On obtient de même, pour chaque section partielle :

$$(71) \begin{cases} \int_{m}^{m} = \int_{n}^{\infty} p t^{m} \frac{dE}{\Delta E} = \int_{n}^{\infty} (\alpha p_{1} + \beta p_{2}) (\alpha t_{1} + \beta t_{2})^{m} \frac{dE}{\Delta E} \end{cases}$$

$$= \sum_{i=0}^{n} c_{n}^{i} \alpha^{i} \beta^{m-i} \left( \langle p_{1} t_{1}^{i} t_{2}^{m-i} \rangle + \langle t_{1}^{i} p_{2} t_{2}^{m-i} \rangle \right)$$

$$= \sum_{i=0}^{n} c_{n}^{i} \alpha^{i} \beta^{m-i} \left( \alpha^{i+1} \beta^{m-i} \mathcal{J}_{1,i} \mathcal{J}_{2,m-i} + \alpha^{i} \beta^{m-i+1} \mathcal{J}_{1,i} \mathcal{J}_{2,m} \right)$$

$$(72) \qquad \mathcal{J}_{m}^{m} = \sum_{i=0}^{n} c_{n}^{i} \left( \alpha^{i+1} \beta^{m-i} \mathcal{J}_{1,i} \mathcal{J}_{2,m-i} + \alpha^{i} \beta^{m-i+1} \mathcal{J}_{1,i} \mathcal{J}_{2,m} \right)$$

(72) 
$$\mathcal{J}_{\underline{m}} = \sum_{i=0}^{n} c_{n}^{i} \left( \alpha^{i+1} \beta^{m-i} \mathcal{J}_{1,i} \mathcal{J}_{2,m-i} + \alpha^{i} \beta^{m-i+1} \mathcal{J}_{1,i} \mathcal{J}_{2,m} \right)$$

IX.2 - Cas des moments négatifs - On ne peut évidemment pas pratiquer la même algèbre sur les moments négatifs. Deux méthodes sont possibles :

- calculer les moments négatifs du mélange en appliquant une quadrature de Gauss:

(73) 
$$\begin{cases} \int t_{1}^{m}(E) t_{2}^{n}(E) \frac{dE}{\Delta E} = \sum_{i,j} p_{1,j} t_{1,i}^{m} p_{2,j} t_{2,j}^{m} \\ \int x_{1}(E) t_{1}^{m}(E) t_{2}^{m}(E) \frac{dE}{\Delta E} = \sum_{i,j} p_{1,i} x_{1,i} t_{1,i}^{m} p_{2,j} t_{2,j}^{n} \end{cases}$$

valable quels que soient m et n, positifs ou négatifs ;

- en composant les moments positifs des tables de probabilité. Ces tables, bien qu'établies à partir de moments négatifs de  $\sigma_{\rm t}({\rm E})$ , sont décrites par la suite des moments positifs - cette suite êtant, à partir d'un certain ordre, différente de la suite des moments positifs vrais (cette différence contient l'information sur les moments négatifs). La composition des moments positifs d'une table de probabilité établie à partir de moments négatifs devrait donc implicitement traiter cette information sur les moments nêgatifs.

Ces deux methodes sont strictement équivalentes pour les moments positifs. Nous devons vérifier leurs qualités pour la composition des moments negatifs.

# IX.3 - Conditions de la vêrification numérique de la composition des moments

Si on gënère alëatoirement une section efficace  $t_1(E)$  (et les partielles correspondantes), et, indëpendamment, une section efficace  $t_2(E)$ , on peut calculer les sections efficaces de leur mélange en fonction de l'énergie, par exemple:

(74) 
$$\begin{cases} t(E) = \frac{1}{2} (t_1(E) + t_2(E)) \\ x(E) = \frac{1}{2} (x_1(E) + x_2(E)) \end{cases}$$

puis les sections effectives correspondantes.

On peut aussi calculer les tables de probabilité  $T_1$  et  $T_2$  de chacun de ces 2 noyaux, composer ces tables et calculer les sections effectives.

Les résultats seront <u>toujours différents</u>, car le mêlange défini par les formules 74 constituent un cas particulier de mêlange, alors que la combinaison des tables  $T_1$  et  $T_2$  constitue une moyenne statistique sur toutes les sections  $t_1(E)$  et  $x_1(E)$ ,  $t_2(E)$  et  $x_2(E)$  décrites par les moments de  $T_1$  et  $T_2$ .

Nous avons effectue des calculs sur un cas type (en fait le 238 U):

$$\begin{cases} \text{resonances "s" seulement : D} = 22 \text{ eV} \\ \text{So} = 1,05 \text{ } 10^{-4} & \Gamma_{\gamma} = 0.0229 \text{ eV} \\ \text{R}_{p} = 9,184 \text{ fm} & T_{\text{eff}} = 300 \text{ K} \\ \text{1 zone statistique de } 4250 \text{ à } 4750 \text{ eV} \end{cases}$$

L'es paramètres étaient gênérés par une méthode régularisée (Ri 85, Ri 86a), diminuant fortement les fluctuations. Nous avons traité 32 cas (les mêmes caractéristiques moyennes sont prises pour les noyaux 1 et 2).

La figure 14 reprêsente la dispersion du rapport :

pour une dilution de 20 barns ; la valeur moyenne de R, dêterminée d'après les 32 cas étudiés est :

$$R = 0.99816 + 0.00202$$
 (ecart type)

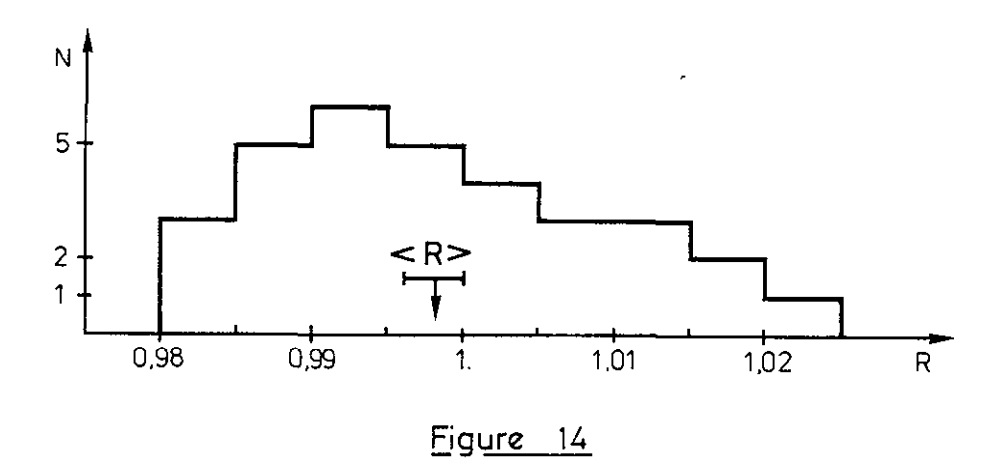


Figure 14 - Etude du mêlange de 2 noyaux en proportions êgales. Distribution de R, rapport de la section effective de capture calculée par composition des moments, à celle calculée directement à partir de  $\sigma(E)$  du mêlange pour une dilution de 20 barns. Les tables de probabilité utilisées pour ce calcul sont êtablies sur les moments positifs, et leur composition ne pose pas de problème de principe ; la précision relative sur  $\sigma_{c,eff}$  (composition des moments) est d'environ  $10^{-5}$ . La statistiques porte sur 32 cas, N est le nombre de valeurs de R par intervalle de 0.005 unité. L'êcart type de la distribution de R est  $\varepsilon = 0.0114$ .

Il n'apparaît donc pas d'écart significatif; mais, pour pouvoir garantir que cet écart est inférieur à  $10^{-3}$ , il faudrait une précision statistique de l'ordre de 1/3  $10^{-3}$ , c'est à dire 6 fois meilleure que celle que nous obtenons : il faudrait donc traiter plus de 1000 cas de mélanges aléatoires.

On ne peut donc juger de la qualité des résultats obtenus par composition des tables de probabilité en se référant aux calculs directs du mêlange (formule 74), d'autant plus que nous voulons juger de cette qualité avec des prêcisions allant jusqu'à  $10^{-5}$ . Nous avons donc êté amené :

- à prendre comme rêférence les résultats obtenus à un ordre élevê (ordre 9), éventuellement extrapolê;
- des désaccords apparaissant sur ces références, nous avons d'abord étudié un modèle théorique analytique.

Remarques 1) On aurait pu vouloir effectuer les calculs à des ordres encore plus êlevés afin de mieux définir la "référence"; mais des difficultés numériques apparaissent déjà, dans certains cas, à l'ordre 9 (par exemple la composition des moments positifs à l'ordre 9 implique le calcul de moments d'ordre 17).

- 2) La détermination de la table de probabilité résultant de la composition de 2 (ou plus) tables de probabilité élémentaires implique la définition de 3 ordres:
- l'ordre NE des tables de probabilité êlémentaires. Cet ordre peut être diffèrent d'une table à une autre : soit NE1, NE2, ...; pour simplifier nous prendrons toujours NE1 = NE2 = NE;
- l'ordre NC de composition : par exemple on compose les moments positifs jusqu'au moment d'ordre : 2 \* NC 1;
- l'ordre NM de la table du mêlange : l'ordre NC de la table calculêe avec 2 \* NC moments peut être rêduit à une valeur NM<NC sans trop perdre en prêcision parce que les fluctuations du mêlange sont plus faibles que celles du noyau êlêmentaire.

Par exemple, si les noyaux êlêmentaires sont dêfinis par des tables d'ordre NE = 5, la composition de leurs moments positifs peut être effectuée jusqu'à l'ordre NC = 7, d'où une table d'ordre 7 dêfinie sur ces moments positifs. Cette table définit aussi des moments négatifs, et on peut, sur l'ensemble des moments négatifs et positifs, définir une table d'ordre rêduit NM = 3 ou 4 qui décrira correctement le mêlange.

La distinction entre NC et NM n'existe pas lorsque l'on ne traite que des moments positifs, ou lorsque l'on calcule les moments nêgatifs par une quadrature de Gauss.

## IX.4 - Modèle analytique - Ce modèle doit permettre :

- le calcul des moments ;
- le calcul de la convolution des distributions de probabilitê des sections efficaces de chaque noyau;
- le calcul des sections effectives.

Nous avons supposé que, pour chacun des 2 noyaux élêmentaires, êtait distribuê suivant la loi:

(75) 
$$\begin{cases} p(\sigma) d\sigma = C e^{-a\sigma} d\sigma & 1 \leq \sigma \leq S \\ avec : C = \frac{a}{e^{-a} - e^{-aS}} \end{cases}$$

les sections efficaces partielles êtant données par :

(76) 
$$\begin{cases} x = \varepsilon + k & \sigma \\ y = \sigma - x \\ avec : 0 \le \varepsilon \le 1 \end{cases}$$
  $0 \le k \le 1$ 

On dispose donc de 4 paramètres : a,S,E,k.

La distribution de la section efficace totale du noyau mélange résulte de la convolution de 2 lois  $p(\sigma)$ , et est donnée par :

$$(77) \begin{cases} r(\sigma)d\sigma = \mathcal{C}(\sigma-1) e^{-2a\sigma} d\sigma & 1 \leq \sigma \leq \frac{1+S}{2} \\ r(\sigma)d\sigma = \mathcal{C}(S-\sigma) e^{-2a\sigma} d\sigma & \frac{1+S}{2} \leq \sigma \leq S \\ avec : \mathcal{C} = \frac{4a^2}{(e^{-a}-e^{-aS})^2} \end{cases}$$

Il est possible de calculer analytiquement tous les moments de  $p(\sigma)$  et de  $r(\sigma)$  (qui s'expriment en fonction de  $E_n$ , exponentielle intêgrale), ainsi que les sections effectives (exprimées en fonction de  $E_1$ ; on peut donc composer les tables de probabilité et comparer le résultat à une référence.

Les résultats reportés ci-après concernent y (76) calculée avec : 
$$a = 0.1 \quad S = 50 \quad \epsilon = 0.9 \quad k = 0.7$$
 pour 3 dilutions = d = 1, 20, 500.

Nous avons limité le nombre de résultats reportés dans ce rapport.

Rappelons que le critère est la section efficace effective.

Précisions données par les tables de probabilité établies directement sur le mêlange - Les valeurs sont données dans le tableau 6.

Ces valeurs constituent une référence pour juger de la qualité du résultat obtenu par composition des moments.

36

<u>Tableau 6</u> - Précisions relatives obtenues sur  $\sigma_{c,eff}$  calculées par des tables de probabilité établies <u>directement</u> sur le mélange. Ces valeurs constituent l'erreur minimum qu'on peut espèrer atteindre par composition des tables de probabilité des noyaux élémentaires. Les erreurs sont données en  $10^{-3}$ .

SDIL =	11		20			500			
ordre de la T.P.	3	6	9	3	6	9	3	6	9
T.P. sur moments			1				. 1		
positifs	72	5.8	.48	.75	<.001	0	< .001	0	0
T.P. sur moments		1							
positifs et nêga-									
tifs (choix "normal")	4.0	.0045	0	3.2	.014	0	.0018	0	0

Prêcision des tables du mêlange établies par composition des tables élêmentaires - Ainsi que nous l'avons souligné, ces résultats dépendent de plusieurs paramètres. Nous avons reporté ceux établis dans le cas de tables élêmentaires d'ordre NE = 3 (figure 15 A), NE = 6 (figure 15 B) et NE = 9 (figure 15 C).

<u>Influence de NC</u> - Elle est illustrêe dans le cas NE = 6, à partir de NM = 9 : en réalité NM est l'ordre de composition de la table, que l'on peut réduire : ce sont les 3 flèches successives partant de ce point.

<u>Bilan</u> - Il n'y a pas de problème pour les grandes dilutions. Pour les dilutions moyennes et faibles, il apparait une perte de prêcision d'un facteur 1,5 à 50 par rapport à ce que donnerait un calcul direct suro (E) du mêlange (Tableau 7).

Tableau 7 - Modèle analytique - Comparaison des précisions relatives obtenues pour des tables d'ordre 6. Les erreurs sont en  $10^{-3}$ .

			Mêla	inge des 2 i	ge des 2 noyaux		
Dilution	Noyaux	Calcul		Calcul par T.P.			
	êlêmentaires	direct	Positive	Positive et nêgative			
				quadrature	moments		
				de GAUSS	positifs		
20	0.060	0.014	< 0.001	0.021	0.0041		
1	0.023	0.005	5.8	0.25	5.1		
					3.1(+)		

<sup>+</sup> Composition à l'ordre 9, et réduction à l'ordre 6.

Figures 15 A, B, C - Modèle théorique, résultats du mélange de 2 noyaux élémentaires identiques en proportions égales. L'erreur sur  $\sigma_{\rm eff}(d)$  est calculée d'après les T.P. du mélange pour:

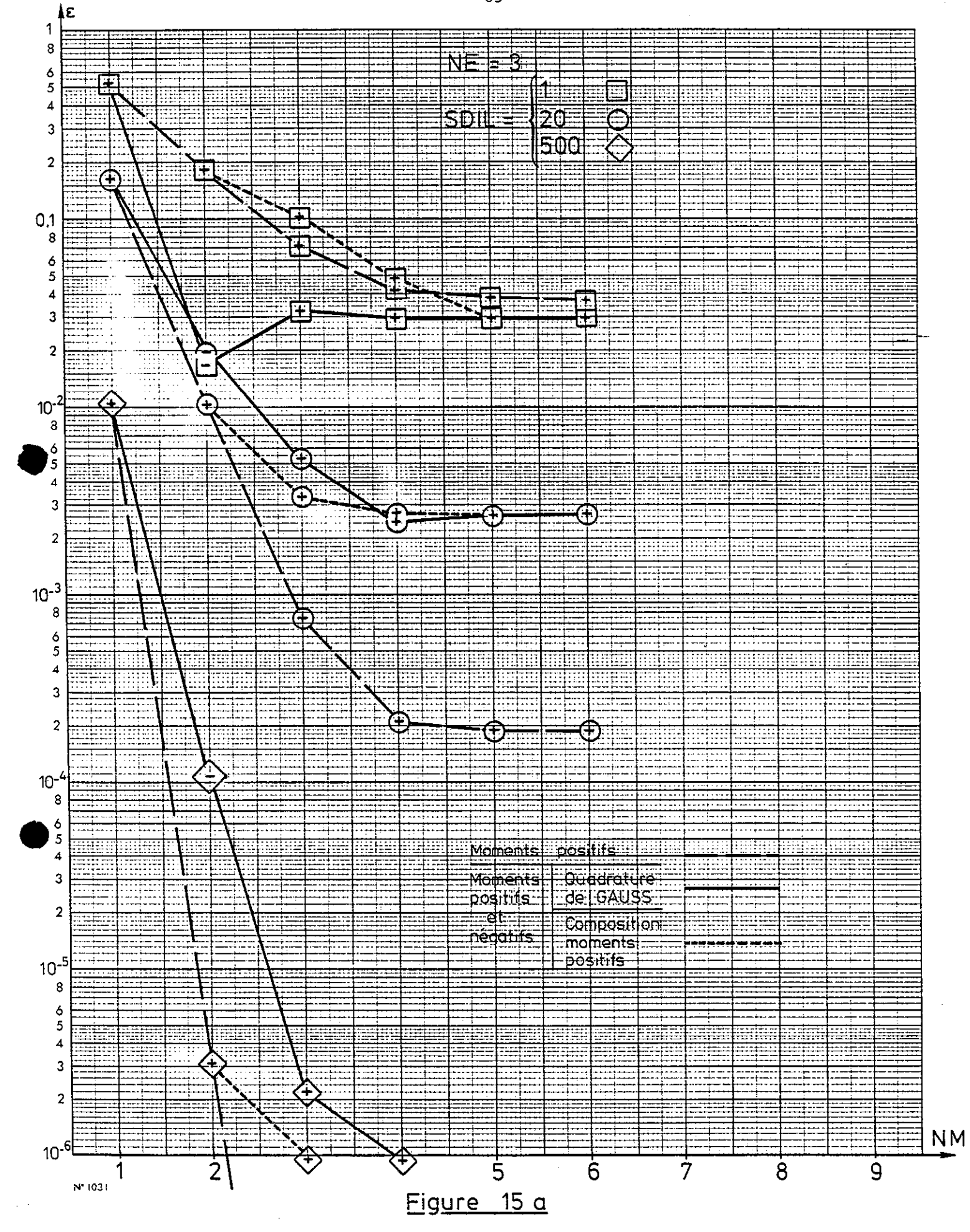
- 3 ordres des tables élémentaires: NE=3 (fig. 17 A), NE=6 (fig.17B), et NE=9 (fig. 17 C)
  - 3 dilutions : 1,20 et 50 barns.

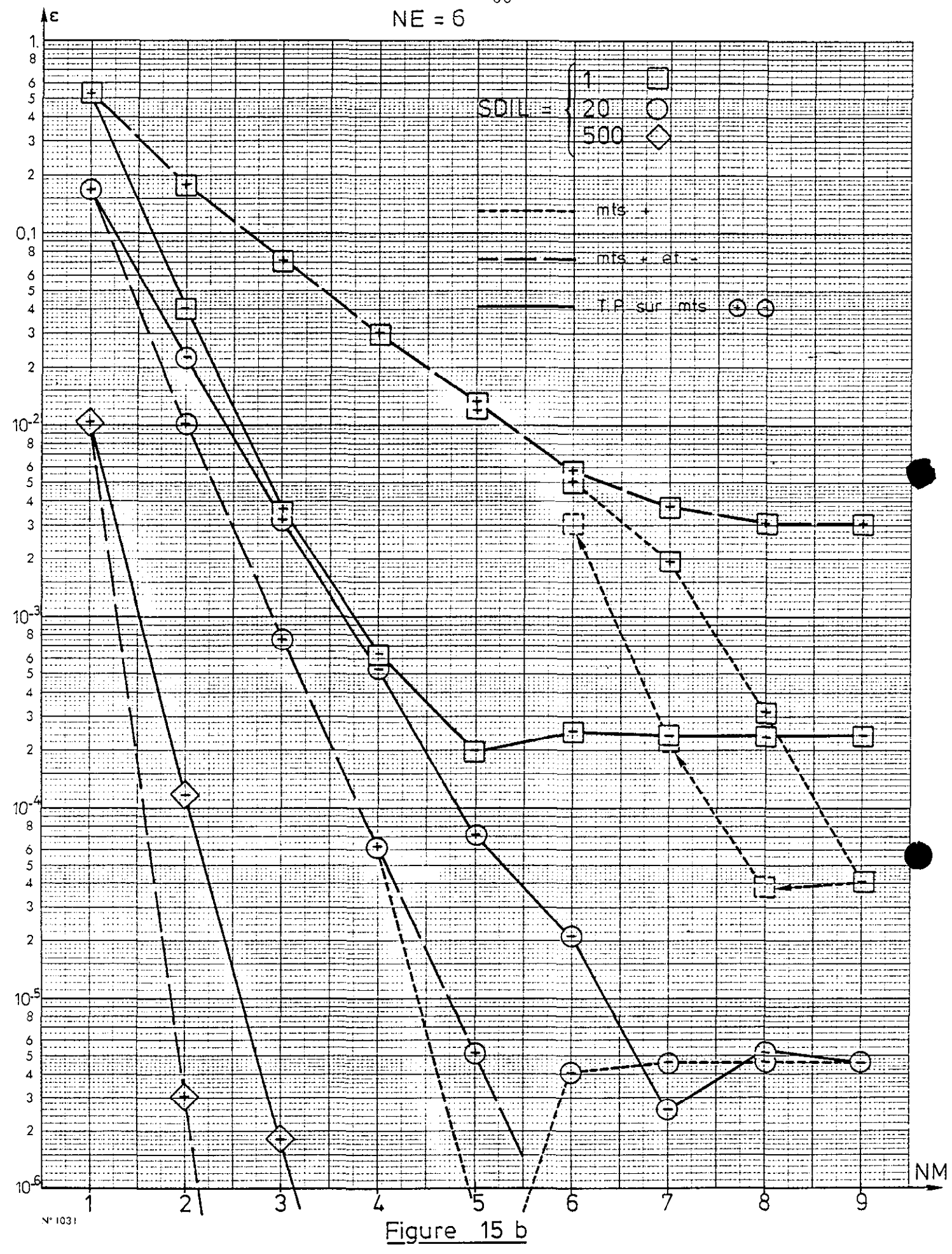
L'erreur est portée en fonction de l'ordre NM de la table secondaire, êtablie selon 3 mêthodes différentes:

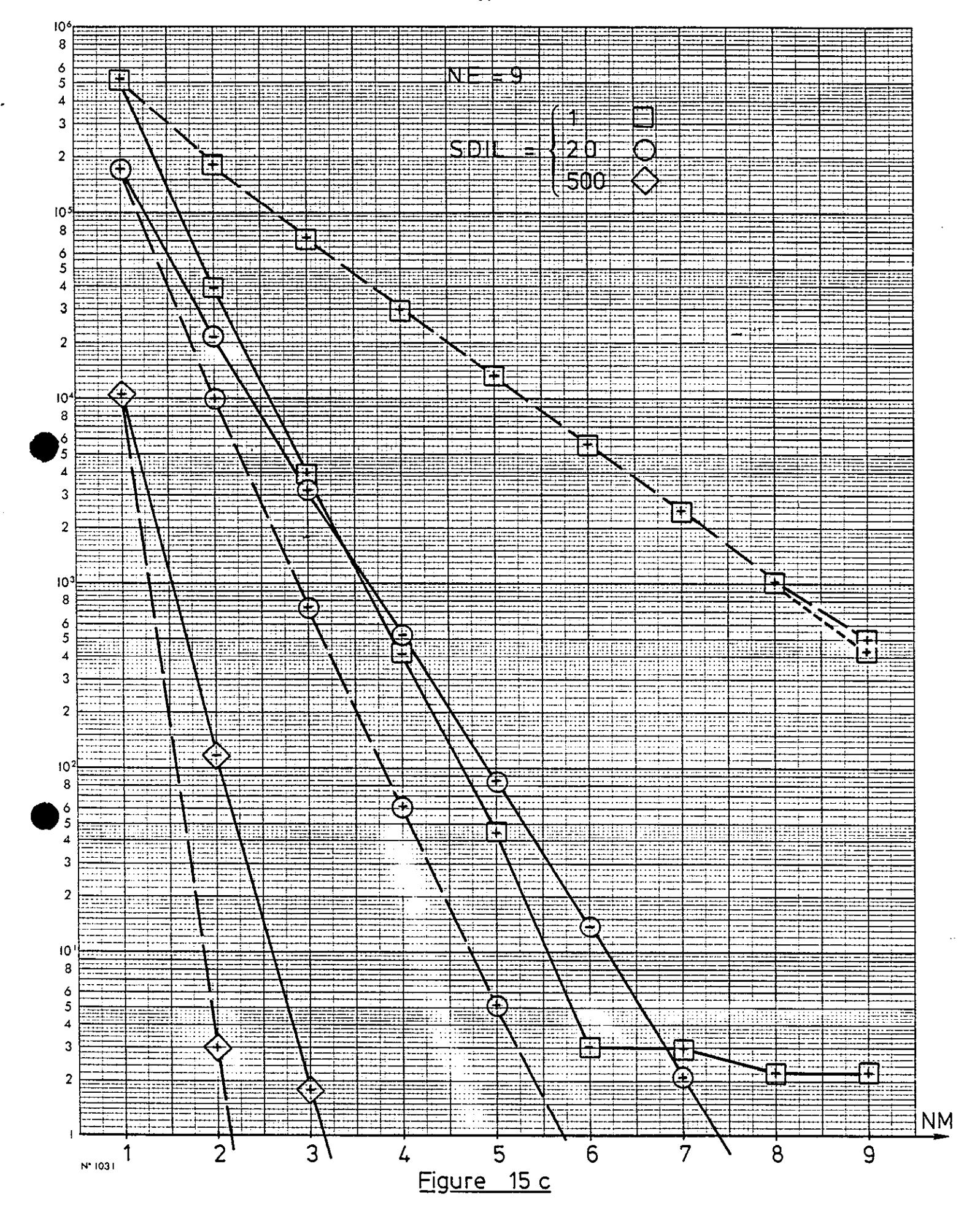
- a) d'après des T.P. êlémentaires ne décrivant que les moments positifs (courbe en tirets);
- b) d'après des T.P. Élémentaires d'écrivant des moments négatifs et des moments positifs en calculant par quadrature les moments négatifs et positifs du mélange (courbes en traits pleins);
- c) d'après des T.P. êlêmentaires décrivant des moments négatifs et des moments positifs, par composition des moments positifs (courbes en pointil-1ê).

Les cas a) et b) sont  $\hat{e}$ quivalents, tant que N<NE/2, car les moments positifs pris en compte sont alors les mêmes.

Lorsque NM devient nettement plus grand que NE, la prêcision donnée par la mêthode c tend vers celle de la mêthode b.







IX.5 - Conclusion - Nous avons aussi effectué des calculs avec des cas réels; mais, ainsi que nous l'avons expliqué, l'interprétation des résultats est difficile car on ne possède pas de référence. Un problème apparait: les valeurs extrapolées (que nous voulions prendre comme référence) diffèrent selon que les tables de probabilité sont construites par quadrature de GAUSS ou par combinaison des moments positifs.

Globalement, nous concluons que la composition des tables de probabilité établies sur des moments négatifs et positifs est possible, que la mêthode de la quadrature parait meilleure, mais qu'il en résulte une perte de précision. Il faut étudier ce phénomène (aléatoire, ou systématique) qui doit être comparé à la dispersion aléatoire des résultats obtenus par le calcul direct des mêlanges (1% dans notre exemple - cf. § VIII.3).

# X - REUNION DE DOMAINES D'ENERGIE ADJACENTS

Outre le calcul de mélanges de noyaux, une opération fréquente consiste à calculer le résultat (au sens sections efficaces) de la réunion de 2 groupes adjacents. Cela est impossible avec la seule connaissance de  $\sigma_{\rm eff}(d)$  pour chacun des groupes\*. C'est immédiat avec les T.P. définies par les moments.

Le moment résultant R de la réunion des groupes k et 1 est en effet donné par(en notant K et L les moments des groupes k et  $\ell$ ):

$$R_{n} = \int_{\Delta E_{k} + \Delta E \ell}^{n} \frac{\sigma_{t}(E) dE}{\Delta E_{k} + \Delta E \ell}$$

$$= \frac{1}{\Delta E_{k} + \Delta E \ell} \left( \int_{\Delta E_{k}}^{n} \sigma_{t}(E) dE + \int_{\Delta E \ell}^{n} \sigma_{t}(E) dE \right)$$

$$= \frac{\Delta E_{k} K_{n} + \Delta E \ell L_{n}}{\Delta E_{k} + \Delta E \ell}$$

Les moments résultants sont donc une somme pondèrée des moments des différents groupes réunis. La prise en compte d'une dépendance avec l'énergie du flux de pondération des sections efficaces ne ferait que changer les facteurs de pondération.

Remarque importante : Il faut souligner qu'il est théoriquement faux de faire une moyenne pondérée des T.P.; cela est général : quand on interpole, il faut interpoler les moments. Les T.P. constituent la représentation de l'information, mais toute algèbre doit être effectuée sur les moments.

\* Nota: cela est aussi possible avec les formalismes faisant intervenir des taux de réaction.

#### CONCLUSION

Nous avons essayê de <u>gênéraliser</u> et de rendre <u>plus rigoureux</u> le concept de "table de probabilitê" introduit il y a une quinzaine d'années. En les définissant par <u>les moments</u>, nous basons ce concept sur des théories mathématiques bien établies et fructueuses ; nous rendons aussi possible toute une algèbre basée sur ces moments.

Les T.P. constituent des <u>données fondamentales</u> qui transforment toute <u>intégrale sur les ênergies</u> en une quadrature de GAUSS. Si l'application est évidente pour le calcul des sections effectives, elle existe aussi pour le traitement du transport.

En dehors d'une utilisation pour le calcul des sections effectives, les tables de probabilité sont peu utilisées en neutronique analytique (elles le sont un peu plus pour les calculs par Monte Carlo). Elles devraient permettre :

- une description simple mais aussi exacte que requis de tout mélange de noyaux pour toute gamme d'énergie; mais cela suppose leur extension aux cas non statistiques (vers les basses ênergies);
- des calculs de transport en associant à chaque section totale discrète un flux dont le comportement spatial sera différent : c'est le principe de la mêthode des sous-groupes.

L'extension aux cas non statistiques implique notamment :

- la prise en compte du ralentissement ;
- la prise en compte du recouvrement non aléatoire des résonances.

  Nous donnons, en annexe, un aperçu des solutions pour ces extensions.

Une approche du traitement du transport par la mêthode des sousgoupes est considérée par ailleurs [B085].

REMERCIEMENTS - Au fil des ans plusieurs personnes se sont intéressées ou ont participé à ce travail. Nous citerons, et nous remerçions de leur intérêt, Messieurs A. Kavenoky, P. Reuss, H. Tellier, R. Westfall, V. Sauvinet.

Nous remerçions également la Société BE FRANCE pour la préparation du texte et des figures.

## REFERENCES

- Ag 85 P. AGERON et P. RIBON, "Description par une formulation du type "sous-groupes" des sections effectives en fonction de la dilution", note SERMA-T-1673 (1985).
- Ak 65 N. I. AKHIEZER, "The classical moments problem", OLIVER and BOYD, ed. (1965).
- Ba 65 G.A. BAKER Jr, "The theory and application of PADE approximant method", Adv. Theor. Phys. 1, 1 (1965).
- Ba 75 G.A. BAKER Jr, "Essential of PADE approximants", Academic Press New York (1975).
- Ba 80 G.A. BAKER Jr, "The PADE Approximants in Theoretical Physics", Academic Press, New York (1980).
- Bo 55 A.D. BOOTH, "Numerical methods", BUTTERWORTHS SCIENTIFIC PUBLICATIONS, Londres 1955 (p. 37-41).
- Bo 85 S. BOUAOUDIA et alii, "Contribution à l'étude de l'équation du transport par une mêthode de tables de probabilités pour des géométries à une dimension dans le cas isotrope", note SERMA T-1671 (1985).
- Br 80 C. BREZINSKI, "PADE type approximation and general orthogonal polynomials", BIRKHAUSER VERLAG, Basel (1980).
- Ch 77 J.S.R. CHISHOLM, "N-variable rational approximants", dans "PADE and Rational Approximation", ëditë par E.B. SAFF et R.S. VARGA, Academic Press, 1977 (p. 23 à 42).
- Cu 74 D.E. CULLEN, "Application of the probability table method to multi-group calculations of neutron transport", Nucl. Sc. Eng. 55, 387-400 (1974).

- Cu 77 D.E. CULLEN, "Calculation of Probability Table parameters to include intermediate resonance self-shielding", UCRL 79761; ANS Winter Meeting, San Francisco, Nov. 1977 (CONF 771109-8).
  - D.E. CULLEN, "Correction of Probability table parameters to include intermediate resonance self-shielding", UCRL 79761 (1977).
- Cu 78 D.E. CULLEN et alii, "Cross section probability tables in multigroup transport calculations", RSIC Seminar-Workshop, Oak Ridge, Mars 1978; CONF 780334-1; aussi reprint UCRL-80655.
- Cu 80 D.E. CULLEN, "Program GROUPIE: calculation of BONDARENKO self-shielding neutron cross-sections and multiband parameters from data in the ENDF/B format", UCRL 50400, 17, D (1980).
  - D.E. CULLEN and G.C. POMRANING, "The multiband method in radiative transfer calculations", J. Quant. Spect. Radiat. Transfer, 24, 97-117, 1980.
- Cu 83 Annie A.M. Cuyt, "Multivariable PADE Approximants", J. Math.-Anal. Appl., 96, 283-293 (1983).
- Dr 83 A. DRAUX, "Polynômes orthogonaux formels", Lecture notes in mathematics, 974, SPRINGER-VERLAG (1983).
- Go 71 P. GOVAERTS, "Notes sur la physique des réacteurs à neutrons rapides" rapport PNR/SETR R 041 (Mars 1971).
- Kh 72 A. KHAIRALLAH et J. RECOLIN, "Calcul de l'autoprotection résonnante dans les cellules complexes, par la mêthode des sous-groupes, AIEA-SM-154/37 (1972).
- Le 72 L.B. LEVITT, "The probability table method for treating unresolved neutron resonances in Monte-Carlo calculations", Nucl. Sci. Eng. 49, 450-457 (1971); abrégé Trans. Am. Nucl. Soc., 14-2, 648-649 (1971).
- Mu 81 J.G. MUNOZ-COBOS, "PAPIN: a Fortran IV program to calculate crosssection probability tables,... in the unresolved resonance region", ORNL/TM-7883, ENDF 310 (1981).

- Ni 63 M.N. NIKOLAEV et V.V. FILIPPOV, "Mesure des paramètres de résonances des sections efficaces totales de certains éléments pour des neutrons de 0.3 à 2.7 MeV", Energie Atomique, traduction de Atomnaia Energia, 15, 6, p. 68 (1963).
- Ni 69 M.N. NICOLAEV et V.F. KHOKHLOV, "Système de constantes en sousgroupes", INDC(CCP) 4/G (1969).
- Ni 70 M.N. NICOLAEV et alii, "Mêthode des sous-groupes pour la prise en compte de la structure résonnante des sections efficaces dans les calculs neutroniques (lère partie)", Atomnaia Energia (1970).
- Ot 71 J.M. OTTER, "Application of the Probability Table method of treating unresolved resonances to an analytical calculation", Trans. Am. Nucl. Soc., 14-2, 649-650 (1972).
- Ot 72 J.M. OTTER et alii, "U3R, A code to calculate unresolved resonance cross-section probability tables", AI-AEC-13024 (1972).
- P1 71 E.F. PLECHATY et alii, "Application of the probability table method to practical problems", UCRL-79759; ANS-Winter meeting, Nov. 1977, San Francisco (CONF 771109-41).
- Re 84 P. REUSS, communication privée.
- Ri 85 P. RIBON et alii, "Etude des methodes de calcul de l'autoprotection dans les résonances", CEA-N-2426/NEACRP-A-696 (1985).
- Ri 86 P. RIBON et alii, à paraître.
- Ri 86a P. RIBON, "Resonance self shielding calculation with regularised random ladders", Annals of Nucl. En., 13,4, p. 209 (1986).
- Sz 59 G. SZEGO, "Orthogonal Polynomials", American Mathematical Society, 1959.
- Wa 74 P.J.S. WATSON, "Two-variable rational approximants: a new method", J. Phys. A, Vol. 7, n°18 (1974) L167.

#### **ANNEXES**

### L'extension aux cas non statistiques

Nous évoquons brièvement, dans cette annexe, trois des extensions que nous envisageons ou étudions.

l - <u>Prise en compte du ralentissement</u> - L'hypothèse statistique signifie qu'un neutron est diffusé dans la table de probabilité proportionnellement aux  $p_i$  quelle que soit son origine.

Au contraire, une description plus réaliste implique une probabilité de renvoi  $\omega_{ji}$  du sous-groupe j vers le sous-groupe i <u>dépendant</u> de j et i (dans l'hypothèse statistique,  $\omega_{ji} = p_j q_j$ ). Cela se traduira par un tableau des probabilités à double entrée, qui décrira la corrélation des sections efficaces sur la largeur de ralentissements.

Le calcul de ces tables implique le calcul des comoments sur la longueur de ralentissement par une intégrale double du type :

$$_{mn} = \int_{\text{groupe}} \sigma^{m}(E) dE \int_{E}^{E/\alpha} \sigma^{n}(E') dE'$$

Ces comoments seront égalés aux valeurs données par la table de probabilité:

$$C_{mn} = \sum_{ji} \omega_{ji} \sigma_{j}^{m} \sigma_{i}^{n}$$

Il nous parait donc possible de nous affranchir de l'hypothèse statistique par une table de probabilité croisée; mais il faudra résoudre:

- le mélange de noyaux (avec des valeurs de α différentes) ;
- la rêunion de groupes adjacents en ênergie (corrêlation des sous-groupes d'un groupe avec ceux du groupe inférieur);
- une représentation simplifiée de la table (pour la description des cas quasi-statistiques).

2 - Mêlange non statistique de noyaux - Cela ne pose pas de problème de principe si on se restreint aux moments positifs (cf. § VIII.1) : il suffit de connaître toutes les valeurs des comoments.

$$c = \langle t_1^n t_2^m \rangle$$

$$b = \langle t_1^n t_2^m x_1 x_2 \rangle$$

grandeurs qui sont indépendantes des proportions des constituants du mélange et peuvent être calculées une fois pour toutes et tabulées.

Mais d'une part nous ne savons pas comment tenir compte des comoments negatifs ; d'autre part le nombre d'informations à introduire peut être inutilement très grand : pour chaque couple de noyaux, il faudrait en plus (N-1)\*(2N-1) #  $2N^2$  comoments. De plus le nombre d'informations necessaires croît pour des mélanges ternaires, quaternaires, ... alors que l'on tend vers la statisticité.

Le nombre d'informations nêcessaires au calcul du mélange doit pouvoir être réduit dans la plupart des cas pratiques, et nous avons considéré 3 méthodes (il ne faut pas oublier que les moments calculées doivent être cohérents):

l - un modèle mathématique simple - en écrivant par exemple que les 2 noyaux  $t_1$  et  $t_2$  comportent une partie commune  $\tau$ , qui décrira la corrêlation, et des parties indépendantes  $T_1$  et  $T_2$ :

$$\begin{cases} t_1 = T_1 + T \\ t_2 = T_2 + T \\ T_1, T_2, \tau \text{ statistiquement independents.} \end{cases}$$

Les valeurs de  $\langle \tau^n \rangle$  seront déduites du tableau des comoments.

Un tel modèle assure la cohérence des moments calculés, mais implique des choix qui peuvent sembler arbitraires (quels comoments doivent être pris en compte pour décrire  $<\tau^n>?$ ).

- 2 Ainsi que le montre la figure A-1, les comoments  $C_{\min}$  ont une variation très régulière avec leurs indices. Une utilisation immédiate de cette dépendance nécessiterait peu de données, mais ne respecterait sans doute pas la cohérence des moments calculés.
- 3 La mêthode qui nous semble actuellement la plus prometteuse repose sur l'introduction d'une T.P. croisée  $\omega_{mn}$ . Le nombre d'informations nécessaires (en plus des T.P. propres à chaque noyau) est  $(N-1)^2 \# N^2$ : cela implique un choix parmi les  $2 N^2$  comoments à décrire (on retrouve l'ambiguité inhêrente aux approximants de PADE à 2 dimensions).

L'utilisation de cette mêthode, telle que, prêsente un paradoxe : le nombre d'informations  $\omega_{ijkl...}$  nécessaire augmentera avec le nombre  $\nu$  de noyaux mêlangés, à peu près comme  $N^{\nu}$ , alors que le mêlange devient de plus en plus statistique ! En réalité l'information intéressante, à enregistrer, est l'écart au cas statistique, i.e. :

 $d_{ijkl...} = \omega_{ijkl...} - p_i p_j p_k p_l...$  i, j, k, l symbolisant les diffèrents noyaux du mélange. Il devrait suffire de quelques éléments d pour caractériser l'écart à l'hypothèse statistique.

Il faut par ailleurs remarquer que des noyaux tels que  $235_U$  ( $\overline{D}$  # 0,5 eV) et  $238_U$  ( $\overline{D}$  # 20 eV) doivent pouvoir être considêrés comme "statistiquement indépendants", sauf à basse ënergie (résonance à 6 eV du  $^{238}U$ ); il doit donc être possible de traiter un mélange de N noyaux en les séparant en groupes de noyaux semblables, à fort recouvrement (tels  $^{232}$ Th,  $^{238}U$ ,  $^{240}$ pu) mais pratiquement "statistiquement indépendants" d'autres groupes de noyaux (tels que  $^{233}U$ ,  $^{235}U$ ).

3 - Interaction de 2 milieux contenant le même noyau à des températures diffêrentes. La corrélation est alors quasi-totale.

Par analogie au paragraphe précèdent, nous suggérons de représenter l'écart à cette corrélation totale, i.e. :

$$\begin{array}{c} \mathbf{d_{ij}} = \boldsymbol{\omega_{ij}} - \boldsymbol{\delta_{ij}} \; \mathbf{p_{i}} \\ \boldsymbol{\delta_{ii}} \; \; \text{\^{e}tant le symbole de Kronecker.} \end{array}$$

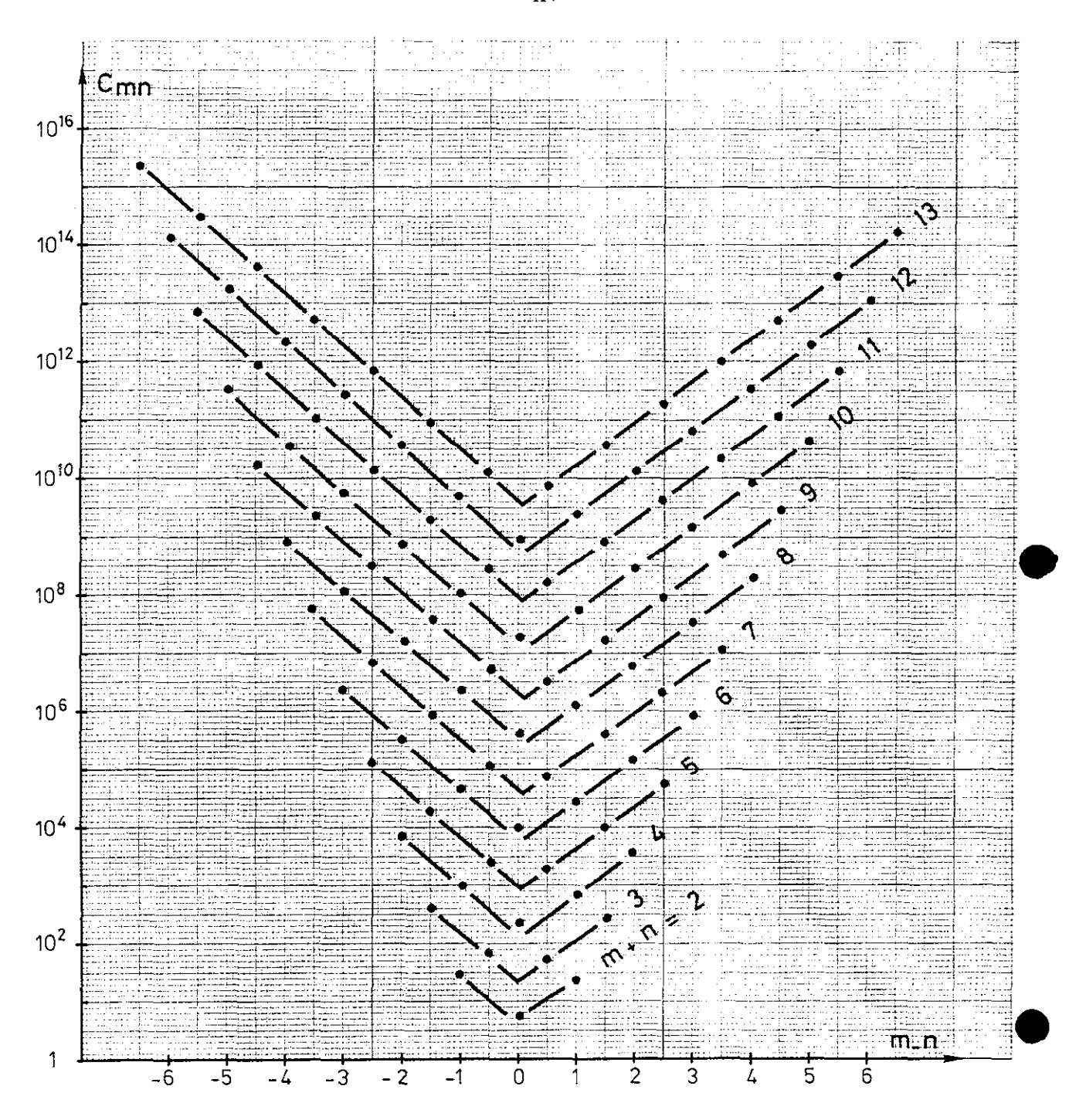


Figure Al : Distribution des comoments  $C_{mn}$  :  $C_{mn} = \frac{1}{\Delta E} \int \sigma_{t1}^{m}(E) \sigma_{t2}^{n}(E) dE$ 

Les distributions sont centrées sur la diagonale m=n: on a donc porté  $C_{mn}$  en fonction de (m-n) ; les lignes tracées relient les comoments à (m+n) constant.

Cette figure illustre clairement la rêgularité des distributions. Ces données correspondent au couple  $^{238}\text{U}$  -  $^{232}\text{Th}$  dans un groupe du domaine résolu (<4 keV).

30 (1008)